

การสังเคราะห์ การพิสูจน์เอกลักษณ์และการทดสอบสมบัติของ
อนุพันธ์ *N*-Methoxybenzyl chitosan จากปฏิกิริยาชิฟเบส

SYNTHESIS, CHARACTERIZATION AND PROPERTIES OF
N-METHOXYBENZYL CHITOSAN BY SCHIFF-BASE
REACTION



โครงการพิเศษนี้เป็นส่วนหนึ่งของการศึกษาตามหลักสูตร
ปริญญาวิทยาศาสตรบัณฑิต (เคมีอุตสาหกรรม)
ภาควิชาเคมี คณะวิทยาศาสตร์

สถาบันเทคโนโลยีพระจอมเกล้าเจ้าคุณทหารลาดกระบัง

เอกสารนี้เป็นเอกสารที่สงวนไว้สำหรับการใช้งานเพื่อการศึกษาด้านเคมีเท่านั้น มิใช่เพื่อเผยแพร่หรือใช้ประโยชน์ด้านการค้า
ไม่ว่ากรณีใดๆ ทั้งสิ้น อีกทั้งห้ามมิให้ดัดแปลงปีการศึกษา 2560 ถึงเจ้าของเอกสารทุกครั้งที่มีการนำไปใช้

SYNTHESIS, CHARACTERIZATION AND PROPERTIES OF
N-METHOXYBENZYL CHITOSAN BY SCHIFF-BASE
REACTION



A SPECIAL PROJECT SUBMITTED IN PARTIAL FULFILLMENT OF
THE REQUIREMENT FOR
THE DEGREE OF BACHELOR OF SCIENCE (INDUSTRIAL CHEMISTRY)
DEPARTMENT OF CHEMISTRY, FACULTY OF SCIENCE

KING MONGKUT'S INSTITUTE OF TECHNOLOGY LADKRABANG

เอกสารนี้เป็นเอกสารที่สงวนลิขสิทธิ์หรือการใช้งานเพื่อการศึกษาเท่านั้น ไม่อนุญาตให้ทำซ้ำหรือเผยแพร่โดยไม่ได้รับอนุญาต
ไม่ว่ากรณีใดๆ ทั้งสิ้น อีกทั้งห้ามมิให้คัดลอกหรือทำซ้ำของเอกสารทุกครั้งที่มีการนำไปใช้

ACADEMIC YEAR 2017

หัวข้อโครงการพิเศษ

การสังเคราะห์ การพิสูจน์เอกลักษณ์และการทดสอบสมบัติของ
อนุพันธ์ N-Methoxybenzyl chitosan จากปฏิกิริยาซึฟเบส
Synthesis, Characterization and Properties of
N-Methoxybenzyl chitosan by Schiff-base Reaction

ชื่อนักศึกษา

นางสาวจันทร์จิรา ฮวยตระกูล รหัสนักศึกษา 57050386
นายจิรภาส เศวตสกุลานนท์ รหัสนักศึกษา 57050388
นางสาวเจนจิรา บัวแก้ว รหัสนักศึกษา 57050390

ปริญญา

วิทยาศาสตร์บัณฑิต (เคมีอุตสาหกรรม)

ภาควิชา

เคมี

คณะ

วิทยาศาสตร์

มหาวิทยาลัย

สถาบันเทคโนโลยีพระจอมเกล้าเจ้าคุณทหารลาดกระบัง (สจล.)

ปีการศึกษา

2560

อาจารย์ที่ปรึกษา

ดร.ณวสิทธิ์ โชติแสง

อาจารย์ที่ปรึกษาร่วม

ผศ.ดร.ภัทราวุธ มนต์วิเศษ

คณะวิทยาศาสตร์ สถาบันเทคโนโลยีพระจอมเกล้าเจ้าคุณทหารลาดกระบัง (สจล.) อนุมัติให้
โครงการพิเศษนี้เป็นส่วนหนึ่งของการศึกษาตามหลักสูตรปริญญาวิทยาศาสตรบัณฑิต
(เคมีอุตสาหกรรม) ประจำปีการศึกษา 2560

คณะกรรมการสอบ	ลายมือชื่อ
ผศ.ดร.ชลลดา ฤตวิรุฬห์ ประธานกรรมการ	Seen
ดร.การุณย์ สาดอ่อน กรรมการ	Mr. Karunee Sadao
ดร.ณวสิทธิ์ โชติแสง กรรมการและอาจารย์ที่ปรึกษา	ณวสิทธิ์ โชติแสง
ผศ.ดร.ภัทราวุธ มนต์วิเศษ กรรมการและอาจารย์ที่ปรึกษาร่วม	ภัทราวุธ

เอกสารนี้เป็นเอกสารที่สงวนไว้สำหรับการใช้สิทธิ์ของคณะวิทยาศาสตร์ ไม่อนุญาตให้นำไปใช้ประโยชน์ด้านการค้า
ไม่ว่ากรณีใดๆ ทั้งสิ้น อีกทั้งยังมีโทษตามกฎหมายที่เกี่ยวข้องหากมีการนำไปใช้

หัวข้อโครงการพิเศษ	การสังเคราะห์ การพิสูจน์เอกลักษณ์และการทดสอบสมบัติของอนุพันธ์ N-Methoxybenzyl chitosan จากปฏิกิริยาชิฟเบส		
ชื่อนักศึกษา	นางสาวจันทร์จิรา ฮวยตระกูล	รหัสนักศึกษา	57050386
	นายจิรภาส เศวตสกุลานนท์	รหัสนักศึกษา	57050388
	นางสาวเจนจิรา บัวแก้ว	รหัสนักศึกษา	57050390
ปริญญา	วิทยาศาสตร์บัณฑิต (เคมีอุตสาหกรรม)		
ภาควิชา	เคมี		
คณะ	วิทยาศาสตร์		
มหาวิทยาลัย	สถาบันเทคโนโลยีพระจอมเกล้าเจ้าคุณทหารลาดกระบัง (สจล.)		
ปีการศึกษา	2560		
อาจารย์ที่ปรึกษา	ดร.ณวลีธิ์	โชติแสง	
อาจารย์ที่ปรึกษาร่วม	ผศ.ดร.ภัทธาวุธ	มนตรีวิเศษ	

บทคัดย่อ

งานวิจัยนี้ศึกษาการสังเคราะห์อนุพันธ์ N-Methoxybenzyl chitosan ด้วยปฏิกิริยาชิฟเบสระหว่างไคโตซานและพาราเมทอกซีเบนซาลดีไฮด์ โดยพาราเมทอกซีเบนซาลดีไฮด์เข้าทำปฏิกิริยาที่ตำแหน่งหมู่อะมิโนของไคโตซานเกิดเป็นพันธะอีมีน จากนั้นทำให้พันธะเสถียรโดยการทำปฏิกิริยารีดักทีฟอะมิเนชันด้วยโซเดียมโบโรไฮไดรด์เกิดเป็นพันธะเอมีนที่มีความเสถียร อนุพันธ์ไคโตซานที่สังเคราะห์ได้ (CPn) มีลักษณะเป็นของแข็งสีขาวมีผลผลิตร้อยละอยู่ในช่วง 50.3 - 68.9 % จากนั้นนำอนุพันธ์มาตรวจพิสูจน์เอกลักษณ์ด้วยเทคนิค FT-IR และ $^1\text{H-NMR}$ พบสัญญาณที่เป็นเอกลักษณ์ของไคโตซานและพาราเมทอกซีเบนซาลดีไฮด์ปรากฏบนพีคของอนุพันธ์ไคโตซานที่สังเคราะห์ได้ ผลจาก $^1\text{H-NMR}$ พบว่าองค์การแทนที่แปรผันตามสัดส่วนโมลของพาราเมทอกซีเบนซาลดีไฮด์ โดยร้อยละองค์การแทนที่ของ CP10 และ CP20 เท่ากับ 6.0% และ 7.8% ตามลำดับ เมื่อทดสอบสมบัติการละลายพบว่าอนุพันธ์ไคโตซานสามารถละลายได้น้อยลงใน 1% กรดอะซิติกในน้ำ แต่ละลายได้ในตัวทำละลายที่มีขั้วต่ำลง คือ สามารถละลายได้ใน 0.5% กรดอะซิติกในเอทานอลและ 0.5% กรดอะซิติกในไอโซโพรพานอล และเมื่อนำสารละลายอนุพันธ์ไคโตซานมาทดสอบความสามารถในการเปียกตัวของน้ำ โดยการฉีดพ่นลงบนพื้นผิวตัวอย่างพบว่าอนุพันธ์ไคโตซานมีสมบัติช่วยให้น้ำเกิดการเปียกตัวได้ดีขึ้นเมื่อเทียบกับไคโตซานบริสุทธิ์

เอกสารนี้เป็นเอกสารที่สงวนไว้สำหรับการใช้งานเพื่อการศึกษาเท่านั้น ไม่อนุญาตให้นำไปใช้ประโยชน์ด้านการค้า
คำสำคัญ : ไคโตซาน, ปฏิกิริยาชิฟเบส, พาราเมทอกซีเบนซาลดีไฮด์, อนุพันธ์ไคโตซาน
 ไม่วารณใด ๆ ทั้งสิ้น อีกทั้งห้ามแก้ไขเนื้อหาและต้องอ้างอิงถึงเจ้าของเอกสารทุกครั้งที่มีการนำไปใช้

Title	Synthesis, Characterization and Properties of <i>N</i> -Methoxybenzyl chitosan by Schiff-base reaction		
Students	Miss Janjira	Huaytrakul	Student ID 57050386
	Mr. Jirapas	Savetsakulanont	Student ID 57050388
	Miss Janjira	Buakaew	Student ID 57050390
Degree	Bachelor of Science (Industrial Chemistry)		
Department	Chemistry		
Faculty	Science		
University	King Mongkut's Institute of Technology Ladkrabang (KMITL)		
Academic Year	2017		
Advisor	Dr. Nawasit Chotsaeng		
Co-advisor	Asst. Prof. Dr. Pathavuth Monvisade		

Abstract

In this research, *N*-Methoxybenzyl chitosan was synthesized by Schiff-base reaction between chitosan and *p*-Methoxybenzaldehyde. The reaction occurred at the amino group of chitosan to form an imine bond which subsequently stabilized by Reductive amination reaction with Sodium borohydride in order to form a stable amine bond. The white solid chitosan derivatives (CPn) were achieved in yield of 50.3 - 68.9 %. Chitosan derivatives characterized by FT-IR and ¹H-NMR appeared unique signals of chitosan and *p*-Methoxybenzaldehyde on *N*-Methoxybenzyl chitosan's signals. Degrees of substitution (DS) determined from ¹H-NMR spectra were directly varied by mole ratio of *p*-Methoxybenzaldehyde to chitosan. %DS of CP10 and CP20 were 6.0% and 7.8%, respectively. Besides, Solubility test showed that chitosan derivative can less dissolve in 1% acetic acid in water than chitosan but it can dissolve in 0.5% acetic acid in ethanol and 0.5% acetic acid in isopropanol. Wetting ability test showed that chitosan derivative had better wetting ability than chitosan.

Keywords : Chitosan, Schiff-base reaction, *p*-Methoxybenzaldehyde, Chitosan derivative

เอกสารนี้เป็นเอกสารที่สงวนไว้สำหรับการใช้งานเพื่อการศึกษาเท่านั้น ไม่นิยมนำไปใช้ประโยชน์ด้านการค้า
ไม่ว่ากรณีใดๆ ทั้งสิ้น อีกทั้งห้ามมิให้ดัดแปลงเนื้อหาและต้องอ้างอิงถึงเจ้าของเอกสารทุกครั้งที่มีการนำไปใช้

กิตติกรรมประกาศ

โครงการพิเศษเล่มนี้สำเร็จลุล่วงไปได้ด้วยดี เนื่องจากความช่วยเหลือและกำลังใจจากหลาย ๆ ท่าน ขอขอบพระคุณ ดร.ณวสิทธิ์ โชติแสง และผศ.ดร.ภัทราวุธ มนต์วิเศษ อาจารย์ที่ปรึกษาโครงการพิเศษ ที่คอยดูแล ให้คำปรึกษาอย่างใกล้ชิดและให้ความช่วยเหลือในทุก ๆ เรื่อง ตลอดจนปรับปรุงแก้ไขข้อบกพร่องต่าง ๆ ในการทำโครงการพิเศษครั้งนี้จนประสบผลสำเร็จ

ขอขอบพระคุณผศ.ดร.ชลลดา ฤตวิรุฬห์ และดร.การุณ สาดอ่อน กรรมการสอบโครงการพิเศษเล่มนี้ที่ให้คำแนะนำและการแก้ไขข้อผิดพลาดต่าง ๆ ที่สามารถทำให้โครงการพิเศษเล่มนี้มีความสมบูรณ์ยิ่งขึ้น

ขอขอบคุณคณะวิทยาศาสตร์ สถาบันเทคโนโลยีพระจอมเกล้าเจ้าคุณทหารลาดกระบัง ที่ให้เงินทุนสนับสนุนในการทำโครงการพิเศษครั้งนี้จนสำเร็จ

ขอขอบพระคุณอาจารย์ประจำภาควิชาเคมีทุกท่านที่ได้ให้ความรู้จากการเรียนทั้งในวิชาเรียน นอกห้องเรียนและคำแนะนำต่าง ๆ ตั้งแต่ผู้วิจัยได้ก้าวเข้ามาเป็นนักศึกษาสาขาวิชาเคมีอุตสาหกรรม จนกระทั่งได้ทำโครงการพิเศษเล่มนี้ให้บรรลุวัตถุประสงค์

ขอขอบพระคุณเจ้าหน้าที่ปฏิบัติการเคมีและเจ้าหน้าที่ธุรการภาควิชาเคมีที่คอยช่วยเหลือและอำนวยความสะดวกทั้งสารเคมี อุปกรณ์ต่าง ๆ รวมถึงเครื่องมือที่ใช้ในการทำโครงการพิเศษเล่มนี้ อีกด้วย

ขอขอบพระคุณบิดา - มารดา ที่มอบอนาคตทางการศึกษาในระดับปริญญาตรี ตลอดจนคอยเลี้ยงดูและอบรมสั่งสอน อีกทั้งคอยเป็นกำลังใจ เป็นแรงผลักดันในการใช้ชีวิต การเรียนและการทำโครงการพิเศษครั้งนี้ให้สำเร็จลุล่วงได้ตามความคาดหวังอย่างยิ่ง

สุดท้ายนี้ขอขอบคุณเพื่อน ๆ สาขาวิชาเคมีอุตสาหกรรม ภาควิชาเคมี รุ่นที่ 33 ทุกคนที่คอยให้ความช่วยเหลือต่าง ๆ ตลอดจนให้คำปรึกษาในหลาย ๆ เรื่องและเป็นกำลังใจให้ในยามที่ย่ำแย่หรือเจออุปสรรคต่าง ๆ มาตั้งแต่ปี 1 จนถึงปี 4 และบุคคลอื่น ๆ ที่ไม่ได้กล่าวมา ผู้วิจัยต้องขอขอบคุณเป็นอย่างสูงมา ณ โอกาสนี้

จันทร์จิรา ฮวยตระกูล

จิรภาส เศวตสกุลานนท์

เจนจิรา บัวแก้ว

เอกสารนี้เป็นเอกสารที่สงวนไว้สำหรับการใช้งานเพื่อการศึกษาเท่านั้น ไม่อนุญาตให้นำไปใช้ประโยชน์ด้านการค้า ไม่ว่าจะกรณีใดๆ ทั้งสิ้น อีกทั้งห้ามมิให้ดัดแปลงเนื้อหาและต้องอ้างอิงถึงเจ้าของเอกสารทุกครั้งที่มีการนำไปใช้

สารบัญ

	หน้า
บทคัดย่อภาษาไทย	ก
บทคัดย่อภาษาอังกฤษ.....	ข
กิตติกรรมประกาศ.....	ค
สารบัญ.....	ง
สารบัญตาราง.....	ช
สารบัญรูป	ฉ
คำย่อ/สัญลักษณ์	ญ
บทที่ 1 บทนำ.....	1
1.1 ความเป็นมาและความสำคัญของงานวิจัย	1
1.2 วัตถุประสงค์ของงานวิจัย	2
1.3 ขอบเขตของงานวิจัย	2
1.4 ประโยชน์ที่คาดว่าจะได้รับ	2
บทที่ 2 ทฤษฎีและงานวิจัยที่เกี่ยวข้อง	3
2.1 ไคตินและไคโตซาน (Chitin and Chitosan)	3
2.1.1 กระบวนการเตรียมไคตินและไคโตซาน	5
2.1.1.1 ขั้นตอนการเตรียมไคติน	5
2.1.1.2 ขั้นตอนการเตรียมไคโตซาน.....	5
2.1.2 ลักษณะทางกายภาพและเคมีของไคโตซาน	7
2.1.3 สมบัติของไคโตซาน.....	7
2.1.3.1 การละลาย (Solubility).....	7
2.1.3.2 ความหนืด (Viscosity).....	7
2.1.3.3 สมบัติพอลิอิเล็กโทรไลต์ (Polyelectrolyte properties).....	7
2.1.3.4 ระดับการกำจัดหมู่อะเซทิล (Degree of deacetylation).....	8
2.1.3.5 การเสื่อมสลาย (Degradation).....	8
2.1.3.6 ความสามารถในการเกิดปฏิกิริยา.....	9
2.1.4 โครงสร้างและการพิสูจน์เอกลักษณ์ของไคโตซาน.....	9
2.1.5 การประยุกต์ใช้งานของไคโตซาน.....	10

เอกสารนี้เป็นเอกสารที่สงวนลิขสิทธิ์ไว้สำหรับใช้ภายในห้องสมุดของคณะเท่านั้น ไม่อนุญาตให้นำไปใช้ประโยชน์ด้านการค้า
 ไม่ว่ากรณีใดๆ ทั้งสิ้น อีก 2.1.5.2 ด้านการเกษตร และต้องแจ้งถึงเจ้าของเอกสารทุกครั้งที่มีกรณี 10 ใช้

สารบัญ (ต่อ)

	หน้า
2.1.5.3 การบำบัดน้ำเสีย	10
2.1.5.4 เทคโนโลยีชีวภาพ.....	10
2.2 อนุพันธ์ไคโตซาน (Chitosan derivatives) ที่น่าสนใจ.....	11
2.2.1 O-and N-Carboxymethylchitosans	11
2.2.2 Chitosan 6-O-sulfate	11
2.2.3 N-methylene phosphonic chitosans.....	11
2.2.4 Trimethylchitosan ammonium	11
2.2.5 Carbohydrate branched chitosans	11
2.2.6 Chitosan-grafted copolymers.....	12
2.2.7 Alkylated chitosans	12
2.2.8 Imine chitosans	13
2.3 พาราเมทอกซีเบนซาลดีไฮด์ (p-Methoxybenzaldehyde).....	13
2.3.1 การเตรียมพาราเมทอกซีเบนซาลดีไฮด์.....	14
2.3.2 ความปลอดภัย	14
2.4 โซเดียมโบโรไฮไดรด์ (Sodium borohydride).....	15
2.4.1 การเตรียมโซเดียมโบโรไฮไดรด์	15
2.4.2 ความปลอดภัย	16
2.5 ปฏิกิริยาซิมเพลส (Schiff-base reaction).....	16
2.6 ปฏิกิริยารีดักทีฟอะมิเนชัน (Reductive amination reaction).....	17
2.7 งานวิจัยที่เกี่ยวข้อง.....	18
บทที่ 3 วิธีการดำเนินงานวิจัย	20
3.1 เครื่องมือและอุปกรณ์.....	20
3.2 สารเคมี	20
3.3 วิธีการดำเนินการทดลอง	21
3.3.1 การเตรียมสารเคมี.....	21
3.3.1.1 การเตรียม 1% กรดอะซิติกในน้ำ.....	21
3.3.1.2 การเตรียม 5% โซเดียมไฮดรอกไซด์ในน้ำ.....	21
3.3.1.3 การเตรียม 60% เอทานอลในน้ำ.....	21
3.3.1.4 การเตรียม 60% เมทานอลในน้ำ.....	22

เอกสารนี้เป็นเอกสารที่สงวนลิขสิทธิ์ไว้สำหรับใช้ภายในเท่านั้น ไม่อนุญาตให้นำไปใช้ประโยชน์ด้านการค้า
ไม่ว่ากรณีใดๆ ทั้งสิ้น อีกทั้งเอกสารเล่มนี้ได้รับการสนับสนุนจากสำนักงานคณะกรรมการการอุดมศึกษา

สารบัญ (ต่อ)

	หน้า
3.3.1.5 การเตรียม 60% ไอโซโพรพานอลในน้ำ	22
3.3.1.6 การเตรียม 0.5% กรดอะซิติกในเอทานอล.....	22
3.3.1.7 การเตรียม 0.5% กรดอะซิติกในเมทานอล.....	22
3.3.1.8 การเตรียม 0.5% กรดอะซิติกในไอโซโพรพานอล.....	22
3.3.1.9 การละลายโคโตซาน.....	22
3.3.2 การสังเคราะห์อนุพันธ์ของโคโตซานโดยวิธีบอส์ชรีดักชัน.....	22
3.3.3 การพิสูจน์เอกลักษณ์ของอนุพันธ์โคโตซาน.....	24
3.3.3.1 การวิเคราะห์หมู่ฟังก์ชันด้วย FT-IR	24
3.3.3.2 การวิเคราะห์โครงสร้างด้วย ¹ H-NMR.....	24
3.3.3.3 การวิเคราะห์ธาตุองค์ประกอบ.....	25
3.3.4 การทดสอบสมบัติของอนุพันธ์โคโตซาน	25
3.3.4.1 การทดสอบการละลาย (Solubility).....	25
3.3.4.2 การทดสอบความสามารถในการเปียกตัว (Wetting ability).....	26
บทที่ 4 ผลการวิจัยและการอภิปรายผล	27
4.1 ผลการสังเคราะห์อนุพันธ์ของโคโตซานจากปฏิกิริยาซิฟเบส	27
4.2 ผลการพิสูจน์เอกลักษณ์ของอนุพันธ์โคโตซาน	28
4.2.1 ผลการวิเคราะห์หมู่ฟังก์ชันด้วย FT-IR.....	28
4.2.2 ผลการวิเคราะห์โครงสร้างด้วย ¹ H-NMR.....	29
4.2.3 ผลการวิเคราะห์ธาตุองค์ประกอบ	32
4.3 ผลการทดสอบสมบัติของอนุพันธ์โคโตซาน.....	33
4.3.1 ผลการทดสอบการละลาย (Solubility)	33
4.3.2 ผลการทดสอบความสามารถในการเปียกตัว (Wetting ability).....	37
4.3.2.1 ความสามารถในการเปียกตัวบนกระดาษการ์ดโปร์.....	37
4.3.2.1 ความสามารถในการเปียกตัวบนแผ่นพลาสติกใสชนิด PET	38
บทที่ 5 สรุปผลการวิจัยและข้อเสนอแนะ.....	40
5.1 สรุปผลการวิจัย	40
5.2 ข้อเสนอแนะ	41
เอกสารอ้างอิงที่สงวนไว้สำหรับกรใช้ในงานเพื่อการศึกษาเท่านั้น ไม่อนุญาตให้นำไปใช้ประโยชน์ด้านการค้า	42
ไม่ว่าการแก้ไขใดๆ ทั้งสิ้น อีกทั้งช่วยแก้ไขข้อบกพร่องเมื่อเวลาและต้องอ้างอิงถึงเจ้าของเอกสารทุกครั้งที่มีกรรมสิทธิ์	44

สารบัญ (ต่อ)

	หน้า
ภาคผนวก ก ผลการพิสูจน์เอกลักษณ์ของอนุพันธ์โคโตซาน	45
ภาคผนวก ข ผลผลิตร้อยละ	51
ภาคผนวก ค ร้อยละของอนุพันธ์โคโตซานที่สามารถละลายในตัวทำละลาย	53
คำรับรองเล่มโครงการพิเศษ	54



เอกสารนี้เป็นเอกสารที่สงวนไว้สำหรับการใช้งานเพื่อการศึกษาเท่านั้น ไม่อนุญาตให้นำไปใช้ประโยชน์ด้านการค้า
ไม่ว่ากรณีใดๆ ทั้งสิ้น อีกทั้งห้ามมิให้ดัดแปลงเนื้อหาและต้องอ้างอิงถึงเจ้าของเอกสารทุกครั้งที่มีการนำไปใช้

สารบัญตาราง

ตารางที่	หน้า
2.1 ค่า Chemical shift จาก $^1\text{H-NMR Spectra}$ ของโคโตซาน.....	10
2.2 สมบัติบางประการของพาราเมทอกซีเบนซาลดีไฮด์.....	14
2.3 สมบัติบางประการของโซเดียมโบโรไฮไดรด์.....	15
3.1 อัตราส่วนโดยโมลระหว่างโคโตซานและพาราเมทอกซีเบนซาลดีไฮด์.....	24
4.1 ผลผลิตร้อยละของอนุพันธ์โคโตซาน	28
4.2 ค่าองศาการกำจัดหมู่เอซิทิลและค่าองศาการแทนที่ของโคโตซานและอนุพันธ์.....	32
4.3 % ธาตุองค์ประกอบของโคโตซานและอนุพันธ์.....	32
4.4 ผลการละลายของโคโตซานและอนุพันธ์ในตัวทำละลายต่าง ๆ.....	35
4.5 ผลการละลายของโคโตซานและอนุพันธ์ที่ความเข้มข้นต่าง ๆ.....	36
4.6 ร้อยละของอนุพันธ์โคโตซานที่ละลายในตัวทำละลาย.....	36
ก-1 % ธาตุองค์ประกอบจากการวิเคราะห์ด้วย EA.....	50
ข-1 ปริมาณสารตั้งต้นที่ใช้สำหรับการสังเคราะห์.....	51
ข-2 ปริมาณสารผลิตภัณฑ์ที่ได้จากการสังเคราะห์.....	52
ค-1 น้ำหนักสารเริ่มต้นการทดสอบการละลาย.....	53
ค-2 น้ำหนักสารคงเหลือจากการทดสอบการละลาย.....	53

เอกสารนี้เป็นเอกสารที่สงวนไว้สำหรับการใช้งานเพื่อการศึกษาเท่านั้น ไม่อนุญาตให้นำไปใช้ประโยชน์ด้านการค้า
ไม่ว่ากรณีใดๆ ทั้งสิ้น อีกทั้งห้ามมิให้ดัดแปลงเนื้อหาและต้องอ้างอิงถึงเจ้าของเอกสารทุกครั้งที่มีการนำไปใช้

สารบัญรูป

รูปที่	หน้า
2.1 แหล่งที่มาของไคตินและไคโตซาน.....	3
2.2 โครงสร้างทางเคมีของไคติน ไคโตซาน และเซลลูโลส.....	4
2.3 ขั้นตอนทั่วไปในการเตรียมไคติน-ไคโตซาน.....	6
2.4 ¹ H-NMR spectra ของไคโตซาน.....	9
2.5 โครงสร้างของพาราเมทอกซีเบนซาลดีไฮด์.....	13
2.6 โครงสร้างของโซเดียมโบโรไฮไดรด์.....	15
2.7 สมการปฏิกิริยาชิฟเบส.....	16
2.8 กลไกปฏิกิริยาชิฟเบส.....	16
2.9 กลไกปฏิกิริยาไฮโดรไลซิส.....	17
2.10 กลไกปฏิกิริยารีดอกซ์ที่ปแอมิเนชัน.....	17
3.1 แผนภาพการสังเคราะห์อนุพันธ์ไคโตซาน.....	23
4.1 สมการปฏิกิริยาการสังเคราะห์อนุพันธ์ N-Methoxybenzyl chitosan.....	27
4.2 FT-IR spectra ของไคโตซาน พาราเมทอกซีเบนซาลดีไฮด์และอนุพันธ์ไคโตซาน.....	28
4.3 ตำแหน่งโปรตอนในโครงสร้างอนุพันธ์ไคโตซาน.....	29
4.4 ¹ H-NMR spectra ของ CS และ CP10.....	30
4.5 การแยกตัวบนกระดาษการ์ดโปร.....	37
4.6 การแยกตัวบนแผ่นพลาสติกใสชนิด PET.....	38
ก-1 FT-IR spectra ของไคโตซาน.....	45
ก-2 FT-IR spectra ของพาราเมทอกซีเบนซาลดีไฮด์.....	45
ก-3 FT-IR spectra ของ CP10.....	46
ก-4 FT-IR spectra ของ CP15.....	46
ก-5 FT-IR spectra ของ CP20.....	47
ก-6 FT-IR spectra ของ CP25.....	47
ก-7 FT-IR spectra ของ CP30.....	48
ก-8 ¹ H-NMR spectra ของไคโตซาน.....	48
ก-9 ¹ H-NMR spectra ของ CP10.....	49
ก-10 ¹ H-NMR spectra ของ CP20.....	49

เอกสารนี้เป็นเอกสารที่สงวนไว้สำหรับการใช้งานเพื่อการศึกษาเท่านั้น ไม่อนุญาตให้นำไปใช้ประโยชน์ด้านการค้า
ไม่ว่ากรณีใดๆ ทั้งสิ้น อีกทั้งห้ามมิให้ดัดแปลงเนื้อหาและต้องอ้างอิงถึงเจ้าของเอกสารทุกครั้งที่มีการนำไปใช้

คำย่อ/สัญลักษณ์

คำย่อ/สัญลักษณ์	คำอธิบาย
CS	Chitosan
PM	<i>p</i> -Methoxybenzaldehyde
CP	<i>N</i> -Methoxybenzyl chitosan
FT-IR	Fourier-transform infrared spectrophotometer
NMR	Nuclear magnetic resonance spectrometer
EA	Elemental analyzer
δ	Chemical shift
DS	Degree of substitution
DD	Degree of deacetylation
PET	Poly(ethylene terephthalate)

เอกสารนี้เป็นเอกสารที่สงวนไว้สำหรับการใช้งานเพื่อการศึกษาเท่านั้น ไม่อนุญาตให้นำไปใช้ประโยชน์ด้านการค้า
ไม่ว่ากรณีใดๆ ทั้งสิ้น อีกทั้งห้ามมิให้ดัดแปลงเนื้อหาและต้องอ้างอิงถึงเจ้าของเอกสารทุกครั้งที่มีการนำไปใช้

บทที่ 1

บทนำ

1.1 ความเป็นมาและความสำคัญของงานวิจัย

ไคตินเป็นพอลิเมอร์ประเภทพอลิแซคคาไรด์ที่พบได้มากตามธรรมชาติ เช่น พบในเปลือกกุ้ง ปู แคนปลาหมึก ผึ้งเซลล์ของเห็ด รา เป็นต้น เป็นพอลิเมอร์ธรรมชาติที่พบมากเป็นอันดับ 2 รองจากเซลลูโลส เมื่อพิจารณาโครงสร้างของไคติน พบว่าสายโซ่โมเลกุลของไคตินเป็นสายโซ่ยาวที่ไม่มีประจุ ทำให้ไคตินไม่ละลายในเบสเจือจาง แอลกอฮอล์และตัวทำละลายอินทรีย์อื่น ๆ ทำให้การใช้ประโยชน์ของไคตินยังไม่เป็นที่นิยม จึงได้มีการดัดแปลงโครงสร้างทางเคมีของไคตินให้เป็นไคโตซาน โดยการเปลี่ยนหมู่อะเซทิลของไคตินให้เป็นหมู่อะมิโนด้วยกระบวนการดัดอะเซทิลเลชัน

ปัจจุบันไคโตซานนิยมนำมาใช้ประโยชน์อย่างแพร่หลายเนื่องจากมีความเข้ากันได้ทางชีวภาพ และไม่เป็นอันตรายต่อร่างกายมนุษย์ โดยโครงสร้างของไคโตซานสามารถเกิดเป็นประจุบวกในรูปของแอมโมเนียมไอออนบนสายโซ่ซึ่งมีสมบัติในการจับสารที่มีประจุลบและอิเล็กทรอนิกส์ของธาตุไนโตรเจนสามารถจับสารที่มีประจุบวกจึงได้รับความสนใจและมีการพัฒนาไปใช้ประโยชน์ได้อย่างแพร่หลายทั้งในด้านทางการแพทย์ เช่น วัสดุรักษาตดแต่งบาดแผล โดยพบว่าไคโตซานเป็นตัวเร่งกระบวนการรักษาบาดแผล ช่วยยับยั้งการเจริญเติบโตของเชื้อแบคทีเรีย สามารถยับยั้งการติดเชื้อ และทำให้แผลหายเร็วขึ้นได้ นอกจากนี้ไคโตซานยังมีการนำมาใช้ประโยชน์ในด้านอาหาร เครื่องดื่ม และเกษตรกรรม แต่อย่างไรก็ตามไคโตซานยังมีข้อจำกัดด้านสมบัติการละลาย เนื่องจากไคโตซานมีโครงสร้างที่แข็งแรง เพราะมีการเชื่อมกันด้วยพันธะไฮโดรเจน และการจัดเรียงตัวที่เป็นระเบียบในโครงสร้าง ทำให้โมเลกุลของตัวทำละลายแทรกผ่านเข้าไปในโครงสร้างโมเลกุลของไคโตซานได้ยากจึงทำให้ไคโตซานไม่ละลายในตัวทำละลายทั่วไป เช่น น้ำ เบส และตัวทำละลายอินทรีย์

ในปี ค.ศ. 2001 ได้มีงานวิจัยที่สังเคราะห์อนุพันธ์ของไคโตซานเพื่อปรับปรุงสมบัติการละลายให้ดีขึ้น โดยการสังเคราะห์อนุพันธ์ของไคโตซานจากการทำปฏิกิริยาระหว่างไคโตซานกับกรดคลอโรอะซิติกซึ่งมีเบสเป็นตัวเร่งปฏิกิริยา จากนั้นทำปฏิกิริยาต่อด้วยกรดอะคริลิกเกิดเป็นโคพอลิเมอร์แบบกึ่งที่มีสมบัติละลายน้ำได้ [1] นอกจากนี้ยังมีงานวิจัยที่สังเคราะห์อนุพันธ์ของไคโตซานจากการทำปฏิกิริยาระหว่างไคโตซานกับสารประกอบประเภทอีพอกไซด์ เช่น พรอพิลีนออกไซด์และเอทิลีนออกไซด์ โดยทำให้ไคโตซานบวมตัวด้วยกรดอะซิติกแล้วทำปฏิกิริยากับสารประกอบอีพอกไซด์ในสถานะเบส ทำให้ได้อนุพันธ์ของไคโตซานที่มีสมบัติการละลายดีขึ้น [2] ซึ่งงานวิจัยที่สังเคราะห์อนุพันธ์ของไคโตซานส่วนมากจะมุ่งเน้นในเรื่องการปรับปรุงสมบัติด้านการละลายให้สามารถละลาย

เอกสารได้เป็นตัวทำละลายที่หล้ากหลายมากขึ้นานเพื่อการศึกษาเท่านั้น ไม่อนุญาตให้นำไปใช้ประโยชน์ด้านการค้า
ไม่ว่ากรณีใดๆ ทั้งสิ้น อีกทั้งห้ามมิให้ดัดแปลงเนื้อหาและต้องอ้างอิงถึงเจ้าของเอกสารทุกครั้งที่มีการนำไปใช้

งานวิจัยนี้มีความสนใจที่จะพัฒนาการสังเคราะห์อนุพันธ์โคโตซานโดยการทำปฏิกิริยาซิฟเบสระหว่างโคโตซานและพาราเมทอกซีเบนซาลดีไฮด์ (*p*-Methoxybenzaldehyde; $C_8H_8O_2$) ได้เป็นอนุพันธ์ *N*-Methoxybenzyl chitosan โดยพาราเมทอกซีเบนซาลดีไฮด์จะทำปฏิกิริยาที่ตำแหน่งหมู่อะมิโนของโคโตซานแล้วเกิดเป็นพันธะอิมิน (Imine) และทำให้เสถียรโดยการทำปฏิกิริยารีดักทีฟอะมิเนชันด้วยโซเดียมโบโรไฮไดรด์ (Sodium borohydride; $NaBH_4$) ได้เป็นอนุพันธ์โคโตซานที่มีสมบัติความมีขั้วลดต่ำลงได้ โดยจะศึกษาสมบัติการละลายในตัวทำละลายหลายชนิด ซึ่งผลที่ได้จากการศึกษาสามารถนำไปประยุกต์ใช้กับผลิตภัณฑ์ทางการแพทย์และอุตสาหกรรมต่าง ๆ

1.2 วัตถุประสงค์ของงานวิจัย

- 1) เพื่อศึกษาการสังเคราะห์อนุพันธ์ *N*-Methoxybenzyl chitosan โดยการทำปฏิกิริยาซิฟเบสระหว่างโคโตซานและพาราเมทอกซีเบนซาลดีไฮด์
- 2) เพื่อศึกษาสมบัติทางกายภาพและสมบัติทางเคมีของอนุพันธ์โคโตซานที่สังเคราะห์ได้

1.3 ขอบเขตของงานวิจัย

- 1) สังเคราะห์อนุพันธ์ของโคโตซานโดยการทำปฏิกิริยาซิฟเบสระหว่างโคโตซานและพาราเมทอกซีเบนซาลดีไฮด์โดยการเปลี่ยนแปลงอัตราส่วนโดยโมลของโคโตซานต่อพาราเมทอกซีเบนซาลดีไฮด์ เป็น 1:1, 1:1.5, 1:2, 1:2.5 และ 1:3
- 2) ตรวจสอบโครงสร้างทางเคมีของอนุพันธ์โคโตซานที่สังเคราะห์ได้จากปฏิกิริยาซิฟเบสระหว่างโคโตซานและพาราเมทอกซีเบนซาลดีไฮด์ โดยใช้เทคนิคฟูเรียร์ทรานสฟอร์มอินฟราเรดสเปกโทรสโกปี (Fourier-Transform Infrared Spectroscopy; FT-IR) นิวเคลียร์แมกเนติกเรโซแนนซ์สเปกโทรสโกปี (Nuclear magnetic resonance spectroscopy; NMR) และการวิเคราะห์ธาตุองค์ประกอบ (Elemental Analysis; EA)
- 3) ทดสอบสมบัติทางกายภาพ ได้แก่ สมบัติการละลาย และสมบัติการเปื่อยตัวของอนุพันธ์โคโตซานที่สังเคราะห์ได้

1.4 ประโยชน์ที่คาดว่าจะได้รับ

- 1) ทราบถึงขั้นตอนและวิธีการสังเคราะห์อนุพันธ์โคโตซานด้วยปฏิกิริยาซิฟเบสระหว่างโคโตซานและพาราเมทอกซีเบนซาลดีไฮด์
- 2) สามารถเปลี่ยนสมบัติด้านความมีขั้วให้ลดต่ำลง และมีสมบัติการละลายที่ดีขึ้น

บทที่ 2

ทฤษฎีและงานวิจัยที่เกี่ยวข้อง

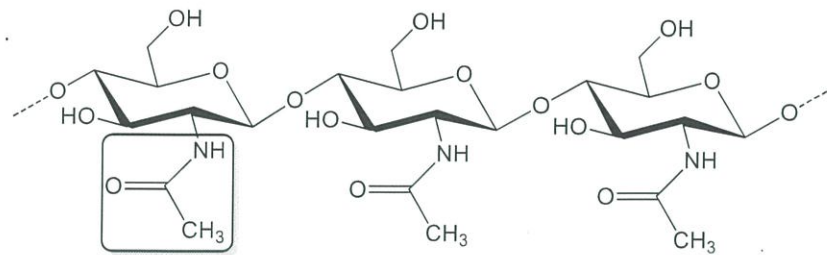
2.1 ไคตินและไคโตซาน (Chitin and Chitosan) [3]

ไคตินเป็นพอลิเมอร์ธรรมชาติ (Natural polymer) ประเภทพอลิแซ็กคาไรด์ที่มีสายโซ่ยาวมีโครงสร้างคล้ายคลึงกับเซลลูโลส มีชื่อเรียกทางเคมีว่า Poly- β -(1,4)-acetamino-2-deoxy-D-glucose หรือ Poly-N-acetyl-glucosamine ซึ่งโมเลกุลของไคตินมีหน่วยย่อยที่เรียกว่า N-acetyl-D-glucosamine เป็นอนุพันธ์ของกลูโคสต่อกันด้วยพันธะไกลโคซิดิก (Glycosidic bond) แบบ β -1,4 แต่หมู่ไฮดรอกซิล (-OH) ที่ตำแหน่ง C-2 ของเซลลูโลสจะถูกแทนที่ด้วยกลุ่ม Acetyl amino (-NHCOCH₃) มีสูตรทั่วไปเป็น (C₈H₁₃NO₅)_n

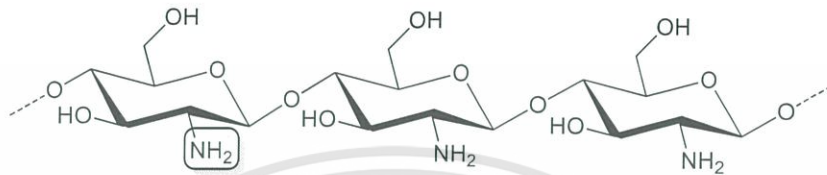
ไคตินพบได้ในโครงสร้างแข็งที่หุ้มร่างกายของสัตว์จำพวก กุ้ง ปู แมลง ผนังเซลล์ของรา ยีสต์ เห็ด และพวกจุลินทรีย์อีกหลายชนิด เมื่อพิจารณาโครงสร้างของไคตินพบว่า ไคตินเป็นโมเลกุลสายโซ่ยาวที่ไม่มีประจุอยู่บนสายโซ่ ทำให้ไคตินไม่ละลายในเบสเจือจาง แอลกอฮอล์ และตัวทำละลายอินทรีย์อื่น ๆ แต่ไคตินละลายได้ในกรดอินทรีย์ เช่น กรดเกลือ กรดฟอสฟอริก กรดกำมะถัน และกรดฟอร์มิกที่ปราศจากน้ำ ทำให้การใช้ประโยชน์ของไคตินไม่เป็นที่แพร่หลาย จึงมีการดัดแปลงไคตินให้เป็นไคโตซาน เพื่อเพิ่มประโยชน์ในการใช้งานให้มากยิ่งขึ้น



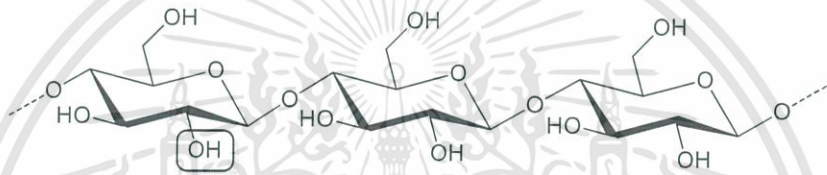
เอกสารนี้เป็นเอกสารที่สงวนไว้สำหรับการใช้งานเพื่อการศึกษาเท่านั้น ไม่อนุญาตให้นำไปใช้ประโยชน์ด้านการค้า
ไม่ว่ากรณีใดๆ ทั้งสิ้น อีกทั้งห้ามรูปที่ 2.1 แหล่งที่มาของไคตินและไคโตซาน.เอกสารทุกครั้งที่มีการนำไปใช้



ไคติน (Chitin)



ไคโตซาน (Chitosan)



เซลลูโลส (Cellulose)

รูปที่ 2.2 โครงสร้างทางเคมีของไคติน ไคโตซาน และเซลลูโลส

จากรูปที่ 2.2 ไคโตซานเป็นอนุพันธ์ของไคติน มีชื่อเรียกทางเคมี คือ Poly- β -(1,4)-2-amino-2-deoxy-D-glucose มีสูตรทั่วไปคือ $(C_8H_{11}O_4N)_n$ ซึ่งเกิดจากการกำจัดหมู่อะเซทิลของไคตินด้วย โซเดียมไฮดรอกไซด์ (NaOH) ทำให้หมู่อะเซตามิโนหรือหมู่อะเซทิล ($-NHCOCH_3$) ของไคตินเปลี่ยนไปเป็นหมู่เอมิโน ($-NH_2$) ที่คาร์บอนตำแหน่งที่ 2 ของหน่วยซ้ำบนสายโซ่พอลิเมอร์ ทำให้ไคโตซานมีส่วนของโมเลกุลที่ว่องไวต่อการเกิดปฏิกิริยาหลายหมู่ ซึ่งรวมถึงหมู่ไฮดรอกซิลที่คาร์บอนตำแหน่งที่ 3 และคาร์บอนตำแหน่งที่ 6

ความแตกต่างของไคตินและไคโตซาน คือ องศาการกำจัดหมู่อะเซทิล (Degree of deacetylation) แต่ปฏิกิริยาการกำจัดหมู่อะเซทิลมักเกิดไม่สมบูรณ์ ทำให้ไคตินและไคโตซานเป็นพอลิเมอร์ร่วมระหว่าง 2 มอนอเมอร์ของ N-acetyl-D-glucosamine และ D-glucosamine ในสัดส่วนที่ต่างกัน ถ้าหมู่อะเซทิลถูกตัดไปประมาณร้อยละ 60 ไคตินจะเปลี่ยนไปเป็นไคโตซาน โดยทั่วไปไคโตซานจะมีองศาการกำจัดหมู่อะเซทิลอยู่ประมาณร้อยละ 70 - 95 ซึ่งการตัดหมู่อะเซทิลส่งผลให้สมบัติการละลายเปลี่ยนไป กล่าวคือไคโตซานจะสามารถละลายได้ในกรดอินทรีย์หลายชนิด เช่น สารละลายกรดอะซิติก สารละลายกรดฟอร์มิก เป็นต้น รวมถึงยังสามารถละลายได้เล็กน้อยในกรดอินทรีย์เจือจาง เช่น กรดไฮโดรคลอริก จึงทำให้ไคโตซานถูกนำมาใช้ประโยชน์มากกว่าไคติน

ไม่ว่ากรณีใดๆ ทั้งสิ้น อีกทั้งห้ามมิให้คัดแปลงเนื้อหาและต้องอ้างอิงถึงเจ้าของเอกสารทุกครั้งที่มีการนำไปใช้

2.1.1 กระบวนการเตรียมไคตินและไคโตซาน [5]

2.1.1.1 ขั้นตอนการเตรียมไคติน

วัตถุดิบที่ใช้ในการสกัดไคตินส่วนมากนำมาจากเปลือกของสัตว์ตระกูลครัสตาเซีย (Class Crustacea) ได้แก่ กุ้ง ปู กุ้ง กระจงของหมึก ตระกูลอินเซคตา (Class Insecta) ได้แก่ แมลงปีกแข็ง ตัว และยังสามารถพบได้ที่บริเวณผนังเซลล์ของเห็ด รา และยีสต์ ซึ่งองค์ประกอบของวัตถุดิบส่วนใหญ่เป็นโปรตีนและแคลเซียมคาร์บอเนต โดยสามารถแยกโปรตีนออกได้ด้วยการต้มกับสารละลายโซเดียมไฮดรอกไซด์ ส่วนแคลเซียมคาร์บอเนตแยกออกด้วยการต้มกับกรดไฮโดรคลอริก หรือกรดไนตริก ซึ่งการเตรียมไคตินมีขั้นตอนสำคัญ ดังนี้

1) การเตรียมวัตถุดิบ (Material preparation)

การเตรียมวัตถุดิบ เริ่มจากการนำวัตถุดิบได้แก่ เปลือกกุ้ง หรือกระจงปู มาล้างน้ำให้สะอาด จากนั้นนำไปต้มและล้างด้วยสารละลายแอนติออกซิแดนท์แล้วนำไปอบแห้ง อาจมีการบดเพื่อลดขนาด

2) การกำจัดแร่ธาตุ (Deminceralization)

การกำจัดแร่ธาตุ จะใช้สารละลายกรดไฮโดรคลอริกเจือจางเป็นตัวละลายแร่ธาตุ แต่ส่วนใหญ่นิยมใช้กำจัดแคลเซียมคาร์บอเนต นอกจากนี้ยังมีการนำกรดซัลฟิวริกมาใช้ในการกำจัดแร่ธาตุในกระบวนการเตรียมไคตินระดับอุตสาหกรรม เนื่องจากมีข้อดี คือ ลดปฏิกิริยาการสูญเสียสภาพธรรมชาติของไคติน เพราะกรดซัลฟิวริกเป็นกรดอ่อน

3) การกำจัดโปรตีน (Deproteinization)

การกำจัดโปรตีน เกิดจากการทำปฏิกิริยากับสารละลายเบส โดยสารละลายที่นิยมใช้คือ สารละลายโซเดียมไฮดรอกไซด์ ซึ่งกระบวนการกำจัดโปรตีนอาจทำให้ไขมันบางส่วนและรงควัตถุบางชนิดมีโอกาสที่จะถูกขจัดออกไปด้วย และยังสามารถกำจัดโปรตีนโดยการใช้อีโนไซน์ ซึ่งการใช้อีโนไซน์ จะทำให้ความหนืดของสารละลายไคโตซานลดลง

4) การกำจัดสี (Decoloration)

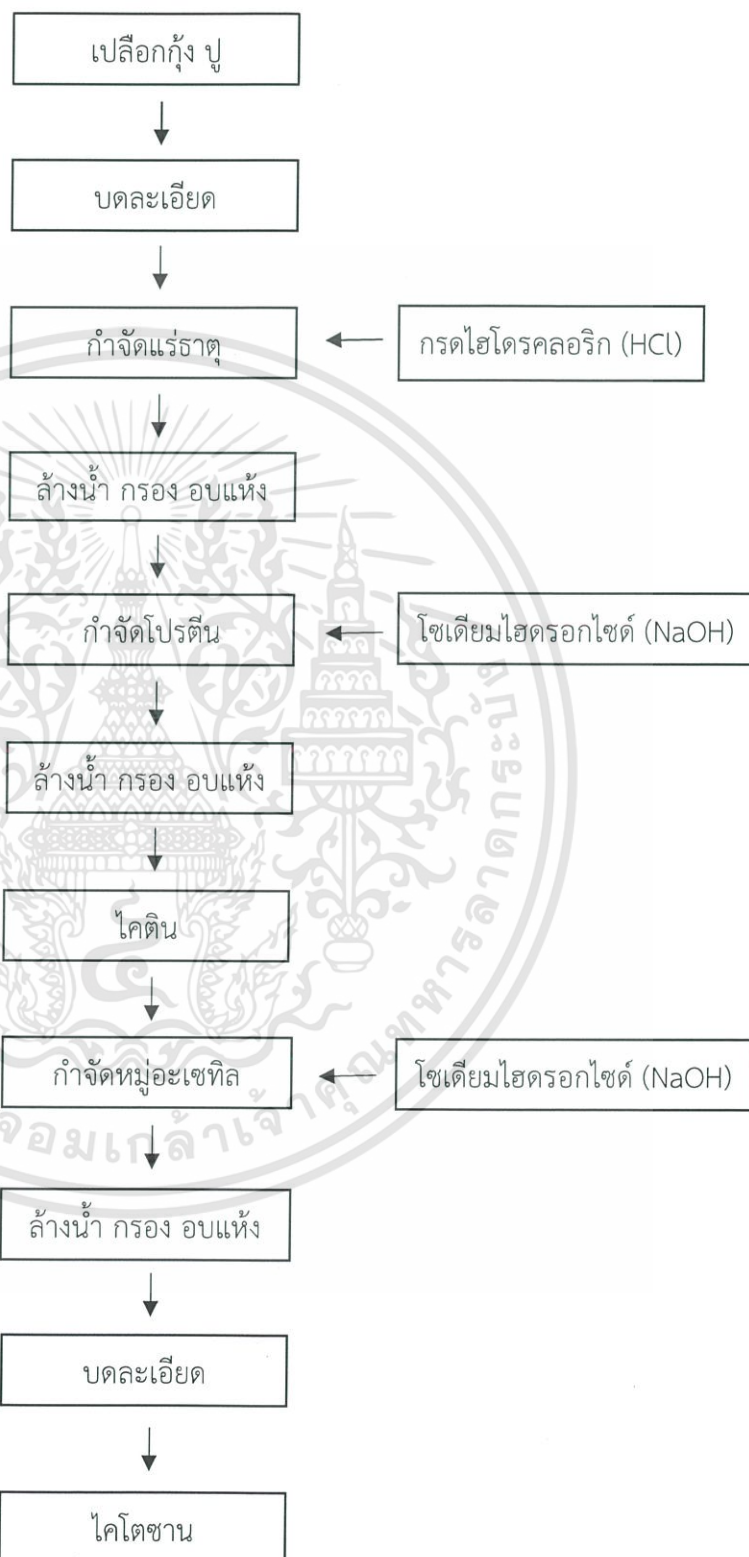
ในเปลือกของสัตว์ตระกูลครัสเตเชีย มีสารจำพวกคาโรทีนอยด์ ซึ่งไม่สามารถกำจัดออกไปในกระบวนการกำจัดโปรตีนและแร่ธาตุ แต่สามารถกำจัดสีได้ด้วยการใช้ตัวทำละลายอินทรีย์จำพวกแอลกอฮอล์ หรืออะซิโตน และยังสามารถกำจัดสีออกด้วยวิธีการฟอกขาว โดยการใส่โพแทสเซียมเปอร์แมงกาเนต หรือไฮโดรเจนเปอร์ออกไซด์ เรียกผลิตภัณฑ์ที่ได้ว่าไคติน

2.1.1.2 ขั้นตอนการเตรียมไคโตซาน

1) การกำจัดหมู่อะเซทิล (Deacetylation)

การเตรียมไคโตซานทำได้โดยการนำไคตินที่เตรียมได้มากำจัดหมู่อะเซทิล ซึ่งเป็นการเปลี่ยนแปลงทางโครงสร้างเคมีบนโมเลกุลของไคติน เพื่อทำให้เกิดเป็นไคโตซาน โดยสารละลายที่ไม่ว่ากรณีใดๆ ทั้งสิ้น อีกทั้งห้ามมิให้คัดแปลงเนื้อหาและต้องอ้างอิงถึงเจ้าของเอกสารทุกครั้งที่มีการนำไปใช้

นิยมใช้คือสารละลายโซเดียมไฮดรอกไซด์เข้มข้น ซึ่งความเข้มข้นของโซเดียมไฮดรอกไซด์ที่ใช้กำหนดไว้ตั้งแต่ร้อยละ 40 ขึ้นไป



เอกสารนี้เป็นเอกสารที่สงวนไว้สำหรับการใช้งานเพื่อการศึกษาเท่านั้น ไม่อนุญาตให้นำไปใช้ประโยชน์ด้านการค้า
ไม่ว่ากรณีใดๆ ทั้งสิ้น อีกที่รูปที่ 2.3 ขั้นตอนทั่วไปในกรณีเตรียมไคติน-ไคโตซาน [6] ทุกครั้งที่มีการนำไปใช้

2.1.2 ลักษณะทางกายภาพและเคมีของไคโตซาน

- 1) ไคโตซานเป็นพอลิเมอร์ธรรมชาติที่มีความเข้ากันได้ทางชีวภาพ สามารถย่อยสลายได้เองตามธรรมชาติ จึงมีความปลอดภัยในการใช้กับมนุษย์ สัตว์ และไม่ส่งผลเสียต่อสิ่งแวดล้อม
- 2) ไคโตซานเป็นสารพอลิเมอร์ที่มีประจุบวก สามารถเกิดปฏิกิริยากับของแข็งอินทรีย์และพื้นผิวเซลล์ที่มีประจุลบได้
- 3) ไคโตซานมีหมู่อะมิโน และหมู่ไฮดรอกซิลหลายตำแหน่ง สามารถทำปฏิกิริยาเคมีกับสารอื่น ๆ เพื่อเปลี่ยนเป็นสารอนุพันธ์ได้มากมาย ทำให้สามารถนำไปใช้ประโยชน์ได้อย่างแพร่หลาย
- 4) ไคโตซานสามารถขึ้นรูปได้หลายแบบ เช่น เจล เม็ด เส้นใย ฟิล์ม สารเคลือบ เป็นต้น ทำให้มีการนำไคโตซานไปประยุกต์ใช้งานได้อย่างแพร่หลาย

2.1.3 สมบัติของไคโตซาน [7]

2.1.3.1 การละลาย (Solubility)

การละลายเป็นการทำให้เกิดพันธะระหว่างตัวถูกละลายกับตัวทำละลาย ดังนั้นการละลายจึงขึ้นอยู่กับการยอมให้โมเลกุลของตัวทำละลายแทรกผ่านไปได้ดีหรือไม่ ซึ่งไคโตซานมีโครงสร้างที่แข็งแรง เนื่องจากโมเลกุลของไคโตซานเชื่อมด้วยพันธะไฮโดรเจนอย่างหนาแน่นและเป็นระเบียบ ทำให้โมเลกุลของตัวทำละลายไม่สามารถแทรกผ่านเข้าไปในโมเลกุลของไคโตซานได้ จึงทำให้ไคโตซานไม่สามารถละลายได้ในตัวทำละลายทั่ว ๆ ไป รวมถึงไม่สามารถละลายได้ในเบส และตัวทำละลายอินทรีย์ แต่ไคโตซานละลายได้ในสารละลายกรดอินทรีย์เจือจางเกือบทุกชนิดที่มีค่า pH น้อยกว่า 6 เช่น กรดอะซิติก กรดฟอร์มิก และกรดซิตริก นอกจากนี้ยังสามารถละลายได้ในตัวทำละลายกรดอนินทรีย์เจือจางบางชนิด เช่น กรดไฮโดรคลอริก กรดเปอร์คลอริก กรดไนตริก และกรดฟอสฟอริก เป็นต้น

2.1.3.2 ความหนืด (Viscosity)

ความหนืดของสารละลายไคโตซานขึ้นอยู่กับปัจจัยต่าง ๆ เช่น น้ำหนักโมเลกุล ความเข้มข้น ระยะเวลา ค่า pH อุณหภูมิ และระดับการกำจัดหมู่อะเซทิล ความหนืดของสารละลายไคโตซานจะเพิ่มขึ้นเมื่อลดอุณหภูมิ นอกจากอุณหภูมิ ชนิดของกรดที่ใช้และการเปลี่ยนแปลงค่า pH ของสาร ไคโตซานก็ส่งผลให้ความหนืดที่ได้แตกต่างกัน

2.1.3.3 สมบัติพอลิอิเล็กโทรไลต์ (Polyelectrolyte properties)

ไคโตซานเป็นสายโซ่พอลิเมอร์ของแอนไฮโดรกลูโคซามีน (Anhydroglucosamine) และเป็นสายโซ่พอลิอิเล็กโทรไลต์ที่สภาวะเป็นกรด มีค่า pH คือ 6.5 ไคโตซานเป็นหนึ่งในพวกแคทไอออนิกพอลิอิเล็กโทรไลต์ (Cationic polyelectrolyte) จึงมีศักยภาพในการประยุกต์ใช้งานได้มากกว่าไม่จำกัดใดๆ ทั้งสิ้น อีกทั้งยังมีให้คิดแปลงเนื้อหาและต้องอ้างอิงถึงเจ้าของเอกสารทุกครั้งที่มีการนำไปใช้

เนื่องจากเนื้อเยื่อของสิ่งมีชีวิตส่วนใหญ่มีประจุลบ ทำให้ประจุบวกของไคโตซานจับกับผิวที่เป็นประจุลบ ส่งผลให้เป็นกลางบริเวณผิวของจุลินทรีย์ ทำให้การจับกันของไคโตซานกับเซลล์สิ่งมีชีวิตเป็นสมบัติที่สำคัญในการประยุกต์ใช้ทางการแพทย์

2.1.3.4 ระดับการกำจัดหมู่อะเซทิล (Degree of deacetylation)

ระดับการกำจัดหมู่อะเซทิลเป็นตัวบ่งชี้ความเป็นไคตินและไคโตซาน เนื่องจากไคตินและไคโตซานเป็นโคพอลิเมอร์ระหว่างสองมอนอเมอร์ของ *N*-acetyl-D-glucosamine และ D-glucosamine ถ้าสัดส่วนแตกต่างกัน โดยที่มอนอเมอร์ *N*-acetyl-D-glucosamine มากกว่า คือมีระดับการกำจัดหมู่อะเซทิลต่ำ จะแสดงสมบัติเด่นของไคติน ในทางกลับกันถ้าสัดส่วนของมอนอเมอร์ D-glucosamine มากกว่า คือ มีระดับของการกำจัดหมู่อะเซทิลสูง จะแสดงสมบัติเด่นของไคโตซาน

2.1.3.5 การเสื่อมสลาย (Degradation)

ไคโตซานเมื่อเกิดการเสื่อมสลายจะให้สายโซ่โมเลกุลที่สั้นลง เป็นโอลิโกเมอร์หรือโอลิโกแซคคาไรด์ และเป็นหน่วยย่อยที่เล็กที่สุด เรียกว่า มอนอเมอร์หรือมอนอแซคคาไรด์

โอลิโกเมอร์ โอลิโกแซคคาไรด์ของไคตินและไคโตซาน คือ *N*-acetylchitooligosaccharide และ Chitooligosaccharide ตามลำดับ ส่วนมอนอเมอร์หรือมอนอแซคคาไรด์ของไคตินและไคโตซาน คือ *N*-acetyl-D-glucosamine และ D-glucosamine ตามลำดับ

1) การเสื่อมสลายโดยกรด (Acid hydrolysis)

การเสื่อมสลายของสายโซ่โมเลกุลของไคโตซานเนื่องจากกรดจะเป็นแบบสุ่ม ผลิตรากศัพท์ที่ได้จะเป็นโอลิโกเมอร์ขนาดต่าง ๆ และมอนอเมอร์ ขึ้นอยู่กับสภาวะที่ใช้ เช่น ชนิดของกรด อุณหภูมิ เวลาชนิดของพอลิเมอร์ เป็นต้น ไคตินสามารถต้านทานต่อการเสื่อมสลายโดยกรดได้ดีกว่าไคโตซาน

2) การเสื่อมสลายด้วยเบส (Alkaline hydrolysis)

การเสื่อมสลายของสายโซ่โมเลกุลของไคโตซานด้วยเบสจะเริ่มจากปลายสุดของสายโซ่โมเลกุล การเสื่อมสลายนี้เรียกว่า Peeling reaction

3) การเสื่อมสลายโดยเอนไซม์ (Enzymic degradation)

การเสื่อมสลายโดยเอนไซม์ จะมีความจำเพาะเจาะจงมากกว่าการใช้สารเคมี ซึ่งเอนไซม์ที่ใช้ในการย่อยสลายไคตินและไคโตซาน ได้แก่ Chitinase Chitosanase Lysozyme *N*-acetylglucosaminidase และ *N*-acetylhexosaminidase

4) การเสื่อมสลายโดยใช้ความร้อน (Thermal degradation)

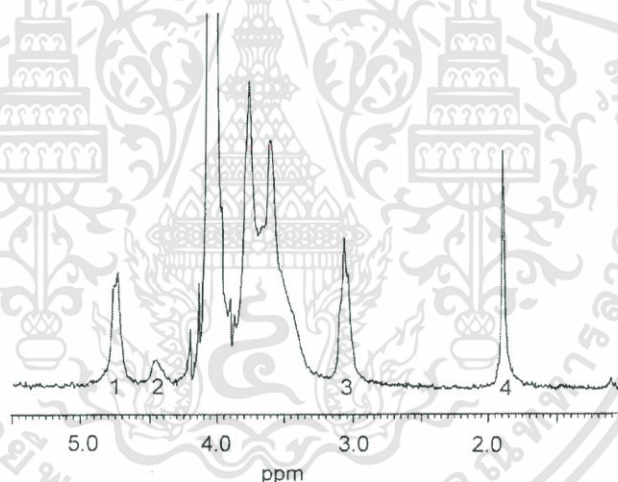
ความร้อนจากเตาอบแบบแห้งที่อุณหภูมิน้อยกว่าหรือเท่ากับ 80 °C มีผลทำให้สายโซ่โมเลกุลมีความยืดหยุ่นมากขึ้น ความสามารถในการละลายเพิ่มขึ้น และที่อุณหภูมิสูงกว่าหรือเท่ากับ 120 °C ความสามารถในการละลายของไคโตซานจะลดลง การออกแบบแห้งโดยใช้ไอร้อนที่อุณหภูมิ

มากกว่า 120 °C ไคโตซานจะไม่สามารถละลายได้ และที่อุณหภูมิต่ำกว่าหรือเท่ากับ 120 °C จะไม่เกิดการเปลี่ยนแปลงใด ๆ ต่อสมบัติทางกายภาพของไคโตซาน

2.1.3.6 ความสามารถในการเกิดปฏิกิริยา

ไคโตซานประกอบด้วย 3 หมู่ฟังก์ชันที่มีความไวต่อการเกิดปฏิกิริยา คือ หมู่อะมิโนหรือหมู่อะมีน (-NH₂) ที่คาร์บอนตำแหน่งที่ 2 หมูไฮดรอกซิลปฐมภูมิ (-CH₂OH) ที่คาร์บอนตำแหน่งที่ 6 และหมูไฮดรอกซิลทุติยภูมิ (-OH) ที่คาร์บอนตำแหน่งที่ 3 จากโครงสร้างของไคโตซานเห็นได้ว่าหน่วยย่อยกลูโคซามีนบนสายโซ่ไคโตซานประกอบด้วยหมู่ฟังก์ชันคือหมู่อะมิโน หมูไฮดรอกซิล ซึ่งเป็นตำแหน่งที่จะทำปฏิกิริยาได้หลายลักษณะ จึงสามารถปรับปรุงโครงสร้างทางเคมีของไคโตซานได้โดยการทำปฏิกิริยาที่หมู่ฟังก์ชันดังกล่าว ซึ่งทำให้เกิดเป็นวัสดุหลายชนิดที่สามารถนำไปประยุกต์ใช้งานได้หลากหลาย

2.1.4 โครงสร้างและการพิสูจน์เอกลักษณ์ของไคโตซาน [8]



รูปที่ 2.4 ¹H-NMR spectra ของไคโตซาน

ในสถานะของแข็งไคโตซานมีสัณฐานวิทยาเป็นพอลิเมอร์กึ่งผลึก (Crystalline polymer) โดยผลึกเดี่ยว (Single crystal) ของไคโตซานจะมี Electron diffraction diagram เป็นแบบ Orthorombic (P2₁2₁2₁) และ a = 0.807 nm, b = 0.844 nm, c = 1.034 nm หน่วยเซลล์ (Unit cell) ประกอบด้วยสายโซ่ไคโตซานที่เป็นแบบสวนทางกัน (Antiparallel) แต่ไม่มีโมเลกุลน้ำรวมอยู่

การพิสูจน์เอกลักษณ์ของไคโตซานที่นิยม คือ โปรตอน-นิวเคลียร์แมกเนติกเรโซแนนซ์ (¹H - Nuclear magnetic resonance spectroscopy) จากรูปที่ 2.4 แสดง ¹H-NMR spectra ของเอกลไคโตซานที่ละลายใน D₂O, pH = 4, อุณหภูมิทดสอบที่ 85 °C และสารละลายมีความเข้มข้นเท่ากับ 5 กรัม/ลิตร ให้ค่า Chemical shift ดังตารางที่ 2.1 ต้องอ้างอิงถึงเจ้าของเอกสารทุกครั้งที่มีการนำไปใช้

ตารางที่ 2.1 ค่า Chemical shift จาก ^1H NMR spectra ของโคโตซาน [8]

Chemical shift (ppm)	ประเภทของโปรตอน
4.79	H-1 of Glucosamine unit
4.43	H-1 of N-acetyl-glucosamine
3.10	H-2 of N-acetyl-glucosamine
1.95	Acetyl group of N-acetyl-glucosamine

2.1.5 การประยุกต์ใช้งานของโคโตซาน [9]

2.1.5.1 ด้านการแพทย์

เนื่องจากโคโตซานเป็นพอลิเมอร์ธรรมชาติที่มีความเข้ากันได้ทางชีวภาพ ไม่ส่งผลเสียต่อร่างกายมนุษย์จึงได้รับความสนใจและมีการพัฒนาไปใช้ในด้านทางการแพทย์อย่างกว้างขวาง เช่น สามารถนำมาใช้เป็นวัสดุรักษาหรือตกแต่งบาดแผล โดยพบว่าโคโตซานเป็นตัวเร่งกระบวนการรักษาบาดแผล ช่วยยับยั้งการเจริญเติบโตของเชื้อแบคทีเรีย สามารถยับยั้งการติดเชื้อ และทำให้แผลหายเร็วขึ้นได้ รวมทั้งยังสามารถนำมาใช้ผลิตเป็นแคปซูลบรรจุยา สารลดคอเลสเตอรอล หนังกเทียม สารเชื่อมหรืออุดฟัน เป็นต้น นอกจากนี้ยังสามารถนำมาทำผลิตภัณฑ์เสริมความงาม และอาหารเสริมลดน้ำหนักได้อีกด้วย

2.1.5.2 ด้านการเกษตร

โคโตซานสามารถนำมาใช้เคลือบผิวผลผลิตทางการเกษตร เพื่อยืดอายุการเก็บรักษา ผลผลิตและเมล็ดพันธุ์ ใช้ในการยับยั้งเชื้อซึ่งเป็นสาเหตุของโรคพืชโดยผลิตเป็นสารต่อต้านเชื้อรา ไวรัส และแบคทีเรีย นอกจากนี้ยังสามารถใช้เป็นสารเสริมผสมในอาหารสัตว์ เช่น สุนัข โค ไก่ เพื่อเพิ่มปริมาณแบคทีเรียที่เป็นประโยชน์ต่อระบบทางเดินอาหาร และช่วยลดอาการท้องเสียของสัตว์ได้

2.1.5.3 การบำบัดน้ำเสีย

โคโตซานสามารถเกิดสารประกอบเชิงซ้อนกับไอออนของโลหะได้หลายชนิด อีกทั้งยังมีสมบัติเป็นตัวตกตะกอนและตัวสร้างตะกอนที่ดี เนื่องจากโมเลกุลของโคโตซานประกอบด้วยหมู่อะมิโนจำนวนมากบนสายโซ่ ซึ่งสามารถจับกับสารที่มีประจุลบ ทำให้เกิดการตกตะกอน โดยกระบวนการดังกล่าวเป็นวิธีการบำบัดน้ำเสียให้ดีขึ้น

2.1.5.4 เทคโนโลยีชีวภาพ

เส้นใยโคโตซานมีความสามารถในการย่อยสลายได้เองตามธรรมชาติ จึงมีการนำมาผลิตเอกสารนี้เป็นเอกสารที่สงวนไว้สำหรับการใช้งานเพื่อการศึกษาเท่านั้น ไม่อนุญาตให้นำไปใช้ประโยชน์ด้านการค้า เป็นสารหอมเอนไซม์และเซลล์ต่าง ๆ ไม่ว่ากรณีใดๆ ทั้งสิ้น อีกทั้งห้ามมิให้ดัดแปลงเนื้อหาและต้องอ้างอิงถึงเจ้าของเอกสารทุกครั้งที่มีการนำไปใช้

2.2 อนุพันธ์ไคโตซาน (Chitosan derivatives) ที่น่าสนใจ [8, 10, 21]

2.2.1 O-and N-Carboxymethylchitosans [8]

Carboxymethylchitosan เป็นอนุพันธ์ที่ถูกผลิตขึ้นจำนวนมากในกลุ่มอนุพันธ์ของไคโตซาน เป็นแอมโฟเทริกพอลิเมอร์ (Amphoteric polymer) ความสามารถในการละลายขึ้นอยู่กับช่วง pH สำหรับการสังเคราะห์อนุพันธ์ชนิดนี้ภายใต้สภาวะที่มีการควบคุมด้วยโซเดียมมอนอ-คลอโรแอซิเตต (Sodium monochloroacetate) ในโซเดียมไฮดรอกไซด์ ทำให้เกิดปฏิกิริยา O-carboxymethylation และ N-carboxymethylation ปฏิกิริยาดังกล่าวทำให้ช่วง pH ของการละลายกว้างขึ้น คือ pH มากกว่า 7 สามารถละลายน้ำได้ แต่การละลายนั้นเป็นแบบแยกวัฏภาค (Phase separation) เนื่องจากสมดุลของประจุบวกและประจุลบในโครงสร้างของอนุพันธ์อยู่ในช่วง pH 2.5 - 6.5

2.2.2 Chitosan 6-O-sulfate [8]

อนุพันธ์ชนิดนี้เป็นสารป้องกันการแข็งตัวของเลือด (Anticoagulant) ถูกเตรียมครั้งแรกเป็นอนุพันธ์ O-sulfated chitosan และไม่นานมานี้ถูกเตรียมเป็น N-sulfated chitosan

2.2.3 N-methylene phosphonic chitosans [8]

อนุพันธ์ชนิดนี้เป็นที่น่าสนใจสำหรับสมบัติอนุพันธ์ที่มีประจุลบ (Anionic derivative) เนื่องจากมีความสามารถในการเกิดสารประกอบเชิงซ้อนกับประจุบวกของโลหะ เช่น Ca^{2+} และธาตุโลหะทรานซิชันได้ดี ซึ่งช่วยป้องกันการกัดกร่อน (Corrosion) บนพื้นผิวของโลหะได้ อนุพันธ์นี้สามารถดัดแปร (Modified) และต่อกิ่ง (Grafted) ด้วยสายโซ่อัลคิล (Alkyl chain) ที่มีสมบัติแอมฟิฟิลิก (Amphiphilic properties) แล้วนำมาใช้กับผลิตภัณฑ์เครื่องสำอางได้

2.2.4 Trimethylchitosan ammonium [8]

เป็นอนุพันธ์ที่มีประจุบวก (Cationic derivative) เกิดจากปฏิกิริยา Quaternization ของไคโตซานและเมทิลไอโอดด์ (Methyl iodide) ในโซเดียมไฮดรอกไซด์ภายใต้สภาวะควบคุม จะได้อนุพันธ์ที่สามารถละลายน้ำได้ในช่วง pH กว้าง อนุพันธ์ชนิดนี้มีสมบัติการตกตะกอน (Flocculating properties) กับดินขาวได้ดีจึงนิยมนำมาใช้ในอุตสาหกรรมกระดาษ ส่วนอนุพันธ์ Quaternization ชนิดอื่น ๆ มีสมบัติป้องกันไฟฟ้าสถิต (Antistatic properties) ที่ดี

2.2.5 Carbohydrate branched chitosans [8]

เอกสารนี้เป็นเอกสารโพรโพรเซสสามารถต่อกิ่งบนสายโซ่ไคโตซานได้ที่ตำแหน่ง C-2 ของไคโตซานโดยราคาไม่แพงเกินไปและไม่เกิดปฏิกิริยารีดักทีฟอัลคิลเลชัน (Reductive alkylation) อนุพันธ์ชนิดนี้สามารถละลายน้ำได้ เริ่มต้น

มีการเตรียมเป็นกาแลกโทไซเลทโคโตซาน (Galactosylated chitosan) โดยคาร์โบไฮเดรตสามารถเกิดปฏิกิริยาได้โดยไม่ต้องมีการเปิดวงของน้ำตาลที่ตำแหน่ง C-6 อนุพันธ์ชนิดนี้มีการใช้เชิงการแพทย์เพื่อการปลดปล่อยยาตามตำแหน่งที่ต้องการ

2.2.6 Chitosan-grafted copolymers [8]

อนุพันธ์ที่สำคัญ คือ Poly(ethylene glycol)-grafted chitosan มีสมบัติในการละลายน้ำ แต่ขึ้นกับองศาการต่อกิ่ง (Degree of grafting) โดย Poly(ethylene glycol) ที่มีน้ำหนักโมเลกุลสูง ทำให้ความสามารถในการละลายดีกว่า Poly(ethylene glycol) ที่มีน้ำหนักโมเลกุลต่ำ ซึ่ง Poly(ethylene glycol) จะเกิดปฏิกิริยารีดักทีฟอะมิเนชัน (Reductive amination) กับโคโตซาน โดยใช้ Poly(ethylene glycol)-aldehyde

อนุพันธ์อีกชนิดที่เป็นที่นิยม คือ Polypeptide-grafted chitosan เกิดจากปฏิกิริยา N-carboxy anhydrides ระหว่างโคโตซานและกรดอะมิโน (Amino acid) สามารถนำไปใช้เป็นวัสดุทางชีวภาพ (Biomaterial) ได้

2.2.7 Alkylated chitosans [8]

เป็นพอลิเมอร์แอมฟิฟิลิก (Amphiphilic polymer) ที่เกิดจากพอลิแซคคาไรด์ (Polysaccharide) อนุพันธ์แรกที่มีการเตรียม คือ C-10-alkyl glycoside branched chitosan มีองศาการแทนที่ (Degree of substitution) เท่ากับ 1.5 อุณหภูมิการเกิดเจล (Gelling temperature) มากกว่า 50 °C

นอกจากนี้ยังมีอนุพันธ์ที่เกิดจากปฏิกิริยา N-palmitoylation และ O-palmitoylation จะให้อนุพันธ์ที่มีสายโซ่ยาวของแอลคิล (Alkyl) ต่อยู่ 2 - 3 สายโซ่ต่อหน่วยมอนอเมอร์ (Monomeric unit) โดยปฏิกิริยาดังกล่าวเกิดขึ้นที่คาร์บอนตำแหน่งที่ 6 ของโคโตซาน

ส่วนอนุพันธ์ที่เกิดจากปฏิกิริยารีดักทีฟอะมิเนชันเป็นหนึ่งในกลุ่มของอนุพันธ์แอมฟิฟิลิก (Amphiphilic derivative) ที่มีการเตรียมหลากหลายความยาวของสายโซ่ไฮโดรคาร์บอนตั้งแต่ 3 - 14 คาร์บอนต่อหนึ่งสายโซ่และควบคุมองศาการแทนที่ (Degree of substitution) สามารถเกิดเป็น n-lauryl chain ขึ้น

อนุพันธ์ Alkylated chitosans ที่เตรียมขึ้นมาได้สามารถละลายในสภาวะกรด (pH < 6) ได้ดีและมีสมบัติที่น่าสนใจ ได้แก่

1) พหุกิจกรรมบริเวณพื้นผิว (Surface activities) เมื่อเปรียบเทียบกับสารลดแรงตึงผิว (Surfactant) พบว่าอนุพันธ์ Alkylated chitosans ที่มีความยาวของสายโซ่เท่ากัน การลดลงของแรง

ตึงผิว (Surface tension) ยังคงลดลงต่ำกว่าสารลดแรงตึงผิว แต่มีการปรับปรุงเสถียรภาพของอินเทอร์เฟซ (Interface) ได้ดีกว่า

เอกสารนี้เป็นเอกสารที่สงวนไว้สำหรับการใช้งานเพื่อการศึกษาเท่านั้น ไม่อนุญาตให้นำไปใช้ประโยชน์ด้านการค้า

ไม่ว่ากรณีใดๆ ทั้งสิ้น อีกทั้งห้ามมิให้ดัดแปลงเนื้อหาและต้องอ้างอิงถึงเจ้าของเอกสารทุกครั้งที่มีการนำไปใช้

2) ความหนืดของสารละลายสูงขึ้นอย่างมาก เนื่องจากสายโซ่ไฮโดรคาร์บอนมีสมบัติความไม่ชอบน้ำ (Hydrophobic properties) โดยเฉพาะความยาวของสายโซ่ไฮโดรคาร์บอนตั้งแต่ 12 คาร์บอนขึ้นไปและสามารถเกิดเป็นเจลได้ในลักษณะทางกายภาพ เนื่องจากการผลึกกันระหว่างประจุบวกและส่วนที่ไม่มีขั้วของอนุพันธ์ การเกิดเจลจะขึ้นกับค่า pH และความเข้มข้นของเกลือ

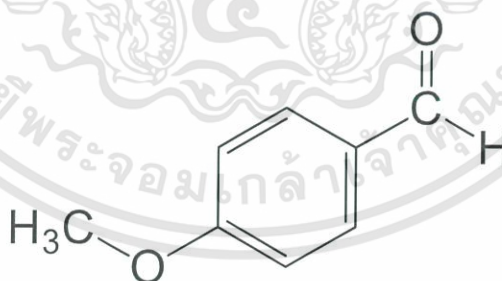
2.2.8 Imine chitosans [10, 21]

Imine chitosans เป็นอนุพันธ์ของไคโตซานที่เกิดจากการทำปฏิกิริยาระหว่างไคโตซาน สารประกอบแอลดีไฮด์หรือคีโตน ที่ตำแหน่งไนโตรเจนของหมู่อะมิโนในไคโตซานและหมู่คาร์บอนิลในสารประกอบแอลดีไฮด์หรือคีโตน เรียกว่า ปฏิกิริยาชิฟเบส (Schiff-base reaction) หรือปฏิกิริยาการสร้างอิมีน (Imine formation)

อนุพันธ์ชนิดนี้นิยมนำมาใช้งานเกี่ยวกับสมบัติการยับยั้งการเจริญเติบโตและฆ่าจุลินทรีย์ได้หลายชนิด เช่น แบคทีเรียแกรมบวก แกรมลบ เชื้อวัณโรค ไวรัส สปอร์และรา เนื่องจากการเข้าทำปฏิกิริยาของอนุพันธ์ของไคโตซานและโปรตีนในเซลล์จุลินทรีย์ จึงเข้าไปทำลายโปรตีนในเซลล์จุลินทรีย์ส่งผลทำให้ยับยั้งการเจริญเติบโตและฆ่าจุลินทรีย์ได้

อย่างไรก็ตามมีงานวิจัยที่เกี่ยวข้องกับอนุพันธ์ชนิดนี้มีอยู่เพียงจำนวนน้อยที่กล่าวถึงผลการเปลี่ยนแปลงขั้วของไคโตซานเพื่อเพิ่มความสามารถของไคโตซานในการละลายในตัวทำละลายอินทรีย์ชนิดอื่น ๆ นอกจากกรดอะซิติก ดังนั้นการนำไปใช้ในอุตสาหกรรมและครัวเรือนจึงยังไม่เป็นที่นิยม

2.3 พาราเมทอกซีเบนซาลดีไฮด์ (*p*-Methoxybenzaldehyde) [11]



รูปที่ 2.5 โครงสร้างของพาราเมทอกซีเบนซาลดีไฮด์

ชื่อ IUPAC : 4-Methoxybenzaldehyde

ชื่อพ้อง : *p*-Anisaldehyde , *p*-Methoxybenzaldehyde

สูตรโมเลกุล : C₈H₈O₂

เอกสารนี้เป็นเอกสารที่จัดทำขึ้นเพื่อการศึกษาเท่านั้น ไม่อนุญาตให้นำไปใช้ประโยชน์ด้านการค้า
ไม่ว่ากรณีใดก็ตามผู้เขียนจึงขอสงวนสิทธิ์อันประการนี้และต้องอ้างอิงถึงเจ้าของเอกสารทุกครั้งที่มีการนำไปใช้

น้ำหนักโมเลกุล : 136.16 g/mole
ลักษณะทางกายภาพ : ของเหลวใสไม่มีสี

ตารางที่ 2.2 สมบัติบางประการของพาราเมทอกซีเบนซาลดีไฮด์

สมบัติ	พาราเมทอกซีเบนซาลดีไฮด์
ความหนาแน่น	1.119 g/ml
จุดหลอมเหลว	-1 °C (30.2 °F)
จุดเดือด	248 °C (478.4 °F)
จุดวาบไฟ	228 °F
ดัชนีหักเห	1.5710 - 1.5740
ความสามารถในการละลายน้ำ	0.5 g/l (25 °C)
เสถียรภาพ	มีเสถียรภาพภายใต้อุณหภูมิและความดันปกติ ระเหยง่ายในไอน้ำ
สภาพการจัดเก็บ	เก็บในที่เย็นและแห้ง
สิ่งที่ต้องหลีกเลี่ยง	วัสดุที่เข้ากันไม่ได้ การสัมผัสกับอากาศ ความร้อน ส่วนเกิน
ผลิตภัณฑ์จากการสลายตัวที่เป็นอันตราย	คาร์บอนมอนอกไซด์ (CO) คาร์บอนไดออกไซด์ (CO ₂)

2.3.1 การเตรียมพาราเมทอกซีเบนซาลดีไฮด์

พาราเมทอกซีเบนซาลดีไฮด์สามารถเตรียมได้จากการทำปฏิกิริยาออกซิเดชันของเมทอกซี-โทลูอิน (Methoxytoluene or *p*-Cresyl methyl ether) โดยใช้แมงกานีสไดออกไซด์ นอกจากนี้ยังสามารถผลิตโดยปฏิกิริยาออกซิเดชันของ Anethole ซึ่งนิยมใช้ทำเป็นสารให้กลิ่นหอมที่พบได้ในเครื่องดื่มแอลกอฮอล์บางชนิด

2.3.2 ความปลอดภัย

อันตรายที่มีผลกระทบต่อสุขภาพที่อาจเกิดขึ้นจากพาราเมทอกซีเบนซาลดีไฮด์ มีดังนี้

ตา : ก่อให้เกิดการระคายเคืองตา

ผิวหนัง : ระคายเคืองต่อผิวหนัง เป็นอันตรายหากดูดซึมผ่านผิวหนัง

การรับประทาน: เป็นอันตรายหากรับประทาน จะทำให้เกิดการระคายเคืองต่อระบบทางเดิน

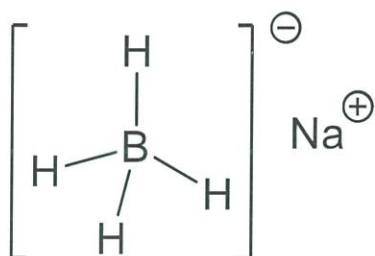
อาหาร

การสูดดม : เป็นอันตรายหากสูดดม จะทำให้เกิดอาการระคายเคืองต่อระบบทางเดินหายใจ

อาการเรื้อรัง : อาจทำให้ตับและไตถูกทำลายได้

เอกสารนี้เป็นเอกสารที่สงวนไว้สำหรับการใช้งานเพื่อการศึกษาเท่านั้น ไม่อนุญาตให้นำไปใช้ประโยชน์ด้านการค้า
ไม่ว่ากรณีใดๆ ทั้งสิ้น อีกทั้งห้ามมิให้ดัดแปลงเนื้อหาและต้องอ้างอิงถึงเจ้าของเอกสารทุกครั้งที่มีการนำไปใช้

2.4 โซเดียมโบโรไฮไดรด์ (Sodium borohydride) [12]



รูปที่ 2.6 โครงสร้างของโซเดียมโบโรไฮไดรด์

ชื่อ IUPAC : Sodium tetrahydroborate

สูตรโมเลกุล : NaBH_4

น้ำหนักโมเลกุล : 37.83 g/mole

ลักษณะทางกายภาพ : ของแข็งสีขาว

ตารางที่ 2.3 สมบัติบางประการของโซเดียมโบโรไฮไดรด์

สมบัติ	โซเดียมโบโรไฮไดรด์
ความหนาแน่น	1.07 g/ml
จุดหลอมเหลว	> 300 °C
จุดเดือด	500 °C
ดัชนีหักเห	1.5710 - 1.5740
ความสามารถในการละลายน้ำ	500 g/ml (25 °C)
เสถียรภาพ	มีเสถียรภาพภายใต้อุณหภูมิและความดันปกติ ระเหยง่ายในไออน้ำ
สภาพการจัดเก็บ	เก็บในที่เย็นและแห้ง
สิ่งที่ต้องหลีกเลี่ยง	วัสดุที่เข้ากันไม่ได้ การสัมผัสกับน้ำ ความร้อน

2.4.1 การเตรียมโซเดียมโบโรไฮไดรด์

โซเดียมโบโรไฮไดรด์สามารถเตรียมได้จากการทำปฏิกิริยาของโซเดียมไฮไดรด์กับไตรเมทิลโบเรตที่อุณหภูมิ 250-270 °C และโซเดียมโบโรไฮไดรด์ยังสามารถเตรียมได้จากการทำปฏิกิริยากันระหว่างโซเดียมไฮไดรด์กับผงโบโรซิลิเกต ดังสมการ

เอกสารนี้เป็นเอกสารสงวนไว้สำหรับการใช้งานเพื่อการศึกษาเท่านั้น ไม่อนุญาตให้เผยแพร่โดยไม่ขออนุญาต
ไม่ว่ากรณีใดๆ ทั้งสิ้น อีกทั้งห้ามมิให้ดัดแปลงเนื้อหาและต้องอ้างอิงถึงเจ้าของเอกสารทุกครั้งที่มีการนำไปใช้

2.4.2 ความปลอดภัย

อันตรายที่มีผลกระทบที่อาจเกิดขึ้นได้จากโซเดียมโบโรไฮไดรด์ คือ โซเดียมโบโรไฮไดรด์เมื่อสัมผัสกับน้ำจะปล่อยแก๊สที่มีความไวไฟสูง และเป็นพิษเมื่อถูกผิวหนัง หรือกลืนกิน

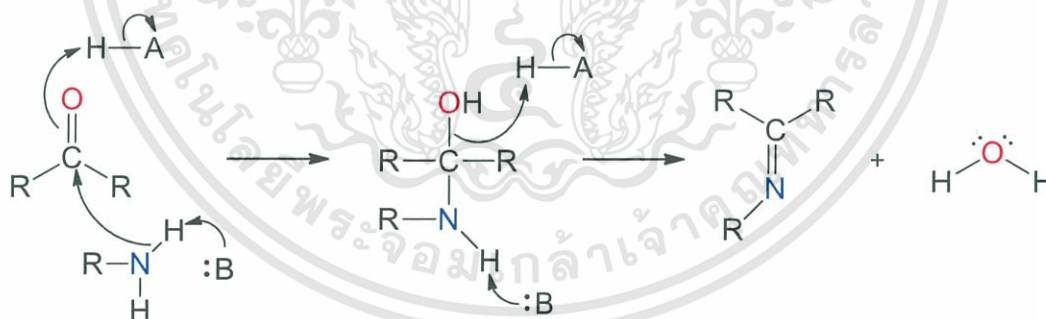
2.5 ปฏิกริยาชิฟเบส (Schiff-base) [13 - 14]

ปฏิกริยาชิฟเบส (Schiff-base) หรือปฏิกริยาการสร้างอิมิน (Imine formation) เกิดจากคาร์บอนอะตอมที่ตำแหน่งอิเล็กโตรไฟล์ (Electrophilic carbon) ของสารประกอบแอลดีไฮด์ (Aldehyde) หรือสารประกอบคีโตน (Ketone) ถูกกระทำด้วยนิวคลีโอไฟล์ (Nucleophile) ของสารประกอบเอมีน (Amine) เกิดเป็นสารประกอบอิมิน (Imine) ซึ่งมีการขจัดน้ำออก [13] ดังรูปที่ 2.7



รูปที่ 2.7 สมการปฏิกริยาชิฟเบส [14]

ปฏิกริยาชิฟเบส (Schiff-base) มีกลไกการเกิดปฏิกริยา ดังรูปที่ 2.8



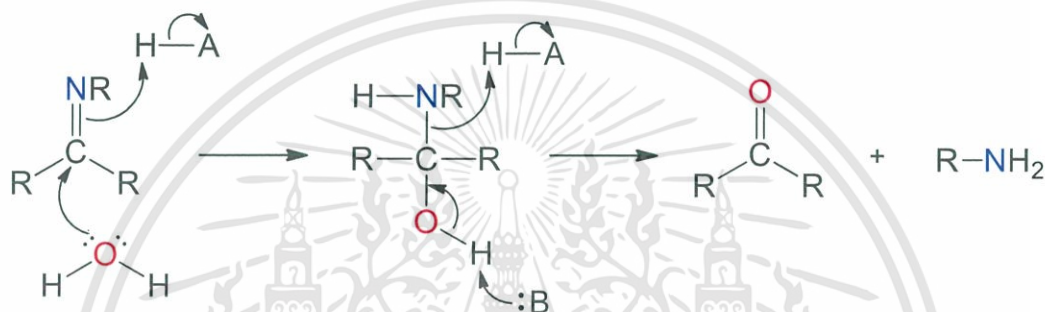
รูปที่ 2.8 กลไกปฏิกริยาชิฟเบส [13]

จากรูปที่ 2.8 คาร์บอนอะตอมของหมู่คาร์บอนิล (Carbonyl; C=O) ถูกเข้าทำปฏิกริยาด้วยไนโตรเจนอะตอมของเอมีน (Amine) ซึ่งทำหน้าที่เป็นนิวคลีโอไฟล์ (Nucleophile) โดยโปรตอนจากกรดเข้ามาทำให้หมู่คาร์บอนิลมีสภาพขาดอิเล็กตรอนเพิ่มขึ้น แล้วให้คาร์บินอลเอมีน (Carbinolamine) คือ คาร์บอนอะตอมที่มีหมู่ไฮดรอกซิลและหมู่เอมีนอยู่ด้วยกัน จากนั้นไนโตรเจนที่อยู่กับหมู่คาร์บอนิลจะผลักให้ออกซิเจนอะตอมหลุดออกและให้อิเล็กตรอนแก่คาร์บอนอะตอมเกิดเป็นพันธะ C=N เรียกว่า อิมิน (Imine) ห้ามมิให้ตัดแปลงเนื้อหาและต้องอ้างอิงถึงเจ้าของเอกสารทุกครั้งที่มีการนำไปใช้

สภาวะที่เหมาะสมสำหรับการสังเคราะห์ คือ สภาวะกรด เนื่องจากโปรตอนจากกรดทำให้หมู่คาร์บอนิลของสารประกอบแอลดีไฮด์และคีโตนมีสภาพขาดอิเล็กตรอนมากขึ้น (ประจุบวกสูงขึ้น) จึงว่องไวต่อการเข้าทำปฏิกิริยาของนิวคลีโอไฟล์

เสถียรภาพของพันธะอิมินขึ้นกับชนิดของเอมีน กล่าวคือ แอมโมเนียให้อิมินที่ไม่เสถียร แอลคิลเอมีนปฐมภูมิให้อิมินที่ค่อนข้างเสถียรและเอริลเอมีนปฐมภูมิให้อิมินที่เสถียร

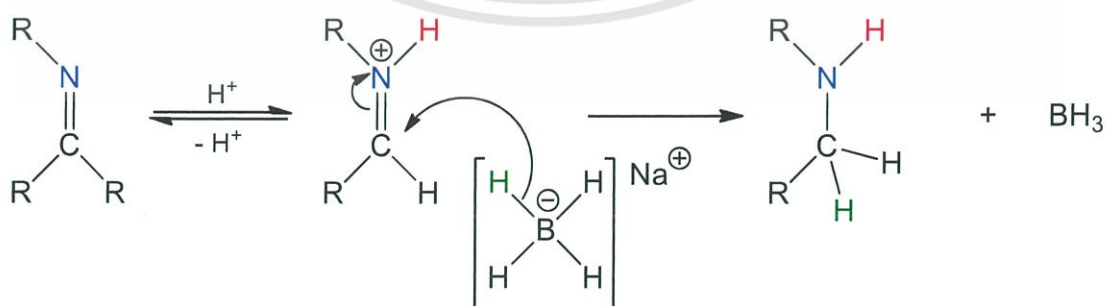
สำหรับปฏิกิริยาย้อนกลับของอิมิน คือ ปฏิกิริยาไฮโดรไลซิส (Hydrolysis reaction) เป็นปฏิกิริยาที่ทำลายพันธะอิมินด้วยกรด เกิดเป็นสารประกอบแอลดีไฮด์หรือคีโตน และสารประกอบเอมีน [14] มีกลไกการเกิดปฏิกิริยา ดังรูปที่ 2.9



รูปที่ 2.9 กลไกปฏิกิริยาไฮโดรไลซิส [13]

2.6 ปฏิกิริยารีดักทีฟอะมิเนชัน (Reductive amination reaction) [15 - 16]

ปฏิกิริยารีดักทีฟอะมิเนชัน (Reductive amination reaction) หรือปฏิกิริยารีดักทีฟอัลคิเลชัน (Reductive alkylation) เป็นการเปลี่ยนพันธะอิมินที่มีความเสถียรต่ำกลายเป็นพันธะเอมีนที่มีความเสถียรมากขึ้น โดยการทำปฏิกิริยากันระหว่างอิมินและสารรีดิวซ์ [15] มีกลไกการเกิดปฏิกิริยา ดังรูปที่ 2.10



รูปที่ 2.10 กลไกปฏิกิริยารีดักทีฟอะมิเนชัน

เอกสารนี้เป็นเอกสารที่สงวนไว้สำหรับการใช้งานเพื่อการศึกษาเท่านั้น ไม่อนุญาตให้นำไปใช้ประโยชน์ด้านการค้า ไม่ว่าจะกรณีใดๆ ทั้งสิ้น อีกทั้งห้ามมิให้ดัดแปลงเนื้อหาและต้องอ้างอิงถึงเจ้าของเอกสารทุกครั้งที่มีการนำไปใช้

จากรูปที่ 2.10 ในสภาวะกรด อิมินสามารถถูกโปรโตเนตแล้วเกิดเป็นกรดคอนจูเกต เรียกว่า อิมิเนียมไอออน (Iminium ion) ซึ่งสามารถถูกรีดิวซ์ด้วยสารรีดิวซ์หรือสารออกซิไดส์ [16] เช่น โซเดียมโบโรไฮไดรด์ (NaBH_4) โซเดียมไซยาโนโบโรไฮไดรด์ (NaBH_3CN) เป็นต้น

2.7 งานวิจัยที่เกี่ยวข้อง [17 - 21]

C.K.S. Pillai และคณะ [17] ได้ศึกษาสมบัติการละลายของไคตินและไคโตซานพบว่าไคตินไม่ละลายในสารละลายอินทรีย์ ส่วนไคโตซานสามารถละลายได้ง่ายในสารละลายกรดเจือจางที่ pH ต่ำกว่า 6.0 เนื่องจากไคโตซานเป็นเบสแก่ที่มีหมู่อะมิโนปฐมภูมิ มีค่า pKa เท่ากับ 6.3 จากการที่มีหมู่อะมิโนทำให้ค่า pH เปลี่ยนไปอย่างชัดเจนส่งผลให้เกิดการเปลี่ยนแปลงสถานะและสมบัติของไคโตซานที่ค่า pH ต่ำ ๆ หมู่เอมีนจะเกิดการโปรโตเนตกลายเป็นประจุบวก ทำให้ไคโตซานเป็นแคตไอออนิก-พอลิอิเล็กโทรไลต์ที่สามารถละลายน้ำได้ ในทางกลับกันเมื่อค่า pH เพิ่มสูงกว่า 6 เอมีนของไคโตซานจะเกิดการดีโปรโตเนตทำให้พอลิเมอร์สูญเสียประจุ ทำให้ไม่สามารถละลายน้ำได้ การละลายจะมีการเปลี่ยนแปลงเกิดขึ้นจากค่า pKa บริเวณช่วง pH ระหว่าง 6 - 6.5 เนื่องจากค่า pKa จะขึ้นอยู่กับระดับของ N-acetylation และความสามารถในการละลายของไคโตซานจะขึ้นอยู่กับองค์การตืออะเซทิลเลชันและวิธีการตืออะเซทิลเลชัน

Marcin H. Struszczyk [18] ได้ศึกษาสมบัติความหนืดของสารละลายไคโตซาน พบว่าความหนืดของสารละลายไคโตซานในน้ำ (Semi-dilute chitosan solution) (0.5 หรือ 3% โดยน้ำหนัก) ที่อยู่ในกรดอะซิติกเจือจาง (0.5, 1 หรือ 5%) ขึ้นกับความเข้มข้นของไคโตซานในสารละลาย ค่าองค์การกำจัดหมู่อะเซทิล (%DD) และอัตราแรงเฉือนที่ใช้ ซึ่งสารละลายไคโตซานจะมีค่า pH ที่ต่ำและในช่วงความเข้มข้นส่วนใหญ่สารละลายไคโตซานจะมีพฤติกรรมแบบ Non-Newtonian shear thinning fluids แต่จะมีส่วนน้อยที่มีพฤติกรรมแบบ Newtonian flow เนื่องจากมีค่า %DD สูง และมีความเข้มข้นที่ต่ำ

Mohamed M. El Sadek และคณะ [19] ได้ศึกษาการสังเคราะห์อนุพันธ์ของไคโตซาน โดยผ่านกระบวนการควบแน่น (Condensation) ซึ่งในงานวิจัยนี้ได้ทำการสังเคราะห์อนุพันธ์ของไคโตซานที่ตำแหน่งเอมีนทั้งหมด 5 ชนิด ได้แก่ Chitosan-furan amine, Chitosan-pyrrole amine, Chitosan-triazole, Chitosan-nitrophenyl amine และ Chitosan-bromophenyl amine ด้วยปฏิกิริยาซึฟเบส (Schiff-base) เกิดเป็นพันธะอิมิน (Imine) โดยสภาวะที่ใช้ในการสังเคราะห์อนุพันธ์ของไคโตซาน จะใช้อุณหภูมิในการสังเคราะห์ที่ $70\text{ }^{\circ}\text{C}$ เป็นเวลา 6 - 10 ชั่วโมง และนำอนุพันธ์ที่สังเคราะห์ได้ไปผ่านปฏิกิริยารีดักชันด้วยโซเดียมโบโรไฮไดรด์ (NaBH_4) โดยทำการบั่นกวนในอ่างน้ำแข็ง เป็นเวลา 24 ชั่วโมง หลังจากนั้นนำไปตรวจพิสูจน์เอกลักษณ์ของอนุพันธ์ที่สังเคราะห์ได้ด้วยเอกสเปกตรัม FT-IR จะพบการสั่นของพันธะ $\text{C}=\text{N}$ แบบยืดหด (Stretching) ที่ 1599 และ 1642 cm^{-1} ซึ่งเป็นระคนัไม่ว่พืดที่สามารถยืนยันการเกิดอนุพันธ์ของไคโตซานด้วยปฏิกิริยาซึฟเบสของเอกสารทุกครั้งที่มีการนำไปใช้

Luminita Marin และคณะ [20] ได้เตรียมฟิล์มอนุพันธ์ของไคโตซาน 12 ชนิดโดยใช้ปฏิกิริยาซิฟเบส สภาวะการสังเคราะห์ปั่นกวานที่อุณหภูมิ 60 °C เป็นเวลา 3 ชั่วโมง ใช้เทคนิค FT-IR ในการพิสูจน์โครงสร้างของอนุพันธ์ที่เตรียมได้พบว่าที่เลขคลื่น (Wave number) 1630 - 1640 cm^{-1} ปรากฏการสั่นของพันธะ C=N แบบยืดหด แสดงให้เห็นถึงการเกิดปฏิกิริยาซิฟเบสและการเกิดขึ้นของอนุพันธ์ นอกจากนี้ผลการวิเคราะห์สัณฐานวิทยาโดยใช้เทคนิคการเลี้ยวเบนของรังสีเอ็กซ์ (X-Ray diffraction) พบว่าอนุพันธ์ทั้ง 12 ชนิดมีพีคที่แคบและแหลมอยู่ระหว่าง 4.7 - 8.7 ° นอกจากนี้ยังมีพีคที่มีการกระจายกว้างที่สุดที่ 11 - 15 ° และพีคที่มี intensity สูงสุดที่ 20 ° แสดงว่าอนุพันธ์ที่สังเคราะห์ได้มีลักษณะเป็นกึ่งผลึก (Semi-crystalline)

Tamer M. Tamera และคณะ [21] ได้สังเคราะห์อนุพันธ์ของไคโตซานชนิดใหม่ผ่านปฏิกิริยาซิฟเบสโดยใช้ 4-Chloro benzaldehyde และ Benzophenone เพื่อปรับปรุงสมบัติการต้านเชื้อจุลินทรีย์ของไคโตซาน การสังเคราะห์อนุพันธ์ควบคุมที่อุณหภูมิห้อง ใช้เวลา 24 ชั่วโมง โครงสร้างของอนุพันธ์ที่สามารถสังเคราะห์ได้ อธิบายจากผลของเทคนิค FT-IR, Thermogravimetric analysis (TGA) และ Differential scanning calorimetric (DSC) นอกจากนี้ยังใช้เทคนิค Potentiometric titration ในการวิเคราะห์หองศาการแทนที่ (Degree of substitution) พบว่ามีค่าประมาณ 7.9% สำหรับ 4-Chloro benzaldehyde และ 4.17% สำหรับ Benzophenone ผลของการต้านเชื้อจุลินทรีย์ของไคโตซาน พบว่าอนุพันธ์ของไคโตซานมีความเข้มข้นต่ำสุดที่สามารถยับยั้งการเจริญเติบโตของเชื้อจุลินทรีย์ (Minimum inhibitory concentration; MIC) ที่ 50 ไมโครกรัม/มิลลิลิตร โดยอนุพันธ์จาก 4-Chloro benzaldehyde สามารถยับยั้งการเจริญเติบโตของ *C. Albicans* ได้ 27.42% และอนุพันธ์จาก Benzophenone สามารถยับยั้งการเจริญเติบโตของ *E. coli*, *Salmonella sp.*, *S.aureus* และ *B. cereus* ได้ดีกว่าไคโตซาน

จากงานวิจัยที่เกี่ยวข้อง งานวิจัยนี้จึงมีความสนใจในการพัฒนาสมบัติการละลายของไคโตซาน โดยการสังเคราะห์อนุพันธ์ไคโตซานจากปฏิกิริยาซิฟเบสระหว่างไคโตซานและพาราเมทอกซี-เบนซาลดีไฮด์เกิดเป็นพันธะอิมิน แล้วทำให้พันธะเสถียรโดยการเปลี่ยนพันธะอิมินให้เป็นพันธะเอมีนด้วยปฏิกิริยารีดักทีฟอะมิเนชันของโซเดียมโบโรไฮไดรด์ จากนั้นนำไปตรวจพิสูจน์เอกลักษณ์ด้วยเทคนิค FT-IR เทคนิค $^1\text{H-NMR}$ และการวิเคราะห์ธาตุองค์ประกอบ (Elemental analysis; EA) และทดสอบสมบัติทางกายภาพ ได้แก่ การทดสอบสมบัติการละลาย (Solubility) และการทดสอบความสามารถในการเปียกตัว (Wetting ability) ของอนุพันธ์ไคโตซานที่สังเคราะห์ได้เพื่อตรวจสอบสมบัติที่เปลี่ยนแปลงไปจากไคโตซาน

เอกสารนี้เป็นเอกสารที่สงวนไว้สำหรับการใช้งานเพื่อการศึกษาเท่านั้น ไม่อนุญาตให้นำไปใช้ประโยชน์ด้านการค้า ไม่ว่าจะกรณีใดๆ ทั้งสิ้น อีกทั้งห้ามมิให้ดัดแปลงเนื้อหาและต้องอ้างอิงถึงเจ้าของเอกสารทุกครั้งที่มีการนำไปใช้

บทที่ 3

วิธีการดำเนินงานวิจัย

3.1 เครื่องมือและอุปกรณ์

- 1) บริภัณฑ์เครื่องแก้ว
- 2) แท่งแม่เหล็ก (Magnetic bar)
- 3) เทอร์โมมิเตอร์ (Thermometer)
- 4) ซ้อนตักสาร
- 5) ที่คีบ (Forceps)
- 6) อ่างน้ำ (Water bath)
- 7) Stand และ Clamp
- 8) ชุดกรองแบบลดความดัน
- 9) ยูนิเวอร์ซัลอินดิเคเตอร์ (Universal indicator) จากบริษัท Merck จำกัด
- 10) กระดาษลิตมัส (Litmas paper) จากบริษัท Precision Laboratories จำกัด
- 11) Hot plate และ Magnetic stirrer รุ่น MR Hei-Tec (Heidolph)
- 12) Hot plate และ Magnetic stirrer รุ่น MSH-20D (WiseStir)
- 13) เครื่องชั่งทศนิยม 4 ตำแหน่ง รุ่น MS-TS (Metler Toledo)
- 14) ตู้อบ (Oven) รุ่น UF110 (Mettler)
- 15) เครื่อง Water bath รุ่น WNB 7-45 (Mettler)
- 16) เครื่องเขย่า (Shaking) รุ่น SV 14/22 (Mettler)
- 17) เครื่องอัลตราโซนิก (Ultrasonic) รุ่น Elmasonic S30 (H) (Elma)
- 18) เครื่องฟูเรียร์ทรานสฟอร์มอินฟราเรดสเปกโทรโฟโตมิเตอร์ (FT-IR) รุ่น IRTracer-100 (Shimadzu)
- 19) เครื่องนิวเคลียร์แมกเนติกเรโซแนนซ์สเปกโทรมิเตอร์ (NMR) รุ่น Advance III HD (Bruker) ความถี่ 500 MHz
- 20) เครื่อง Elemental analyzer รุ่น FLASH 2000 (FlashSmart)

3.2 สารเคมี

- 1) ไคโตซาน (Chitosan) เกรดวิเคราะห์ จากบริษัท ELAND CORP จำกัด
 - 2) พาราเมทอกซีเบนซาลดีไฮด์ ($C_8H_8O_2$) เกรดวิเคราะห์ จากบริษัท Sigma-Aldrich จำกัด
- เอกสารนี้เป็นเอกสารทสงวนไว้สำหรับการใช้งานเพื่อการศึกษาเท่านั้น ไม่อนุญาตให้นำไปใช้ประโยชน์ด้านการค้า
ไม่ว่ากรณีใดๆ ทั้งสิ้น อีกทั้งห้ามเผยแพร่ลงเนื้อหาและต้องอ้างอิงถึงเจ้าของเอกสารทุกครั้งที่มาใช้นำไปใช้

- 3) โซเดียมโบโรไฮไดรด์ (NaBH_4) เกรดวิเคราะห์ จากบริษัท Asia Pacific Specialty Chemicals จำกัด
- 4) กรดอะซิติก (CH_3COOH) เกรดวิเคราะห์ จากบริษัท DUKSAN PURE CHEMICAL จำกัด
- 5) โซเดียมไฮดรอกไซด์ (NaOH) จากบริษัท CARLO ERBA Reagents S.A.S จำกัด
- 6) เอทานอล ($\text{CH}_3\text{CH}_2\text{OH}$) เกรดวิเคราะห์ จากบริษัท QREC CHEMICAL จำกัด
- 7) เมทานอล (CH_3OH) เกรดวิเคราะห์ จากบริษัท QREC CHEMICAL จำกัด
- 8) ไอโซโพรพานอล ($(\text{CH}_3)_2\text{CHOH}$) เกรดวิเคราะห์ จากบริษัท QREC CHEMICAL จำกัด
- 9) ไดมethylซัลฟอกไซด์ ($(\text{CH}_3)_2\text{SO}$) จากบริษัท CARLO ERBA Reagents S.A.S จำกัด
- 10) ไดมethylฟอร์มามิด ($(\text{CH}_3)_2\text{NC(O)H}$) จากบริษัท CARLO ERBA Reagents S.A.S จำกัด
- 11) แอซิโตไนไตรล์ (CH_3CN) จากบริษัท CARLO ERBA Reagents S.A.S จำกัด
- 12) อะซิโตน (CH_3COCH_3) เกรดวิเคราะห์ จากบริษัท Thermo Fisher Scientific จำกัด
- 13) น้ำกลั่น (Distilled water)

3.3 วิธีการดำเนินการทดลอง

งานวิจัยนี้แบ่งเป็นการทดลองเป็น 3 ขั้นตอน ได้แก่

1. การเตรียมสารเคมี
2. การสังเคราะห์อนุพันธ์ของโคโคซานโดยวิธีบอสซ์รีดักชัน (Bosch reduction)
3. การพิสูจน์เอกลักษณ์และการทดสอบสมบัติของโคโคซานและอนุพันธ์

3.3.1 การเตรียมสารเคมี

3.3.1.1 การเตรียม 1% กรดอะซิติกในน้ำ

เติมกรดอะซิติกปริมาตร 1 มิลลิลิตร ลงในขวดวัดปริมาตรขนาด 100 มิลลิลิตร จากนั้นเติมน้ำกลั่นลงไปจนถึงขีดปริมาตรที่ 100 มิลลิลิตร ปิดฝาแล้วเขย่าเพื่อให้สารละลายเป็นเนื้อเดียวกัน

3.3.1.2 การเตรียม 5% โซเดียมไฮดรอกไซด์ในน้ำ

ชั่งโซเดียมไฮดรอกไซด์ 5 กรัม ลงในขวดวัดปริมาตรขนาด 100 มิลลิลิตร จากนั้นเติมน้ำกลั่นลงไปจนถึงขีดปริมาตรที่ 100 มิลลิลิตร ปิดฝาแล้วเขย่าเพื่อให้สารละลายเป็นเนื้อเดียวกัน

3.3.1.3 การเตรียม 60% เอทานอลในน้ำ

เอกสารนี้เป็นเอกสารต้นฉบับของงานวิจัยนี้
 เติมเอทานอลปริมาตร 60 มิลลิลิตร ลงในขวดวัดปริมาตรขนาด 100 มิลลิลิตร จากนั้นเติมน้ำกลั่นลงไปจนถึงขีดปริมาตรที่ 100 มิลลิลิตร ปิดฝาแล้วเขย่าเพื่อให้สารละลายเป็นเนื้อเดียวกันใช้

3.3.1.4 การเตรียม 60% เมทานอลในน้ำ

เติมเมทานอลปริมาตร 60 มิลลิลิตร ลงในขวดวัดปริมาตรขนาด 100 มิลลิลิตร จากนั้นเติมน้ำกลั่นลงไปจนถึงขีดปริมาตรที่ 100 มิลลิลิตร ปิดฝาแล้วเขย่าเพื่อให้สารละลายเป็นเนื้อเดียวกัน

3.3.1.5 การเตรียม 60% ไอโซโพรพานอลในน้ำ

เติมไอโซโพรพานอลปริมาตร 60 มิลลิลิตร ลงในขวดวัดปริมาตรขนาด 100 มิลลิลิตร จากนั้นเติมน้ำกลั่นลงไปจนถึงขีดปริมาตรที่ 100 มิลลิลิตร ปิดฝาแล้วเขย่าเพื่อให้สารละลายเป็นเนื้อเดียวกัน

3.3.1.6 การเตรียม 0.5% กรดอะซิติกในเอทานอล

เติม 1% กรดอะซิติกในน้ำปริมาตร 25 มิลลิลิตร ลงในขวดวัดปริมาตรขนาด 50 มิลลิลิตร จากนั้นเติมเอทานอลลงไปจนถึงขีดปริมาตรที่ 50 มิลลิลิตร ปิดฝาแล้วเขย่าเพื่อให้สารละลายเป็นเนื้อเดียวกัน

3.3.1.7 การเตรียม 0.5% กรดอะซิติกในเมทานอล

เติม 1% กรดอะซิติกในน้ำปริมาตร 25 มิลลิลิตร ลงในขวดวัดปริมาตรขนาด 50 มิลลิลิตร จากนั้นเติมเมทานอลลงไปจนถึงขีดปริมาตรที่ 50 มิลลิลิตร ปิดฝาแล้วเขย่าเพื่อให้สารละลายเป็นเนื้อเดียวกัน

3.3.1.8 การเตรียม 0.5% กรดอะซิติกในไอโซโพรพานอล

เติม 1% กรดอะซิติกในน้ำปริมาตร 25 มิลลิลิตร ลงในขวดวัดปริมาตรขนาด 50 มิลลิลิตร จากนั้นเติมไอโซโพรพานอลลงไปจนถึงขีดปริมาตรที่ 50 มิลลิลิตร ปิดฝาแล้วเขย่าเพื่อให้สารละลายเป็นเนื้อเดียวกัน

3.3.1.9 การละลายโคโคซาน

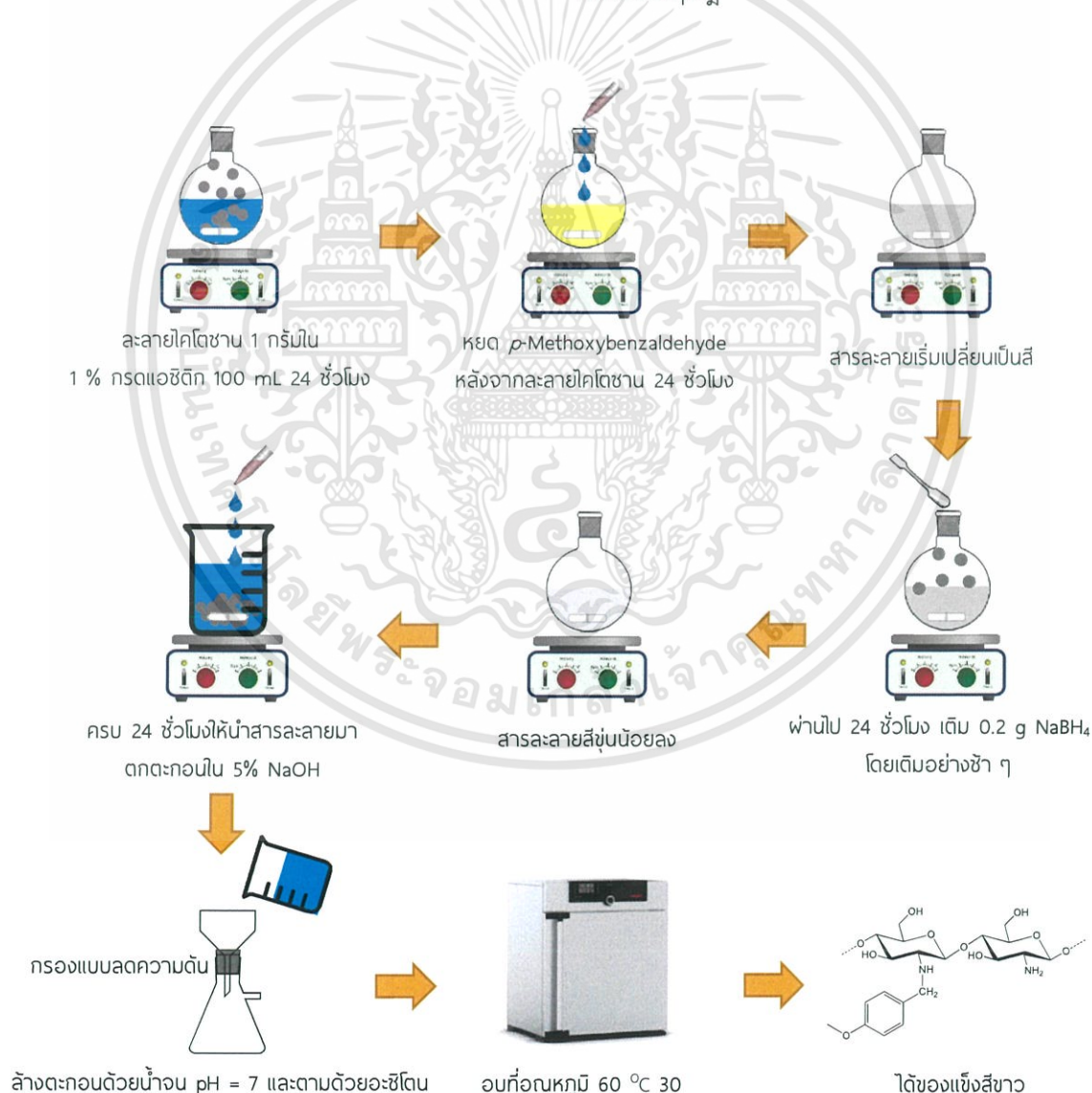
เติมโคโคซาน 1 กรัม ลงในบีกเกอร์ ตามด้วย 1% กรดอะซิติกในน้ำ 100 มิลลิลิตร จากนั้นปั่นกวนที่ 350 รอบต่อนาที เป็นเวลา 24 ชั่วโมง จะได้สารละลายโคโคซาน

3.3.2 การสังเคราะห์อนุพันธ์ของโคโคซาน (CPn) โดยวิธีบอสซ์รีดักชัน (Bosch reduction) [19]

นำสารละลายโคโคซาน (CS) ที่เตรียมได้จากขั้นตอนข้างต้น เติมพาราเมทอกซีเบนซาลดีไฮด์ (PM) ปริมาณดังแสดงในตารางที่ 3.1 แล้วปั่นกวนที่ 500 รอบต่อนาที เป็นเวลา 24 ชั่วโมง ที่ไม่ว่ากรณีใดๆ ทั้งสิ้น อีกทั้งห้ามมิให้คัดแปลงเนื้อหาและต้องอ้างอิงถึงเจ้าของเอกสารทุกครั้งที่มีการนำไปใช้

อุณหภูมิห้อง การเปลี่ยนแปลงที่สามารถสังเกตได้ระหว่างการทำปฏิกิริยา คือ สารละลายเปลี่ยนเป็นสีขาวขุ่น แสดงถึงการเกิดปฏิกิริยาซึบระหว่างโคโตซานและแอลดีไฮด์ เมื่อผ่านไป 24 ชั่วโมงเติมโซเดียมโบโรไฮไดรด์ (Sodium borohydride) 0.2 กรัม โดยเติมอย่างช้า ๆ แล้วปั่นกววนอย่างต่อเนื่องที่ 500 รอบต่อนาที เป็นเวลา 24 ชั่วโมง เมื่อปฏิกิริยาเสร็จสิ้นให้นำสารที่สังเคราะห์มาตกตะกอนใน 5% โซเดียมไฮดรอกไซด์ 350 มิลลิลิตร ปั่นกววน 500 รอบต่อนาที จากนั้นนำตะกอนมากรองแบบลดความดันและล้างตะกอนด้วยน้ำจนตะกอนเป็นกลาง (pH = 7) ตามด้วยอะซิโตนจนกระทั่งตะกอนไม่จับกันเป็นก้อน แล้วนำตะกอนไปอบที่อุณหภูมิ 60 °C เป็นเวลา 30 นาที จากนั้นนำตะกอนมาชั่งน้ำหนักและคำนวณผลผลิตร้อยละ (% Yield) ดังสมการ

$$\text{ผลผลิตร้อยละ} = \frac{\text{ผลที่ชั่งได้จริง}}{\text{ผลตามทฤษฎี}} \times 100 \quad (3.1)$$



เอกสารนี้เป็นเอกสารที่สงวนไว้สำหรับการใช้งานเพื่อการศึกษาเท่านั้น ไม่อนุญาตให้นำไปใช้ประโยชน์ด้านการค้า
รูปที่ 3.1 แผนภาพการสังเคราะห์อนุพันธ์โคโตซาน

ไม่ว่ากรณีใดๆ ทั้งสิ้น อีกทั้งห้ามมิให้ดัดแปลงเนื้อหาและต้องอ้างอิงถึงเจ้าของเอกสารทุกครั้งที่มีการนำไปใช้

ตารางที่ 3.1 อัตราส่วนโดยโมลระหว่างโคโคซานและพาราเมทอกซีเบนซาลดีไฮด์

CPn	อัตราส่วนโมล CS : PM	CS (กรัม)	PM (กรัม)
CP10	1 : 1.0	1	0.8404
CP15	1 : 1.5	1	1.2606
CP20	1 : 2.0	1	1.6808
CP25	1 : 2.5	1	2.1011
CP30	1 : 3.0	1	2.5213

3.3.3 การพิสูจน์เอกลักษณ์ของอนุพันธ์โคโคซาน

3.3.3.1 การวิเคราะห์หมู่ฟังก์ชันด้วย FT-IR

เตรียมตัวอย่างโดยบดสารตัวอย่างให้ละเอียด จากนั้นผสมตัวอย่างกับโพแทสเซียมโบรไมด์ (KBr) ลงในโถงบดสารแล้วบดสารให้ละเอียดโดยให้มีการกระจายตัวอย่างสม่ำเสมอ จากนั้นใส่ตัวอย่างที่บดแล้วลงในแม่พิมพ์และนำไปอัดด้วยเครื่องอัดไฮดรอลิก ทิ้งไว้ 3 นาที ตัวอย่างที่ได้มีลักษณะเป็นแผ่นกลมใส จากนั้นนำตัวอย่างมาทดสอบบนเครื่อง FT-IR โหมด Transmission บันทึกผลที่ได้จากการทดสอบในรูปแบบ IR Spectra แสดง % การส่องผ่านของแสง (%Transmittance) ในช่วงเลขคลื่น 400 cm^{-1} ถึง 4000 cm^{-1}

3.3.3.2 การวิเคราะห์โครงสร้างด้วย $^1\text{H-NMR}$

ชั่งตัวอย่าง 0.01 กรัม ลงในขวดแก้วเล็กจากนั้นหยด 1% ไตรฟลูออโรอะซิติกกลงไปประมาณ 0.5 - 0.6 มิลลิลิตร แล้วดูดสารละลายในขวดแก้วเล็กไปใส่ในหลอด NMR ให้สูงประมาณ 3 - 4 เซนติเมตร ปิดด้วยจุกปิดหลอด แล้วนำไปวิเคราะห์ด้วยเครื่อง NMR โหมดโปรตอน ($^1\text{H-NMR}$) บันทึกผลที่ได้จากการทดสอบในรูปแบบ $^1\text{H-NMR}$ Spectra แสดงค่า Chemical shift; δ (ppm) และคำนวณหาเปอร์เซ็นต์องค์การแทนที่ (%DS) และเปอร์เซ็นต์องค์การกำจัดหมู่อะเซทิล (%DD) ได้ดังสมการที่ 3.2 และ 3.5 ตามลำดับ

1) การคำนวณหาเปอร์เซ็นต์องค์การแทนที่ (%DS)

$$\%DS = \frac{\%DS \text{ in } C_{8,8'} + \%DS \text{ in } C_{9,9'}}{2} \quad (3.2)$$

$$\text{เมื่อ } \%DS \text{ in } C_{n,n'} = \frac{1\text{H of } C_{n,n'}}{\text{Integration of } C_2} \times 100 \quad (3.3)$$

$$\text{และ } 1\text{H of } C_{n,n'} = \frac{\text{Integration of } C_{n,n'}}{\text{A number of H in } C_{n,n'}} \quad (3.4)$$

เอกสารนี้เป็นเอกสารที่สงวนไว้สำหรับการใช้งานเพื่อการศึกษาเท่านั้น เมื่ออนุญาตให้นำไปใช้ประโยชน์ด้านการค้า
เมื่อ $C_{n,n'}$ คือตำแหน่งของคาร์บอน (ดูรูปที่ 4.3)
ไม่ว่ากรณีใดๆ ทั้งสิ้น อีกทั้งห้ามมิให้ดัดแปลงเนื้อหาและต้องอ้างอิงถึงเจ้าของเอกสารทุกครั้งที่มีการนำไปใช้

2) การคำนวณหาเปอร์เซ็นต์องค์ประกอบ (%DD)

$$\%DD = 100 - \%Chitin \quad (3.5)$$

$$\text{เมื่อ } \%Chitin = \frac{\text{Integration of } C_7 / \text{A number of H in } C_7}{\text{Integration of } C_2} \times 100 \quad (3.6)$$

3.3.3.3 การวิเคราะห์หาธาตุองค์ประกอบ

ซึ่งนำหนักตัวอย่างในช่วง 5 มิลลิกรัมและห่อด้วยแผ่นดีบุกบาง ๆ เป็นแคปซูล จากนั้นนำไปใส่ในเครื่องสุ่มตัวอย่างอัตโนมัติ (Autosampler) แคปซูลตัวอย่างจะถูกนำไปหย่อนลงในหลอดเผาไหม้ในเครื่อง EA เพื่อทำการเผาไหม้ต่อไป บันทึกผลที่ได้จากการทดสอบเป็น % ธาตุองค์ประกอบ และคำนวณหา %DS ได้ดังสมการ

$$\%DS = \frac{\frac{\%C_{CP}}{\%N_{CP}} - \frac{\%C_{CS}}{\%N_{CS}}}{n} \times 1.1667 \times 100 \quad (3.7)$$

เมื่อ $\%C_{CP}$ = % ธาตุคาร์บอนของอนุพันธ์โคโตซาน $\%C_{CS}$ = % ธาตุคาร์บอนของโคโตซาน
 $\%N_{CP}$ = % ธาตุไนโตรเจนของอนุพันธ์โคโตซาน $\%N_{CS}$ = % ธาตุไนโตรเจนของโคโตซาน
 n = จำนวนคาร์บอนที่เพิ่มขึ้นเมื่อเกิดอนุพันธ์

3.3.4 การทดสอบสมบัติของอนุพันธ์โคโตซาน

3.3.4.1 การทดสอบการละลาย (Solubility)

การทดสอบการละลายในงานวิจัยนี้มี 2 ขั้นตอน ดังนี้

1) การศึกษาชนิดตัวทำละลายที่เหมาะสม

ซึ่งนำหนักตัวอย่างลงในหลอดทดลอง หลอดละ 0.01 กรัม แล้วเติมตัวทำละลาย ได้แก่

- (1) น้ำกลั่น
- (2) 1% กรดอะซิติกในน้ำ
- (3) 60% เอทานอลในน้ำ
- (4) 60% เมทานอลในน้ำ
- (5) 60% ไอโซโพรพานอลในน้ำ
- (6) 0.5% กรดอะซิติกในเอทานอล
- (7) 0.5% กรดอะซิติกในเมทานอล

(8) 0.5% กรดอะซิติกในไอโซโพรพานอล

เอกสารนี้เป็นเอกสารที่สงวนลิขสิทธิ์ซึ่งมีลิขสิทธิ์อยู่เท่านั้น ไม่อนุญาตให้นำไปใช้ประโยชน์ด้านการค้า
 (9) ไคเมทิลซัลฟอกไซด์
 ไม่ว่าจะกรณีใดๆ ทั้งสิ้น อีกทั้งห้ามเผยแพร่ผลของเนื้อหาและต้องอ้างอิงถึงเจ้าของเอกสารทุกครั้งที่มีการนำไปใช้

(10) ไดมethylפורมาร์ไมด์

(11) อะซิโตนไตรล์

โดยใช้ตัวทำละลายชนิดละ 10 มิลลิลิตร จากนั้นนำไปเขย่าบนเครื่องเขย่าที่อุณหภูมิห้อง สังเกตการเปลี่ยนแปลงเมื่อผ่านไป 1 ชั่วโมงและ 24 ชั่วโมง

2) การเปลี่ยนความเข้มข้นของสารละลาย

จากการศึกษาชนิดตัวทำละลายที่เหมาะสม ผู้วิจัยจะเลือกตัวทำละลายที่สามารถละลาย ตัวอย่างได้ 100% มาศึกษาต่อโดยการทำการละลายตัวอย่างที่ความเข้มข้นต่าง ๆ ดังนี้

(1) 0.2% สารตัวอย่างในตัวทำละลาย

(2) 0.5% สารตัวอย่างในตัวทำละลาย

(3) 1% สารตัวอย่างในตัวทำละลาย

(4) 2% สารตัวอย่างในตัวทำละลาย

โดยใช้ตัวทำละลายชนิดละ 10 มิลลิลิตร จากนั้นนำไปสั่นด้วยคลื่นเสียงโดยใช้เครื่องอัลตราโซนิค สังเกตการเปลี่ยนแปลงเมื่อผ่านไป 1 ชั่วโมงและ 24 ชั่วโมง หากตัวทำละลายนั้นไม่สามารถละลายอนุพันธ์ได้ทั้งหมดให้นำมากรองและชั่งน้ำหนัก จากนั้นนำไปหาร้อยละของอนุพันธ์ โคลโตซานที่สามารถละลายในตัวทำละลาย (%Soluble) ดังสมการ

$$\%Soluble = \frac{(\text{น้ำหนักสารเริ่มต้น} - \text{น้ำหนักสารหลังกรอง})}{\text{น้ำหนักสารเริ่มต้น}} \times 100 \quad (3.8)$$

3.3.4.2 การทดสอบความสามารถในการเปียกตัว (Wetting ability)

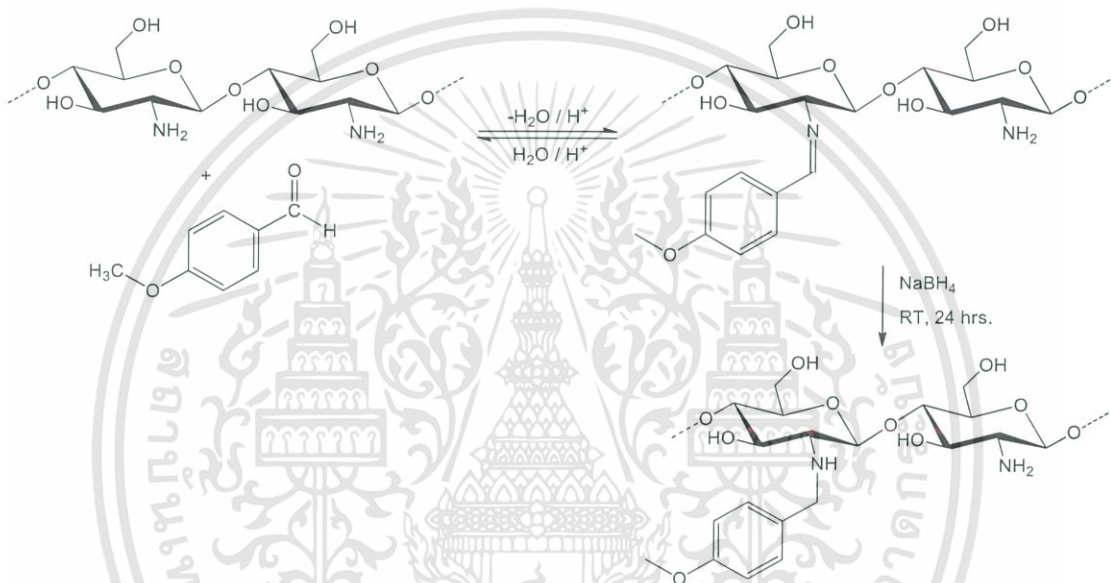
นำสารละลายตัวอย่างพ่นลงบนตัวอย่างทดสอบ 2 ชนิด คือ กระจกคาร์ตโปรและแผ่นพลาสติกใสชนิด PET ฉีดพ่น 5 ครั้ง รอให้แห้งจะเกิดชั้นฟิล์มบางขึ้นบนตัวอย่างทดสอบแล้วหยดน้ำกลั่นลงไป 1 หยดสังเกตการยึดติดของน้ำและการเปียกตัวบนชั้นฟิล์ม

เอกสารนี้เป็นเอกสารที่สงวนไว้สำหรับการใช้งานเพื่อการศึกษาเท่านั้น ไม่อนุญาตให้นำไปใช้ประโยชน์ด้านการค้า ไม่ว่าจะกรณีใดๆ ทั้งสิ้น อีกทั้งห้ามมิให้ดัดแปลงเนื้อหาและต้องอ้างอิงถึงเจ้าของเอกสารทุกครั้งที่มีการนำไปใช้

ผลการวิจัยและการอภิปรายผล

4.1 ผลการสังเคราะห์อนุพันธ์ของไคโตซานจากปฏิกิริยาซิฟเบส

การสังเคราะห์อนุพันธ์ *N*-Methoxybenzyl chitosan จากปฏิกิริยาซิฟเบส แสดงปฏิกิริยา ดังรูปที่ 4.1



รูปที่ 4.1 สมการปฏิกิริยาการสังเคราะห์อนุพันธ์ *N*-Methoxybenzyl chitosan

จากการสังเคราะห์อนุพันธ์ไคโตซานโดยวิธีบอสช์ดักซัน (Bosch reduction) พบว่า เมื่อเติม พาราเมทอกซีเบนซาลดีไฮด์ลงในสารละลายไคโตซาน สารละลายเกิดการเปลี่ยนแปลงจากไม่มีสี กลายเป็นสารละลายสีขาวขุ่น (Milky solution) และเมื่อเติมโซเดียมโบโรไฮไดรด์สารละลายมีความ ขุ่นลดลงและเกิดฟองแก๊สบริเวณผิวหน้าของสารละลาย เนื่องจากโซเดียมโบโรไฮไดรด์บางส่วนทำ ปฏิกิริยากับน้ำและกรดอะซิติกเกิดเป็นแก๊สไฮโดรเจน จากนั้นนำสารละลายไปตกตะกอนใน 5% โซเดียมไฮดรอกไซด์ พบว่าตะกอนมี pH อยู่ที่ 10 จึงล้างตะกอนด้วยน้ำจน pH เท่ากับ 7 และล้าง ตะกอนด้วยอะซิโตนเพื่อกำจัดพาราเมทอกซีเบนซาลดีไฮด์ที่ไม่เกิดปฏิกิริยาออก จะได้ปริมาณสาร ผลิตภัณฑ์ดังตารางที่ ข-2 และจากสมการที่ 3.1 สามารถคำนวณหาผลผลิตร้อยละของอนุพันธ์ไคโต- ซานที่สังเคราะห์ได้ดังตารางที่ ข-2 และผลผลิตร้อยละโดยเฉลี่ยแสดงดังตารางที่ 4.1 พบว่า เมื่อเพิ่ม เอกสาส์ตีสวนโดยโมลของพาราเมทอกซีเบนซาลดีไฮด์ส่งผลให้แนวโน้มผลผลิตร้อยละของอนุพันธ์ที่ได้มีค่า *ไม่* มากขึ้นๆ ทั้งสิ้น อีกทั้งห้ามมิให้ดัดแปลงเนื้อหาและต้องอ้างอิงถึงเจ้าของเอกสารทุกครั้งที่มีการนำไปใช้

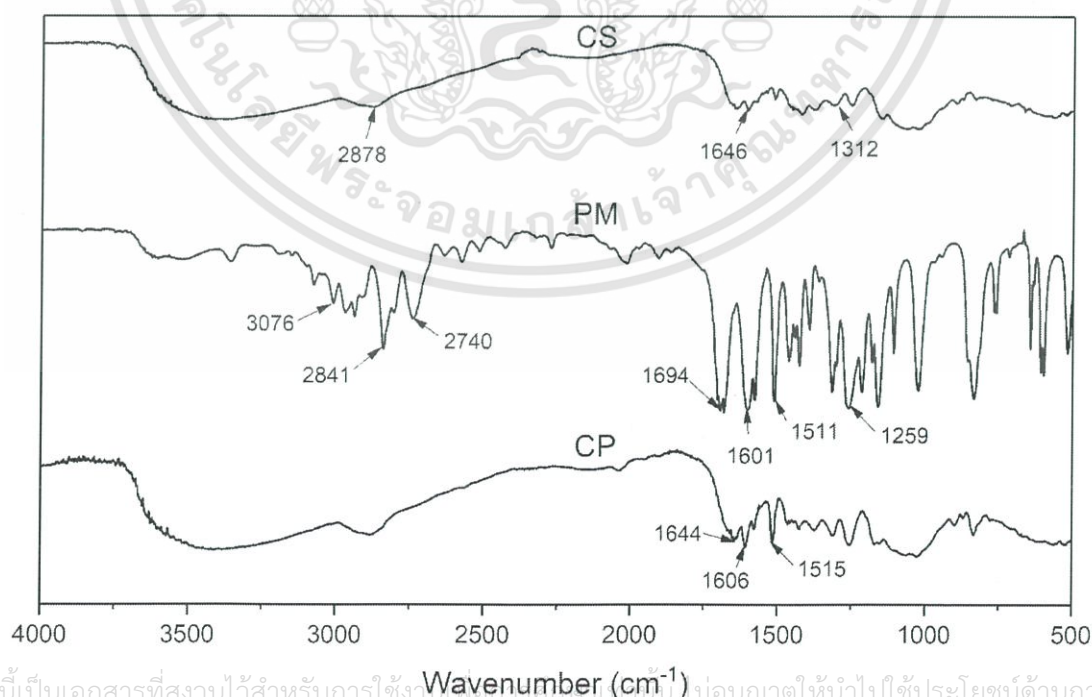
ตารางที่ 4.1 ผลผลิตร้อยละโดยเฉลี่ยของอนุพันธ์ไคโตซาน

อนุพันธ์ของไคโตซาน	ผลผลิตร้อยละ (%)
CP10	50.3
CP15	55.6
CP20	68.2
CP25	68.4
CP30	68.9

แต่อย่างไรก็ตามในขั้นตอนการสังเคราะห์ CP25 และ CP30 เมื่อเพิ่มสัดส่วนโดยโมลของพาราเมทอกซีเบนซาลดีไฮด์ความเข้มข้นได้ของสารละลายไคโตซานและพาราเมทอกซีเบนซาลดีไฮด์ลดลง สารละลายเกิดการแยกชั้นขึ้น เนื่องจากพาราเมทอกซีเบนซาลดีไฮด์มีขั้วต่ำกว่า 1% อะซิติกในน้ำซึ่งเป็นตัวทำละลายไคโตซานเมื่อปริมาณพาราเมทอกซีเบนซาลดีไฮด์เพิ่มขึ้นจึงมีความแตกต่างระหว่างขั้วมากขึ้น ส่งผลให้พาราเมทอกซีเบนซาลดีไฮด์ทำปฏิกิริยากับไคโตซานไม่ได้ และในส่วนของผลผลิตร้อยละ พบว่า CP25 และ CP30 ไม่แตกต่างจาก CP20 ดังนั้นในงานวิจัยนี้จึงเลือก CP10 และ CP20 ในการพิสูจน์เอกลักษณ์และทำการทดสอบสมบัติต่อไป

4.2 ผลการพิสูจน์เอกลักษณ์ของอนุพันธ์ไคโตซาน

4.2.1 ผลการวิเคราะห์หมู่ฟังก์ชันด้วย FT-IR



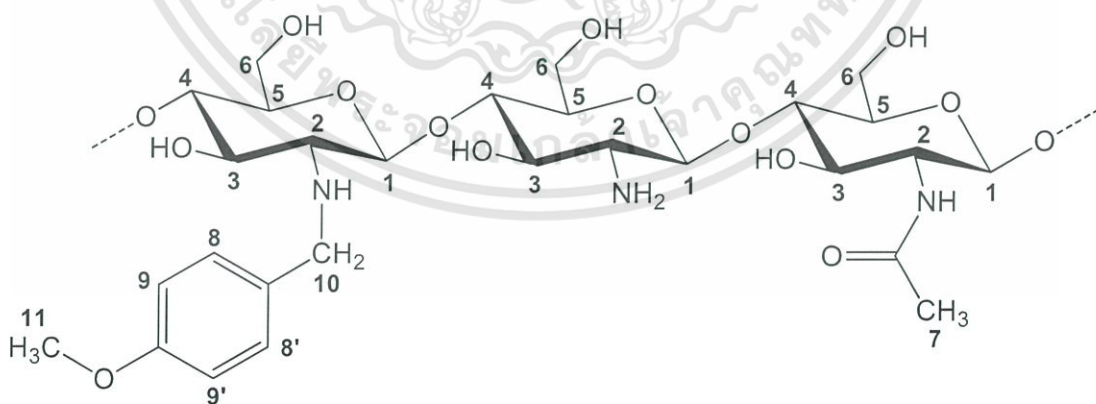
เอกสารนี้เป็นเอกสารที่สงวนไว้สำหรับการใช้งานเพื่อการศึกษาเท่านั้น ไม่อนุญาตให้นำไปใช้ประโยชน์ด้านการค้า
 ไม่ว่าการรูปที่ 4.2 เป็น FT-IR spectra ของไคโตซาน พาราเมทอกซีเบนซาลดีไฮด์และอนุพันธ์ไคโตซานนำไปใช้

จากรูปที่ 4.2 พบพีคการสั่นที่เป็นสัญญาณของโคโตซาน ได้แก่ O-H stretching ในช่วง $3300-3600\text{ cm}^{-1}$ C-H stretching ที่ 2878 cm^{-1} N-H bending ที่ 1646 cm^{-1} C-H bending 1423 cm^{-1} C-N stretching ที่ 1312 cm^{-1} และ C-O stretching ที่ $1072, 1028\text{ cm}^{-1}$

พีคการสั่นที่เป็นสัญญาณพาราเมทอกซีเบนซาลดีไฮด์ ได้แก่ aromatic C-H stretching ที่ 3076 cm^{-1} aldehydic C-H stretching ที่ $2841, 2740\text{ cm}^{-1}$ C=O stretching ที่ 1694 cm^{-1} aromatic C=C stretching ที่ $1601, 1511\text{ cm}^{-1}$ C-O stretching of phenolic ที่ 1259 cm^{-1} และ C-O stretching of primary alcohol ที่ 1225 cm^{-1}

อนุพันธ์โคโตซานที่สังเคราะห์ได้พบพีคการสั่นที่เป็นสัญญาณของโคโตซานและพาราเมทอกซีเบนซาลดีไฮด์ ได้แก่ O-H stretching ในช่วง $3300 - 3600\text{ cm}^{-1}$ C-H stretching ที่ 2878 cm^{-1} N-H bending ที่ 1646 cm^{-1} aromatic C=C stretching ที่ $1606, 1515\text{ cm}^{-1}$ C-N stretching ที่ 1312 cm^{-1} C-O stretching of ที่ $1258, 1023\text{ cm}^{-1}$ แสดงให้เห็นว่าโคโตซานและพาราเมทอกซีเบนซาลดีไฮด์สามารถเกิดปฏิกิริยาอิมินและปฏิกิริยารีดักทีฟอะมิเนชันเป็นพันธะเอมีนได้ อย่างไรก็ตามในกระบวนการทำให้บริสุทธิ์ (Purification process) อะซิโตนไม่สามารถล้างพาราเมทอกซีเบนซาลดีไฮด์ออกได้ทั้งหมด แต่ FT-IR spectra ของอนุพันธ์โคโตซานไม่พบพีคการสั่นของ aldehydic C-H stretching ที่ $2841, 2740\text{ cm}^{-1}$ และ C=O stretching ในช่วง $1690-1720\text{ cm}^{-1}$ เนื่องจากการวิเคราะห์ด้วยโหมด Transmittance โมเลกุลขนาดเล็ก ได้แก่ พาราเมทอกซีเบนซาลดีไฮด์อาจถูกล้อมรอบด้วยโมเลกุลของโคโตซานซึ่งเป็นโมเลกุลขนาดใหญ่ ทำให้ไม่พบสัญญาณการสั่นบริเวณดังกล่าว

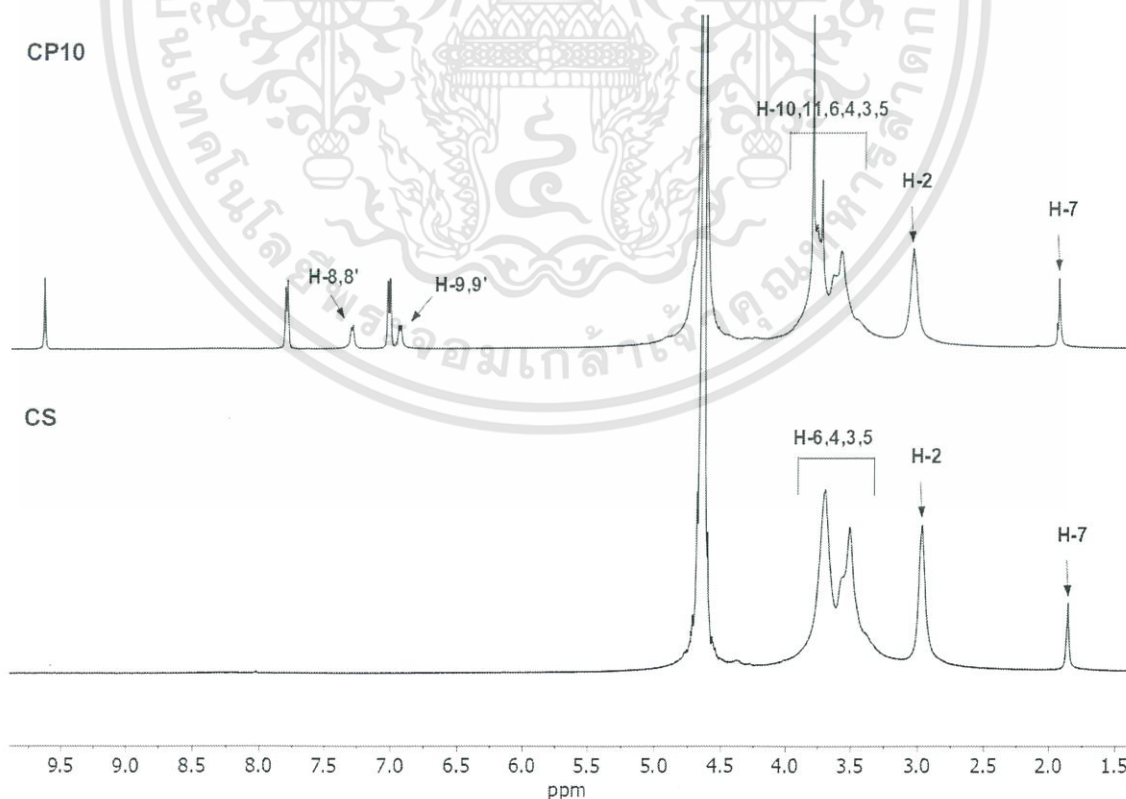
4.2.2 ผลการวิเคราะห์โครงสร้างด้วย $^1\text{H-NMR}$



รูปที่ 4.3 ตำแหน่งโปรตอนในโครงสร้างอนุพันธ์โคโตซาน

จาก $^1\text{H-NMR}$ spectra ของ CS พบสัญญาณโปรตอนที่คาร์บอนตำแหน่งที่ 2 ที่ δ เท่ากับ 3.04 ppm โปรตอนที่ตำแหน่งเมทิลีนและหมู่เมทิล (H-6,4,3,5) มีค่า δ อยู่ในช่วง $2.97 - 3.70$ ไม่วากรณ์ใดๆ ทั้งสิ้น อีกทั้งห้ามมิให้คัดแปลงเนื้อหา และต้องอ้างอิงถึงเจ้าของเอกสารทุกครั้งที่มีการนำไปใช้

ppm และสัญญาณโปรตอนของหมู่อะเซทิลของโคตินที่คาร์บอนตำแหน่งที่ 7 ที่ δ เท่ากับ 1.93 ppm [22] แล้วจากการทำปฏิกิริยาซิฟเบสระหว่างโคโคซานและพาราเมทอกซีเบนซาลดีไฮด์จะเกิดการแทนที่ไฮโดรเจนอะตอมของหมู่เอมีโนที่คาร์บอนตำแหน่งที่ 2 ของโคโคซานด้วยพาราเมทอกซีเบนซาลดีไฮด์ โดยใน $^1\text{H-NMR}$ ของ CP10 พบสัญญาณโปรตอนของอะโรมาติกที่คาร์บอนตำแหน่งที่ 8,8' ที่ δ เท่ากับ 7.30 ppm ซึ่งจะมีค่า Chemical shift ที่สูงกว่าคาร์บอนตำแหน่งที่ 9,9' ที่มีค่า δ เท่ากับ 6.94 ppm เนื่องจากคาร์บอนตำแหน่งที่ 9,9' อยู่ใกล้หมู่ให้อิเล็กตรอนทำให้โปรตอนมีความหนาแน่นของอิเล็กตรอนมากขึ้นค่า Chemical shift จึงต่ำกว่าคาร์บอนตำแหน่งที่ 8,8' อย่างไรก็ตามจาก $^1\text{H-NMR}$ ของ CP10 พบค่า Chemical shift ที่ 9.65, 7.80 และ 7.03 เป็นสัญญาณของโปรตอนที่ตำแหน่งคาร์บอนของหมู่คาร์บอกซาลดีไฮด์และตำแหน่งคาร์บอนที่ตำแหน่งอะโรมาติกอีก 2 สัญญาณ แสดงให้เห็นว่ายังคงมีพาราเมทอกซีเบนซาลดีไฮด์ตกค้างอยู่ เนื่องจากในกระบวนการทำให้สารผลิตภัณฑ์ให้บริสุทธิ์ อะซิโตนไม่สามารถละลายพาราเมทอกซีเบนซาลดีไฮด์ออกไปจากสารอนุพันธ์ได้ทั้งหมด นอกจากนี้ยังเห็นได้ว่าค่า Chemical shift ที่คาร์บอนตำแหน่งอะโรมาติกของพาราเมทอกซีเบนซาลดีไฮด์มีค่าสูงกว่าของอนุพันธ์ เนื่องจากโครงสร้างที่เปลี่ยนแปลงไปเมื่อเกิดปฏิกิริยา โดยตำแหน่งอะโรมาติกของพาราเมทอกซีเบนซาลดีไฮด์จะต่ออยู่กับหมู่คาร์บอกซาลดีไฮด์ (-CHO) เป็นหมู่ดึงอิเล็กตรอนจะเกิดการบดบัง (Shielding) น้อยกว่าตำแหน่งตำแหน่งอะโรมาติกของอนุพันธ์ซึ่งต่ออยู่กับหมู่เอมีโน $^1\text{H-NMR}$ spectra แสดงดังรูปที่ 4.4



เอกสารนี้เป็นเอกสารที่สงวนไว้สำหรับการใช้งานเพื่อการศึกษาเท่านั้น ไม่อนุญาตให้นำไปใช้ประโยชน์ด้านการค้า
ไม่ว่ากรณีใดๆ ทั้งสิ้น อีกทั้งที่รูปที่ 4.4 $^1\text{H-NMR}$ spectra ของ CS และ CP10 สารทุกครั้งที่มีการนำไปใช้

จาก $^1\text{H-NMR}$ spectra ของ CP10 และ CP20 สามารถคำนวณหาร้อยละของสายการแทนที่ (%DS) และร้อยละของสายการกำจัดหมู่เอเซทิล (%DD) ได้ดังนี้

การคำนวณหาร้อยละของสายการแทนที่ (%DS)

1) %DS ของ CP10

$$\text{จาก (3.2) - (3.4) จะได้ } 1\text{H of } C_{8,8'} = \frac{1.02}{2} = 0.51$$

$$\%DS \text{ in } C_{8,8'} = \frac{0.51 \times 100}{8.32} = 6.1 \%$$

$$\text{และ } 1\text{H of } C_{9,9'} = \frac{0.96}{2} = 0.48$$

$$\%DS \text{ in } C_{9,9'} = \frac{0.48 \times 100}{8.32} = 5.8 \%$$

$$\text{ดังนั้น } \%DS_{CP10} = \frac{6.1 + 5.8}{2} = 6.0 \%$$

2) %DS ของ CP20

$$\text{จาก (3.2) - (3.4) จะได้ } 1\text{H of } C_{8,8'} = \frac{0.52}{2} = 0.26$$

$$\%DS \text{ in } C_{8,8'} = \frac{0.26 \times 100}{3.25} = 8.0 \%$$

$$\text{และ } 1\text{H of } C_{9,9'} = \frac{0.48}{2} = 0.24$$

$$\%DS \text{ in } C_{9,9'} = \frac{0.24 \times 100}{3.25} = 7.5 \%$$

$$\text{ดังนั้น } \%DS_{CP20} = \frac{8.0 + 7.5}{2} = 7.8 \%$$

การคำนวณหาเปอร์เซ็นต์ของสายการกำจัดหมู่เอเซทิล (%DD)

1) %DD ของ CS

$$\text{จาก (3.5) - (3.6) จะได้ } \%Chitin = \frac{0.05 / 3}{0.27} \times 100 = 6.2 \%$$

$$\text{ดังนั้น } \%DD_{CS} = 100 - 6.2 = 93.8 \%$$

เอกสารนี้เป็นเอกสารที่สงวนไว้สำหรับการใช้งานเพื่อการศึกษาเท่านั้น ไม่นิยมนำไปใช้ประโยชน์ด้านการค้า
ไม่ว่ากรณีใดๆ ทั้งสิ้น อีกทั้งห้ามมิให้ตัดแปลงเนื้อหาและต้องอ้างอิงถึงเจ้าของเอกสารทุกครั้งที่มีการนำไปใช้

2) %DD ของ CP10

$$\text{จาก (3.5) - (3.6) จะได้ } \% \text{Chitin} = \frac{1.78 / 3}{8.32} \times 100 = 7.1 \%$$

$$\text{ดังนั้น } \% \text{DD}_{\text{CP10}} = 100 - 7.1 = 92.9 \%$$

3) %DD ของ CP20

$$\text{จาก (3.5) - (3.6) จะได้ } \% \text{Chitin} = \frac{0.62 / 3}{3.26} \times 100 = 6.4 \%$$

$$\text{ดังนั้น } \% \text{DD}_{\text{CP20}} = 100 - 6.4 = 93.6 \%$$

ตารางที่ 4.2 ค่าองค์การกำจัดหมู่อะเซทิลและค่าองค์การแทนที่ของโคโตซานและอนุพันธ์

Sample	%DD	%DS
CS	93.8	-
CP10	92.9	6.0
CP20	93.6	7.8

จากตารางที่ 4.2 พบว่าเมื่อเพิ่มสัดส่วนโมลของพาราเมทอกซีเบนซาลดีไฮด์จะเกิดการแทนที่ไฮโดรเจนอะตอมของหมู่อะมิโนที่คาร์บอนตำแหน่งที่สองของโคโตซานด้วยพาราเมทอกซีเบนซาลดีไฮด์ได้มากขึ้นส่งผลให้องค์การแทนที่เพิ่มขึ้น และจากการสังเคราะห์อนุพันธ์โคโตซานด้วยปฏิกิริยาซิฟเบสไม่ส่งผลต่อองค์การกำจัดหมู่อะเซทิล ทราบได้จาก %DD ของ CS ที่ค่าเท่ากับ 93.8 แต่เมื่อเป็นอนุพันธ์ของโคโตซาน %DD มีค่าไม่แตกต่างจาก CS อย่างมีนัยสำคัญ

4.2.3 ผลการวิเคราะห์ธาตุองค์ประกอบ

จากการวิเคราะห์ธาตุองค์ประกอบโดยใช้เครื่อง EA สามารถแสดง % ธาตุองค์ประกอบของโคโตซานและอนุพันธ์ของโคโตซานจากปฏิกิริยาซิฟเบส ดังตารางที่ 4.3

ตารางที่ 4.3 % ธาตุองค์ประกอบของโคโตซานและอนุพันธ์

% Element	CS	CP10	CP20
C	38.94	42.68	48.74
H	6.46	7.07	6.37
N	7.21	6.24	5.43

เอกสารนี้เป็นเอกสารที่สงวนไว้สำหรับการใช้งานเพื่อการศึกษาเท่านั้น ไม่อนุญาตให้นำไปใช้ประโยชน์ด้านการค้า ไม่ว่าจะกรณีใดๆ ทั้งสิ้น อีกทั้งห้ามมิให้ดัดแปลงเนื้อหาและต้องอ้างอิงถึงเจ้าของเอกสารทุกครั้งที่มีการนำไปใช้

จากตารางที่ 4.3 พบว่า % ธาตุไนโตรเจนมีแนวโน้มลดลงและ % ธาตุคาร์บอนมีแนวโน้มเพิ่มขึ้น แสดงว่าเมื่อเพิ่มปริมาณพาราเมทอกซีเบนซาลดีไฮด์ในปฏิกิริยา ไคโตซานและพาราเมทอกซีเบนซาลดีไฮด์สามารถเข้าทำปฏิกิริยากันได้มากขึ้นและคำนวณหาองค์การแทนที่ (DS) ได้จากสมการที่ 3.2 ดังนี้

1) การคำนวณหา %DS ของ CP10

$$\text{จาก (3.2) จะได้ } \%DS = \frac{\frac{42.68}{6.24} - \frac{38.94}{7.21}}{8} \times 1.1667 \times 100 = 21.0 \%$$

2) การคำนวณหา %DS ของ CP20

$$\text{จาก (3.2) จะได้ } \%DS = \frac{\frac{48.74}{5.43} - \frac{38.94}{7.21}}{8} \times 1.1667 \times 100 = 52.1 \%$$

ดังนั้น %DS ของ CP10 และ CP20 เท่ากับ 21.0 และ 52.1 ตามลำดับ จากการคำนวณ %DS จากเทคนิค $^1\text{H-NMR}$ และเทคนิค EA พบว่าอนุพันธ์ไคโตซานมีค่า %DS สูงขึ้นเมื่อเพิ่มสัดส่วนของพาราเมทอกซีเบนซาลดีไฮด์ แต่ %DS จากเทคนิค EA มีค่าสูงกว่า %DS จากเทคนิค $^1\text{H-NMR}$ เนื่องจากในกระบวนการทำให้บริสุทธิ์ไม่สามารถกำจัดพาราเมทอกซีเบนซาลดีไฮด์ที่ตกค้างอยู่ในสารอนุพันธ์ไคโตซานออกได้ทั้งหมด

4.3 ผลการทดสอบสมบัติของอนุพันธ์ไคโตซาน

4.3.1 ผลการทดสอบการละลาย (Solubility)

จากการทดสอบการละลาย เพื่อหาชนิดตัวทำละลายที่เหมาะสมจากตัวทำละลาย 11 ชนิด ได้แก่ น้ำกลั่น, 1% กรดอะซิติกในน้ำ, 60% เอทานอลในน้ำ, 60% เมทานอลในน้ำ, 60% ไอโซโพรพานอลในน้ำ, 0.5% กรดอะซิติกในเอทานอล, 0.5% กรดอะซิติกในเมทานอล, 0.5% กรดอะซิติกในไอโซโพรพานอล, โดเมทิลซัลฟอกไซด์, โดเมทิลฟอร์มไมด์และอะซิโตนไตรล พบว่าไคโตซานสามารถละลายได้ดีใน 1% กรดอะซิติกในน้ำ แต่เมื่อเป็นอนุพันธ์ไคโตซานการละลายใน 1% กรดอะซิติกในน้ำนั้นลดลงและไม่สามารถละลายได้ตั้งแต่ CP20 เป็นต้นไป โดยอนุพันธ์ไคโตซานสามารถละลายได้ดีใน 0.5% กรดอะซิติกในเอทานอลและ 0.5% กรดอะซิติกในไอโซโพรพานอล เนื่องจากการที่ไคโตซานเกิดปฏิกิริยาซัพเบสกับพาราเมทอกซีเบนซาลดีไฮด์ ทำให้โครงสร้างของไคโตซานเปลี่ยนแปลงไป คือ ไฮโดรเจนที่หมู่เอมีนของคาร์บอนตำแหน่งที่ 2 ถูกแทนที่ด้วยหมู่คาร์บอนิลเกิดเอกสาร์เป็นพันธะเอมีนและเกิดปฏิกิริยารีดักทีฟเอมีนเป็นพันธะเอมีนทำให้พันธะไฮโดรเจนลดลงหรือไม่ว่นนอกจากนี้ยังเป็นผลจากวงเบนซีนในโครงสร้างของอนุพันธ์ของไคโตซานที่ส่งผลให้ควมมีขั้วของขั้ว

อนุพันธ์โคโตซานนั้นลดต่ำลงและความเกาะเกาะของวงเบนซีนในโครงสร้างที่ผลึกให้สายโซ่พอลิเมอร์แยกออกจากกันมากขึ้น ตัวทำละลายจึงสามารถเข้ามาล้อมรอบสายโซ่พอลิเมอร์ทำให้ละลายได้ แต่อย่างไรก็ตามการละลายยังคงต้องมีส่วนของกรดอินทรีย์อยู่ด้วย เนื่องจากหมู่อะมิโนไม่ได้ถูกแทนที่ด้วยหมู่คาร์บอนิลทุกหน่วยมอนอเมอร์ ดังนั้นยังคงต้องใช้กรดอินทรีย์เพื่อให้หมู่อะมิโนเกิดเป็นไอออนบวกแล้วสร้างพันธะกับไอออนลบในระบบตัวทำละลายเพื่อให้เกิดการละลาย ผลการละลายของโคโตซานและอนุพันธ์แสดงดังตารางที่ 4.4

จากตารางที่ 4.4 พบว่าอนุพันธ์โคโตซานสามารถละลายได้ใน 0.5% กรดอะซิติกในเอทานอลและ 0.5% กรดอะซิติกในไอโซโพรพานอล จึงเลือกนำตัวทำละลาย 2 ชนิดนี้มาทำการละลายอนุพันธ์โคโตซานที่ความเข้มข้นแตกต่างกัน ได้แก่ 0.2, 0.5, 1, 2% สารตัวอย่างในตัวทำละลาย ได้ผลการละลายดังตารางที่ 4.5 โดยพบว่าการละลายของอนุพันธ์โคโตซานในตัวทำละลายทั้งสองชนิดมีความแตกต่างกันเพียงเล็กน้อย แต่อย่างไรก็ตามสารละลายที่มีปริมาตรเป็น 1% และ 2% นั้นละลายได้ไม่สมบูรณ์จึงนำมาคำนวณร้อยละของอนุพันธ์โคโตซานที่สามารถละลายในตัวทำละลายทั้งสองชนิด แสดงดังตารางที่ 4.6 พบว่าอนุพันธ์ของโคโตซาน CP20 สามารถละลายในตัวทำละลายได้มากกว่า CP10 จึงเลือกนำ 2% CP20 ใน 0.5% กรดอะซิติกในไอโซโพรพานอลมาศึกษาความสามารถในการเปียกตัวต่อไป เนื่องจากสามารถละลายได้มากกว่า 90% และเมื่อนำมาพ่นฟิล์มโดยวิธีระเหยตัวทำละลายสามารถเกิดเป็นชั้นฟิล์มอยู่บนพื้นผิวตัวอย่างได้

เอกสารนี้เป็นเอกสารที่สงวนไว้สำหรับการใช้งานเพื่อการศึกษาเท่านั้น ไม่อนุญาตให้นำไปใช้ประโยชน์ด้านการค้า ไม่ว่าจะกรณีใดๆ ทั้งสิ้น อีกทั้งห้ามมิให้ดัดแปลงเนื้อหาและต้องอ้างอิงถึงเจ้าของเอกสารทุกครั้งที่มีการนำไปใช้

ตารางที่ 4.4 ผลการละลายของโคโตซานและอนุพันธ์ในตัวทำละลายต่าง ๆ

ตัวทำละลาย	CS		CP10		CP15		CP20		CP25		CP30	
	1 hr.	24 hrs.	1 hr.	24 hrs.	1 hr.	24 hrs.	1 hr.	24 hrs.	1 hr.	24 hrs.	1 hr.	24 hrs.
น้ำกลั่น	-	-	-	-	-	-	-	-	-	-	-	-
1% กรดอะซิติกในน้ำ	+++	+++	0	+++	0	++	-	0	-	0	-	0
60% เอทานอลในน้ำ	-	-	-	-	-	-	-	-	-	-	-	-
60% เมทานอลในน้ำ	-	-	-	-	-	-	-	-	-	-	-	-
60% ไอโซโพรพานอลในน้ำ	-	-	-	-	-	-	-	-	-	-	-	-
0.5% กรดอะซิติกในเอทานอล	-	0	-	+	-	++	0	++	-	+	-	+
0.5% กรดอะซิติกในเมทานอล	-	0	-	+	-	++	-	++	-	+	-	0
0.5% กรดอะซิติกในไอโซโพรพานอล	-	0	-	+	-	++	0	+++	-	++	-	++
ไตรเมทิลซิลฟอสเฟต	-	-	-	-	-	-	-	-	-	-	-	-
ไตรเมทิลฟอร์มามิเด	-	-	-	-	-	-	-	-	-	-	-	-
อะซิโตนไตรีล	-	-	-	-	-	-	-	-	-	-	-	-

หมายเหตุ - คือ ไม่ละลาย, 0 คือ บวมตัว, + คือ ละลายบางส่วน, ++ คือ ละลายส่วนใหญ่, +++ คือ ละลายได้หมด

ตารางที่ 4.5 ผลการละลายของโคโตซานและอนุพันธ์ที่ความเข้มข้นต่าง ๆ

ความเข้มข้น (%)	ตัวทำละลาย	CS		CP10		CP20	
		1 hr.	24 hrs.	1 hr.	24 hrs.	1 hr.	24 hrs.
2	0.5% กรดอะซิติกในเอทานอล	-	-	-	+	0	++
	0.5% กรดอะซิติกในไอโซโพรพานอล	-	-	0	+	0	++
1	0.5% กรดอะซิติกในเอทานอล	-	-	0	++	0	++
	0.5% กรดอะซิติกในไอโซโพรพานอล	-	-	0	++	0	+++
0.5	0.5% กรดอะซิติกในเอทานอล	-	-	0	++	0	++
	0.5% กรดอะซิติกในไอโซโพรพานอล	-	-	0	++	0	+++
0.2	0.5% กรดอะซิติกในเอทานอล	-	0	0	++	0	++
	0.5% กรดอะซิติกในไอโซโพรพานอล	-	0	0	++	0	+++

หมายเหตุ - คือ ไม่ละลาย, 0 คือ บวมตัว, + คือ ละลายบางส่วน, ++ คือ ละลายส่วนใหญ่, +++ คือ ละลายได้หมด

ตารางที่ 4.6 ร้อยละของอนุพันธ์โคโตซานที่สามารถละลายในตัวทำละลาย

ความเข้มข้น (%) ตัวทำละลาย	CP10		CP20	
	1	2	1	2
0.5% กรดอะซิติกในเอทานอล	79.3 %	45.8 %	80.0 %	90.8 %
0.5% กรดอะซิติกในไอโซโพรพานอล	64.5 %	48.0 %	98.6 %	95.7 %

4.3.2 ผลการทดสอบความสามารถในการเปียกตัว (Wetting ability)

เมื่อนำสารอนุพันธ์โคโตซานที่ได้จากการทดสอบการละลายมาทดสอบความสามารถในการเปียกตัวโดยทำการฉีดยาลงบนพื้นผิวทดสอบ 2 ชนิด ได้แก่ กระดาษการ์ดโปร และแผ่นพลาสติกใสชนิด PET หลังจากนั้นหยดน้ำลงบนพื้นผิวทดสอบเพื่อดูความสามารถในการเปียกตัว โดยเปรียบเทียบระหว่างพื้นผิวที่เคลือบด้วยโคโตซาน อนุพันธ์โคโตซาน และพื้นผิวตัวอย่างทดสอบที่ไม่ได้ทำการเคลือบผิว

4.3.2.1 ความสามารถในการเปียกตัวของกระดาษการ์ดโปร



รูปที่ 4.5 การเปียกตัวของกระดาษการ์ดโปร

ก. กระดาษการ์ดโปร ข. กระดาษการ์ดโปรที่เคลือบโคโตซาน

ค. กระดาษการ์ดโปรที่เคลือบสาร 2% CP20 ใน 0.5% กรดอะซิติกในไอโซโพรพานอล

เอกสารนี้เป็นเอกสารที่สงวนไว้สำหรับการใช้งานเพื่อการศึกษาเท่านั้น ไม่อนุญาตให้นำไปใช้ประโยชน์ด้านการค้า ไม่ว่าจะกรณีใดๆ ทั้งสิ้น อีกทั้งห้ามมิให้ดัดแปลงเนื้อหาและต้องอ้างอิงถึงเจ้าของเอกสารทุกครั้งที่มีการนำไปใช้

จากรูปที่ 4.5 เมื่อทำการหยดน้ำลงบนกระดาษคาร์บอนที่เคลือบอนุพันธ์โคโตซานที่สังเคราะห์ได้ (รูปที่ 4.5 ค.) พบว่าน้ำมีความสามารถในการเปียกตัวบนกระดาษคาร์บอนได้ดีขึ้นเมื่อเทียบกับการเปียกตัวบนกระดาษคาร์บอนที่ไม่ได้ทำการเคลือบอนุพันธ์โคโตซาน (รูปที่ 4.5 ก.) และเคลือบด้วยโคโตซาน (รูปที่ 4.5 ข.)

4.3.2.2 ความสามารถในการเปียกตัวบนแผ่นพลาสติกใสชนิด PET



รูปที่ 4.6 การเปียกตัวบนแผ่นพลาสติกใส

- ก. แผ่นพลาสติกใส ข. แผ่นพลาสติกใสเคลือบโคโตซาน
ค. แผ่นพลาสติกใสเคลือบสาร 2% CP20 ใน 0.5% กรดอะซิติกในไอโซโพรพานอล

จากรูปที่ 4.6 เมื่อทำการหยดน้ำลงบนแผ่นพลาสติกใสที่เคลือบอนุพันธ์โคโตซานที่สังเคราะห์ได้ พบว่าน้ำมีความสามารถในการเปียกตัวบนแผ่นพลาสติกใสได้ดีขึ้นเมื่อเทียบกับการเปียกตัวบนแผ่นพลาสติกใสที่ไม่ได้ทำการเคลือบสารผลิตภัณฑ์และเคลือบด้วยโคโตซาน โดยพบว่าแผ่นพลาสติกใสที่ไม่ได้ทำการเคลือบอนุพันธ์โคโตซาน (รูปที่ 4.6 ก.) และเคลือบด้วยโคโตซาน (รูปที่ 4.6 ข.) หยดน้ำสามารถล้นไปบนแผ่นพลาสติกใสได้คล้ายน้ำกลิ้งบนใบบัว

เอกสารนี้เป็นเอกสารที่สงวนไว้สำหรับการใช้งานเพื่อการศึกษาเท่านั้น ไม่อนุญาตให้นำไปใช้ประโยชน์ด้านการค้า ไม่ว่าจะกรณีใดๆ ทั้งสิ้น อีกทั้งห้ามมิให้ดัดแปลงเนื้อหาและต้องอ้างอิงถึงเจ้าของเอกสารทุกครั้งที่มีการนำไปใช้

จากการทดสอบความสามารถในการเป็ยกตัวของกระดาษคาร์ดโปรและแผ่นพลาสติกใสของอนุพันธ์โคโตซาน เมื่อนำอนุพันธ์โคโตซานมาฉีดพ่นขึ้นรูปเป็นฟิล์มเคลือบบนกระดาษคาร์ดโปร และแผ่นพลาสติกใส พบว่าเมื่อมีอนุพันธ์โคโตซานเคลือบบนพื้นผิวตัวอย่างที่ใช้ทดสอบ ทำให้พื้นผิวตัวอย่างทดสอบมีสมบัติในการเป็ยกตัวด้วยน้ำได้ดีกว่าตัวอย่างทดสอบที่ไม่ได้ทำการเคลือบผิวด้วยอนุพันธ์โคโตซาน เป็นผลมาจากโครงสร้างอนุพันธ์โคโตซานนั้นมีขั้วสูงกว่าพื้นผิวตัวอย่างที่ใช้ทดสอบ และเมื่อทำการเปรียบเทียบความสามารถในการเป็ยกตัวของโคโตซานและอนุพันธ์โคโตซานพบว่าอนุพันธ์โคโตซานมีความสามารถในการเป็ยกตัวดีกว่าโคโตซาน เป็นผลมาจากอนุพันธ์โคโตซานมีโครงสร้างของพาราเมทอกซีเบนซาลดีไฮด์ต่ออยู่ที่ตำแหน่งหมู่อะมิโนของโคโตซานทำให้ระยะห่างระหว่างสายโซ่อนุพันธ์โคโตซานมากขึ้น พันธะไฮโดรเจนลดลง ทำให้น้ำสามารถแทรกเข้าไปในโครงสร้างได้ดีขึ้น จึงเป็นผลให้อนุพันธ์โคโตซานมีความสามารถในการเป็ยกตัวดีกว่าโคโตซาน



เอกสารนี้เป็นเอกสารที่สงวนไว้สำหรับการใช้งานเพื่อการศึกษาเท่านั้น ไม่อนุญาตให้นำไปใช้ประโยชน์ด้านการค้า
ไม่ว่ากรณีใดๆ ทั้งสิ้น อีกทั้งห้ามมิให้ดัดแปลงเนื้อหาและต้องอ้างอิงถึงเจ้าของเอกสารทุกครั้งที่มีการนำไปใช้

สรุปผลการวิจัยและข้อเสนอแนะ

5.1 สรุปผลการวิจัย

งานวิจัยนี้เป็นการสังเคราะห์อนุพันธ์ *N*-Methoxybenzyl chitosan ด้วยปฏิกิริยาซิฟเบสระหว่างไคโตซานและพาราเมทอกซีเบนซาลดีไฮด์ โดยพาราเมทอกซีเบนซาลดีไฮด์จะทำปฏิกิริยาที่ตำแหน่งหมู่อะมิโนของไคโตซานแล้วเกิดเป็นพันธะอิมิน และทำให้เสถียรโดยการทำปฏิกิริยารีดักทีฟอะมิเนชันด้วยโซเดียมโบโรไฮไดรด์ เพื่อให้ได้อนุพันธ์ไคโตซานที่มีสมบัติการละลายดีขึ้นในตัวทำละลายที่มีขั้วต่ำลง แล้วทำการพิสูจน์เอกลักษณ์ของอนุพันธ์ไคโตซานด้วยเทคนิค FT-IR เพื่อวิเคราะห์หมู่ฟังก์ชัน $^1\text{H-NMR}$ เพื่อศึกษาโครงสร้าง และการวิเคราะห์ธาตุองค์ประกอบ

การสังเคราะห์อนุพันธ์ไคโตซาน

จากการสังเคราะห์อนุพันธ์ไคโตซานด้วยปฏิกิริยาซิฟเบสระหว่างไคโตซานและพาราเมทอกซีเบนซาลดีไฮด์เกิดเป็นสารละลายสีขาวขุ่น (Milky solution) แล้วทำปฏิกิริยารีดักทีฟอะมิเนชันด้วยโซเดียมโบโรไฮไดรด์เกิดเป็นสารละลายที่มีความขุ่นลดลง นำไปตกตะกอนด้วย 5% โซเดียมไฮดรอกไซด์ แล้วทำให้สารบริสุทธิ์โดยการล้างตะกอนด้วยน้ำ เพื่อทำให้ค่าพีเอชเป็นกลาง จากนั้นล้างตะกอนด้วยอะซิโตน เพื่อกำจัดพาราเมทอกซีเบนซาลดีไฮด์ที่ตกค้าง และนำไปอบได้เป็นของแข็งสีขาว เมื่อคำนวณหาผลผลิตร้อยละได้อยู่ในช่วง 50.3 - 68.9%

การพิสูจน์เอกลักษณ์อนุพันธ์ไคโตซาน

การพิสูจน์เอกลักษณ์อนุพันธ์ไคโตซานด้วยเทคนิค FT-IR พบว่าอนุพันธ์ไคโตซานมีพีคการสั่นที่เป็นเอกลักษณ์ของทั้งไคโตซานและพาราเมทอกซีเบนซาลดีไฮด์ปรากฏขึ้น ซึ่งแสดงถึงการเกิดปฏิกิริยากันระหว่างไคโตซานและพาราเมทอกซีเบนซาลดีไฮด์

การพิสูจน์เอกลักษณ์อนุพันธ์ไคโตซานด้วยเทคนิค $^1\text{H-NMR}$ เมื่อนำมาคำนวณหาเปอร์เซ็นต์องค์การแทนที่พบว่า CP10 และ CP20 มี %DS เท่ากับ 6.0 และ 7.8 ตามลำดับ สรุปได้ว่าสามารถเกิดเป็นอนุพันธ์ของไคโตซานได้และเมื่อเพิ่มสัดส่วนโมลของพาราเมทอกซีเบนซาลดีไฮด์ส่งผลให้องค์การแทนที่มีค่าเพิ่มขึ้น

การวิเคราะห์ธาตุองค์ประกอบของอนุพันธ์ไคโตซาน พบว่า % ธาตุไนโตรเจนมีแนวโน้มลดลง ส่วน % ธาตุคาร์บอนมีแนวโน้มเพิ่มขึ้น เมื่อเพิ่มสัดส่วนโมลของพาราเมทอกซีเบนซาลดีไฮด์ แต่ %DS

เอกสารของอนุพันธ์ไคโตซานที่วิเคราะห์ด้วยเทคนิค EA มีค่ามากกว่า %DS ที่วิเคราะห์ด้วยเทคนิค $^1\text{H-NMR}$ ค่า
ไม่ว่ากรณีใดๆ ทั้งสิ้น อีกทั้งห้ามมิให้คัดแปลงเนื้อหาและต้องอ้างอิงถึงเจ้าของเอกสารทุกครั้งที่มีการนำไปใช้

เนื่องจากมีสารตั้งต้นตกค้างทำให้ค่า %DS จากเทคนิค EA มีค่ามากกว่าความเป็นจริง โดยเมื่อคำนวณหา %DS ของ CP10 และ CP20 มีค่าเท่ากับ 21.0 และ 52.1 ตามลำดับ

การทดสอบสมบัติของอนุพันธ์ไคโตซาน

การทดสอบการละลาย (Solubility)

จากการทดสอบการละลาย โดยปกติไคโตซานจะละลายได้ดีในกรดอะซิติกในน้ำ และไม่สามารถละลายได้ในตัวทำละลายที่มีขั้วต่ำแต่อนุพันธ์ไคโตซานที่สังเคราะห์ได้ละลายในกรดอะซิติกในน้ำได้ลดลง และละลายได้ในตัวทำละลายที่มีขั้วต่ำลง จากผลการทดสอบการละลายในตัวทำละลายที่ต่างกัน พบว่าอนุพันธ์ไคโตซานสามารถละลายได้ดีใน 0.5% กรดอะซิติกในเอทานอล และ 0.5% กรดอะซิติกในไอโซโพรพานอล และยังสามารถขึ้นรูปเป็นฟิล์มได้ด้วยวิธีการระเหยตัวทำละลาย

การทดสอบความสามารถในการเปียกตัว (Wetting ability)

จากการทดสอบความสามารถในการเปียกตัวของอนุพันธ์ไคโตซานบนพื้นผิวตัวอย่างทั้ง 2 ชนิด คือ กระดาษการ์ดโปรและแผ่นพลาสติกใสชนิด PET พบว่าเมื่อพื้นผิวตัวอย่างมีการเคลือบด้วยอนุพันธ์ไคโตซานทำให้ความสามารถในการเปียกตัวดีขึ้น และอนุพันธ์ไคโตซานมีความสามารถในการเปียกตัวที่ดีกว่าไคโตซาน

5.2 ข้อเสนอแนะ

- 1) ควรมีการปรับปรุงวิธีการทำให้อนุพันธ์ของไคโตซานบริสุทธิ์มากยิ่งขึ้น
- 2) ควรมีการปรับปรุงสถานะในการสังเคราะห์เพื่อเพิ่มเปอร์เซ็นต์องค์การแทนที่
- 3) จากสมบัติการเปียกตัวบนพื้นผิว สามารถนำอนุพันธ์ของไคโตซานไปพัฒนาเทคโนโลยีของสี เพื่อเพิ่มสมบัติการยึดติดของสีบนพื้นผิวได้

เอกสารนี้เป็นเอกสารที่สงวนไว้สำหรับการใช้งานเพื่อการศึกษาเท่านั้น ไม่อนุญาตให้นำไปใช้ประโยชน์ด้านการค้า ไม่ว่าจะกรณีใดๆ ทั้งสิ้น อีกทั้งห้ามมิให้ดัดแปลงเนื้อหาและต้องอ้างอิงถึงเจ้าของเอกสารทุกครั้งที่มีการนำไปใช้

เอกสารอ้างอิง

- [1] Wenming, X., Peixin, X. Wei, W. and Qing, L. 2002. "Preparation of Water-Soluble Chitosan Derivatives and Their Antibacterial Activity." *Journal of Applied Polymer science*. 85(7) : 1357-1361.
- [2] Javier, M. 1995. "Synthesis and Characterization of Water Soluble Chitosan Derivatives." Ph.D. Thesis of the Louisiana State University and Agricultural and Mechanical College in partial fulfillment of the requirements.
- [3] สุพัตรา รักษาพรต. 2547. การลดความขมในน้ำส้มโดยใช้ไคโตซาน. วิทยานิพนธ์ปริญญา มหาบัณฑิต. สาขาวิชาเคมีเทคนิค ภาควิชาเคมีเทคนิค คณะวิทยาศาสตร์ จุฬาลงกรณ์ มหาวิทยาลัย.
- [4] ไคติน-ไคโตซาน. 2556. [ออนไลน์]. เข้าถึงได้จาก : <https://guru.sanook.com/2511/>
- [5] สิริวรรณ กิตติเนาวรัตน์. 2547. อิทธิพลของสารไคโตซานต่อสมบัติสีของย้อมผ้าฝ้ายที่ย้อม ด้วยสีธรรมชาติที่สกัดจากเปลือกมังคุด. (รายงานผลการวิจัย). จุฬาลงกรณ์ มหาวิทยาลัย.
- [6] ชูดาภัก เกษมโชติช่วง. 2547. การศึกษาอิทธิพลของปัจจัยสิ่งแวดล้อมและลักษณะเฉพาะ ของไคโตซานต่อการจับตัวของไคโตซานกับสารแขวนลอยจุลินทรีย์. วิทยานิพนธ์ ปริญญา มหาบัณฑิต. สาขาวิศวกรรมเคมี ภาควิชาวิศวกรรมเคมี คณะวิศวกรรมศาสตร์ สถาบันเทคโนโลยีพระจอมเกล้าพระนครเหนือ.
- [7] สิริวรรณ พัฒนาฤดี. 2555. ผลของสารเชื่อมขวางในสารเคลือบผิวไคโตซานสำหรับ กระดาษ. (รายงานผลการวิจัย). จุฬาลงกรณ์มหาวิทยาลัย.
- [8] Rinaudo, M. 2006. "Chitin and chitosan: Properties and applications." *Progress in Polymer Science*. 31 : 603-632.
- [9] กฤตกานต์ มณีวงศ์วิโรจน์. 2552. การศึกษาสมบัติของวัสดุที่เตรียมได้จากอนุพันธ์ของยาง ธรรมชาติและไคโตซาน. วิทยานิพนธ์ปริญญา มหาบัณฑิต. สาขาวิชาวิทยาการและ วิศวกรรมพอลิเมอร์ ภาควิชาวิทยาการและวัสดุ คณะวิศวกรรมศาสตร์ มหาวิทยาลัย ศิลปากร.
- [10] Vasak, B.G. 2016. "Synthesis and characterization of new chitosan-based Schiff base compounds." *Carbohydrate Polymers*. 145 : 37-47.
- [11] Science Lab. 2013. **Material Safety Data Sheet p-Anisaldehyde MSDS.**

เอกสารนี้เป็นเอกสารลิขสิทธิ์ของสำนักงานส่งเสริมการค้าในต่างประเทศ ณ นครเชียงใหม่ อนุญาตให้นำไปใช้ประโยชน์ด้านการค้า
ไม่ว่ากรณีใดๆ ทั้งสิ้น อีกทั้งห้ามมิให้ดัดแปลงเนื้อหาและต้องอ้างอิงถึงเจ้าของเอกสารทุกครั้งที่มีการนำไปใช้

- [12] Science Lab. 2013. **Material Safety Data Sheet Sodium borohydride MSDS.** [Online]. Available : <https://goo.gl/JiZ4AJ>
- [13] ระวีวรรณ สิทธิโอสส. 2555. **เคมีอินทรีย์พื้นฐาน Basic Organic Chemistry.** พิมพ์ครั้งที่ 2. กรุงเทพฯ : สำนักพิมพ์มหาวิทยาลัยรามคำแหง.
- [14] Soderberg, T. 2014. **Imine (Schiff base) formation.** [Online]. Available : <https://goo.gl/pquzFJ>
- [15] Soderberg, T. 2017. **Reductive Amination.** [Online]. Available : <https://goo.gl/NFvFME>
- [16] Ashenhurst, J. **Reductive Amination.** [Online]. Available : <https://goo.gl/e6FRBL>
- [17] Pillai, C.K.S. 2009. "Chitin and chitosan polymers: Chemistry, solubility and fiber formation." *Progress in Polymer Science.* 34 : 641-678.
- [18] Struszczyk, M.H. 2002. "Chitin and Chitosan." *Polimery.* 47 : 316-325.
- [19] Sadek, M.M.E. 2015. "Synthesis and Biological Evaluation of New Imine- and Amino-Chitosan Derivatives." *Polymers.* 7 : 2690-2700.
- [20] Luminita, M. Daniela, A. Mihai, M. Elena, P. Mariana, C. Valentin, N. and Bogdan, C.S. 2015. "Imino-chitosan biopolymeric films. Obtaining, self-assembling, surface and antimicrobial properties." *Carbohydrate Polymers.* 117 : 762-770.
- [21] Tamera, T.M. Hassan, M.A. Omer, A.M. Baset, W.M.A. Hassan, M.E. El-Shafeey, M.E.A.E. and Eldin, M.S.M. 2016. "Synthesis, characterization and antimicrobial evaluation of two aromatic chitosan Schiff base derivatives." *Process Biochemistry.* 51 : 1721-1730.
- [22] Xue, Z. Xiaowen, Z. and Lin, Y. 2015. "Synthesis of cationic chitosan hydrogel with long chain alkyl and its controlled glucose-responsive drug delivery behavior." *RSC Advances.* 5 : 230-241.

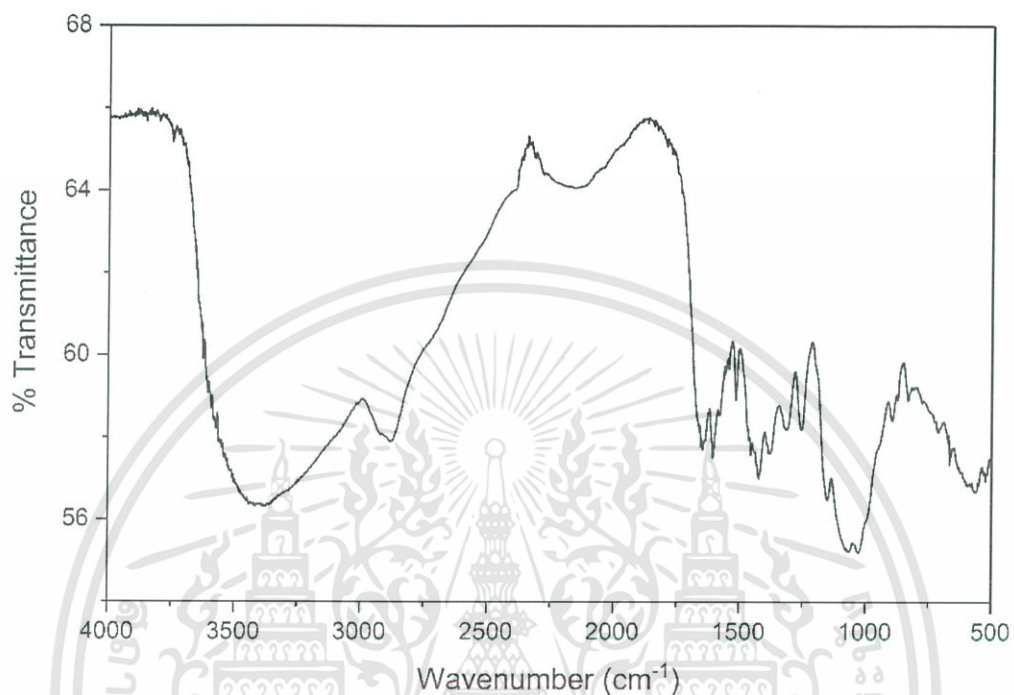
เอกสารนี้เป็นเอกสารที่สงวนไว้สำหรับการใช้งานเพื่อการศึกษาเท่านั้น ไม่อนุญาตให้นำไปใช้ประโยชน์ด้านการค้า
ไม่ว่ากรณีใดๆ ทั้งสิ้น อีกทั้งห้ามมิให้ดัดแปลงเนื้อหาและต้องอ้างอิงถึงเจ้าของเอกสารทุกครั้งที่มีการนำไปใช้



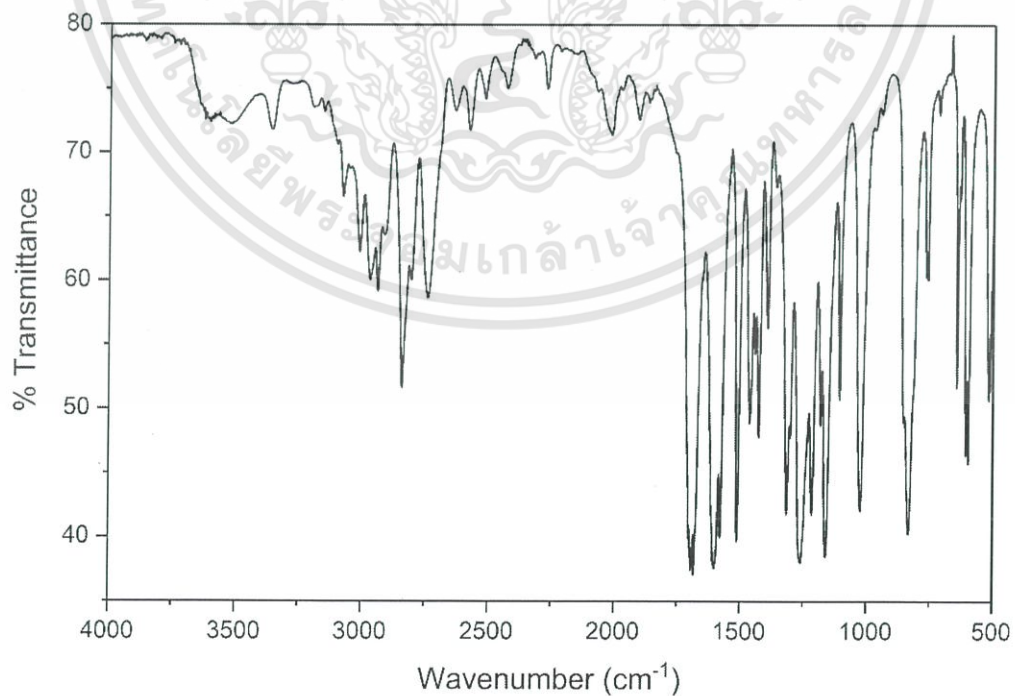
เอกสารนี้เป็นเอกสารที่สงวนไว้สำหรับการใช้งานเพื่อการศึกษาเท่านั้น ไม่อนุญาตให้นำไปใช้ประโยชน์ด้านการค้า
ไม่ว่ากรณีใดๆ ทั้งสิ้น อีกทั้งห้ามมิให้ดัดแปลงเนื้อหาและต้องอ้างอิงถึงเจ้าของเอกสารทุกครั้งที่มีการนำไปใช้

ภาคผนวก ก

ผลการพิสูจน์เอกลักษณ์ของอนุพันธ์โคโตซาน

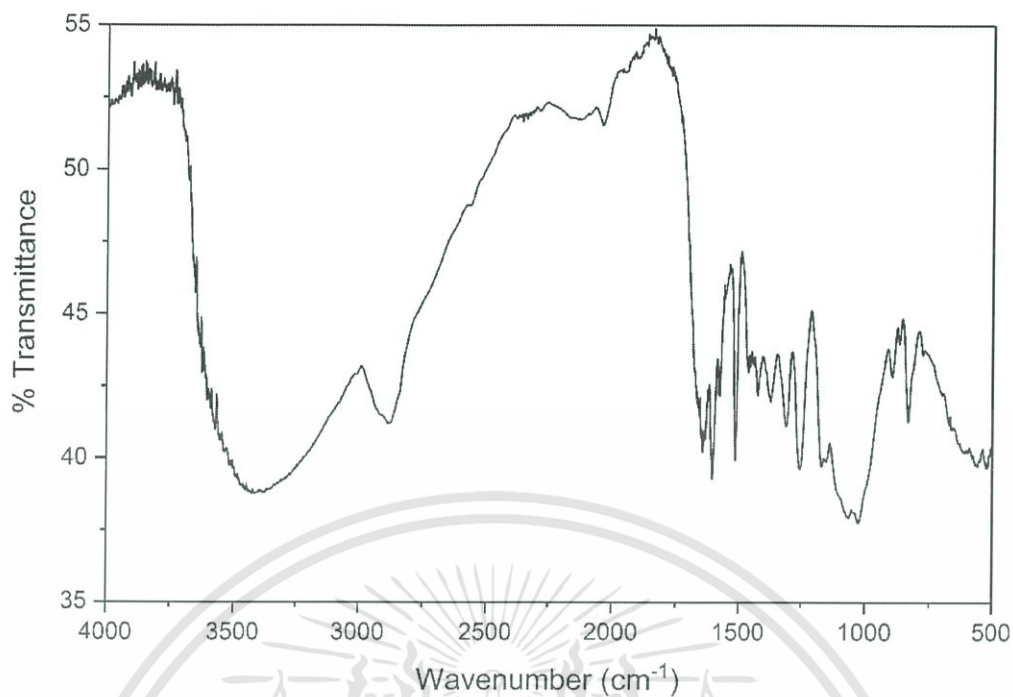


รูปที่ ก-1 FT-IR spectra ของโคโตซาน

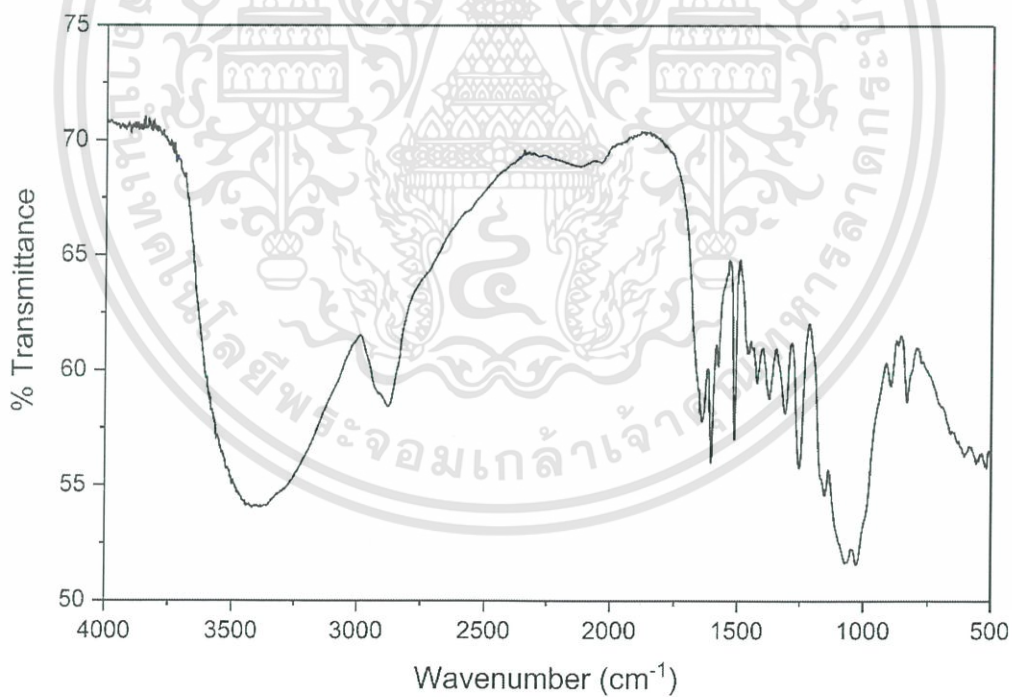


รูปที่ ก-2 FT-IR spectra ของพาราเมทอกซีเบนซาลดีไฮด์

เอกสารนี้เป็นเอกสารที่สงวนไว้สำหรับการใช้งานเพื่อการศึกษาเท่านั้น ไม่อนุญาตให้นำไปใช้ประโยชน์ด้านการค้า
ไม่ว่ากรณีใดๆ ทั้งสิ้น อีกพิกัดห้ามเผยแพร่โดยไม่ได้รับอนุญาต และต้องอยู่ใต้วงเล็บทุกครั้งที่มีการนำไปใช้

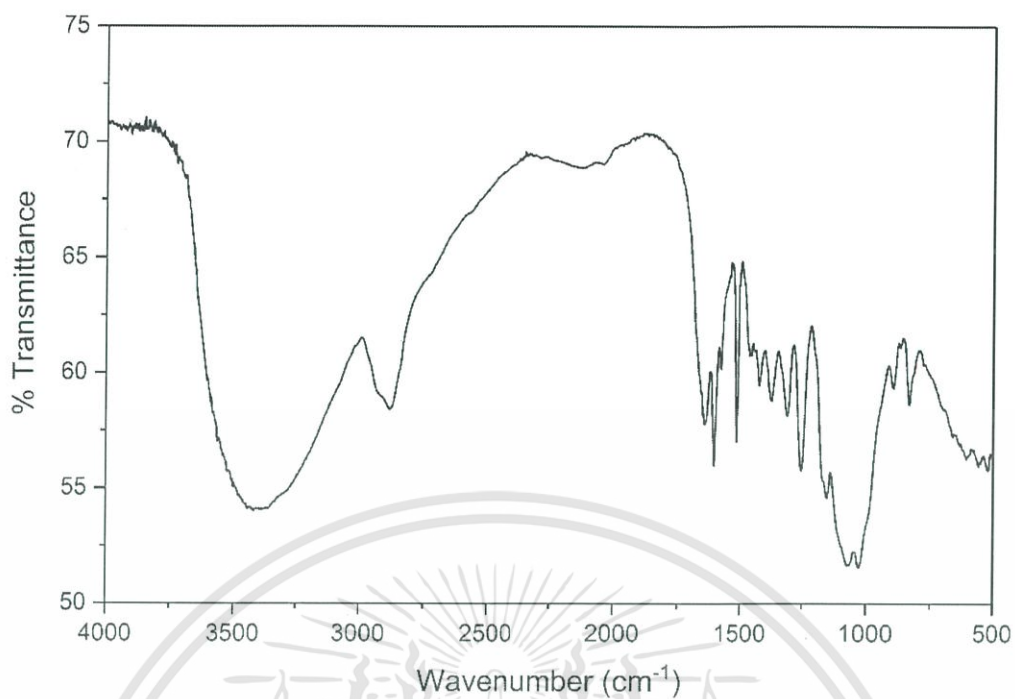


รูปที่ ก-3 FT-IR spectra ของ CP10

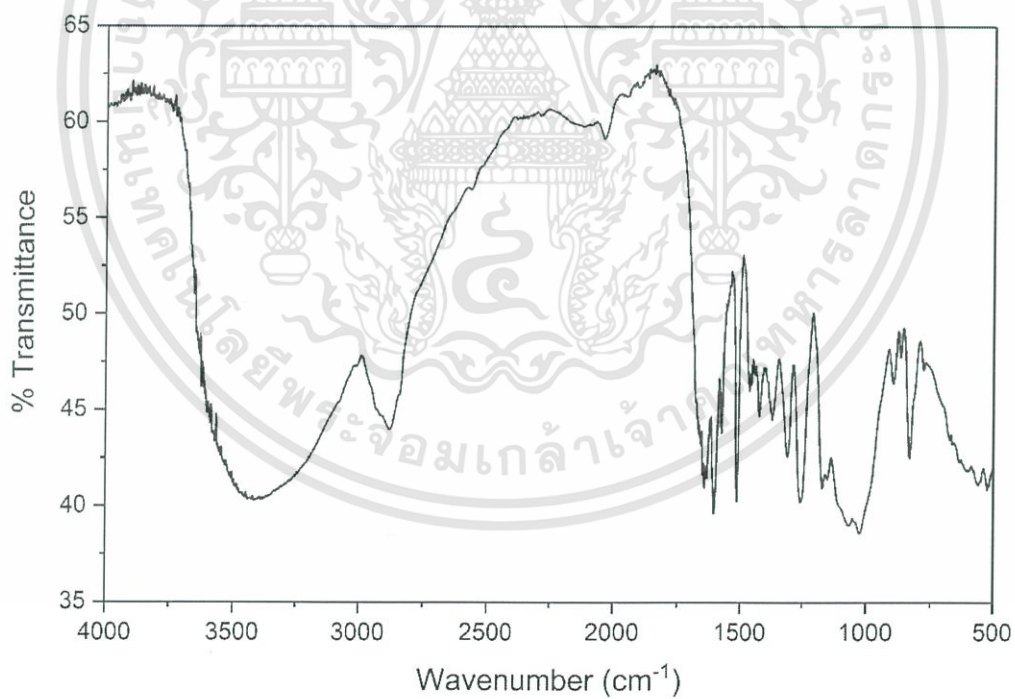


รูปที่ ก-4 FT-IR spectra ของ CP15

เอกสารนี้เป็นเอกสารที่สงวนไว้สำหรับการใช้งานเพื่อการศึกษาเท่านั้น ไม่อนุญาตให้นำไปใช้ประโยชน์ด้านการค้า
ไม่ว่ากรณีใดๆ ทั้งสิ้น อีกทั้งห้ามมิให้ดัดแปลงเนื้อหาและต้องอ้างอิงถึงเจ้าของเอกสารทุกครั้งที่มีการนำไปใช้

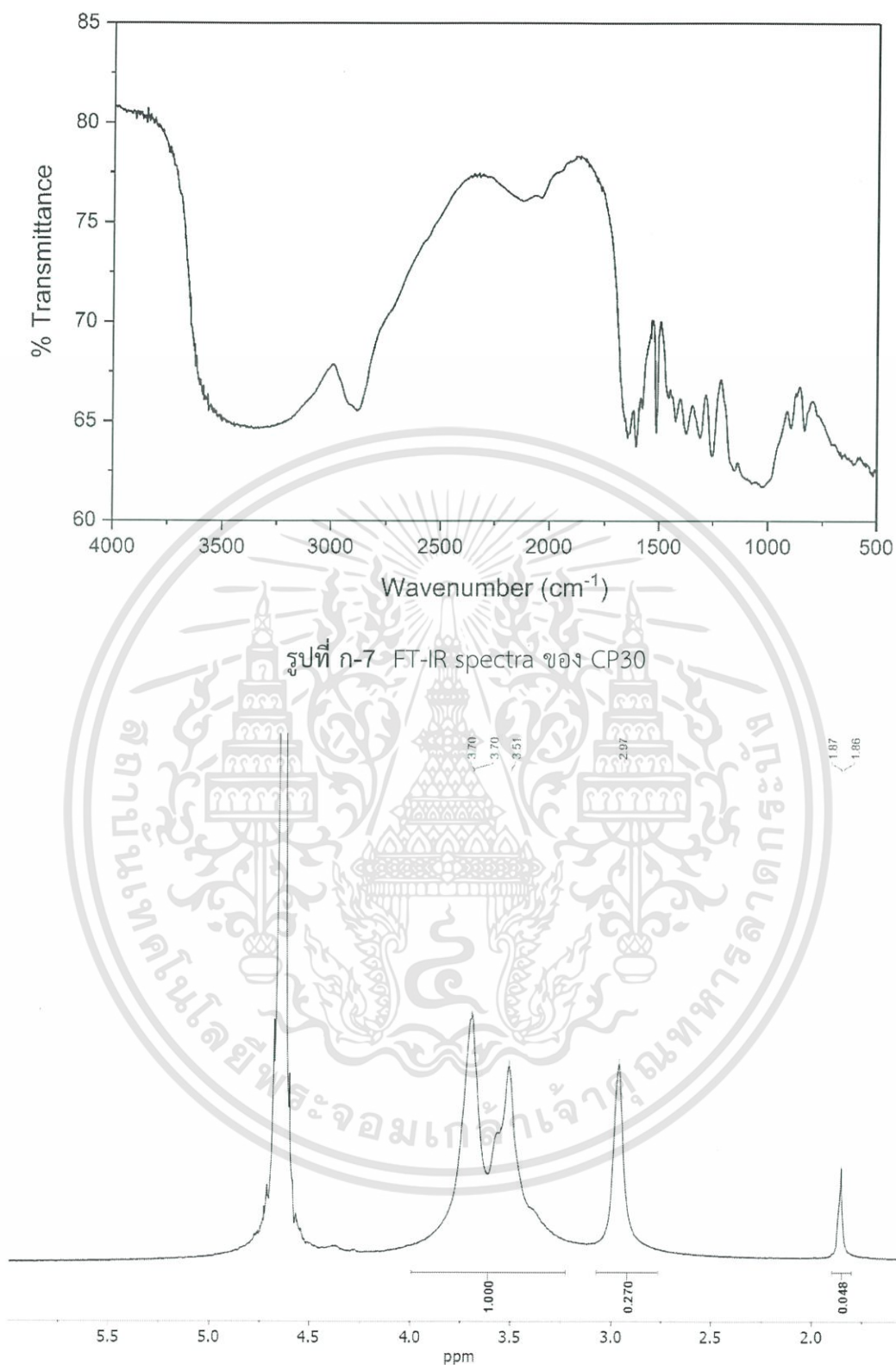


รูปที่ ก-5 FT-IR spectra ของ CP20



รูปที่ ก-6 FT-IR spectra ของ CP25

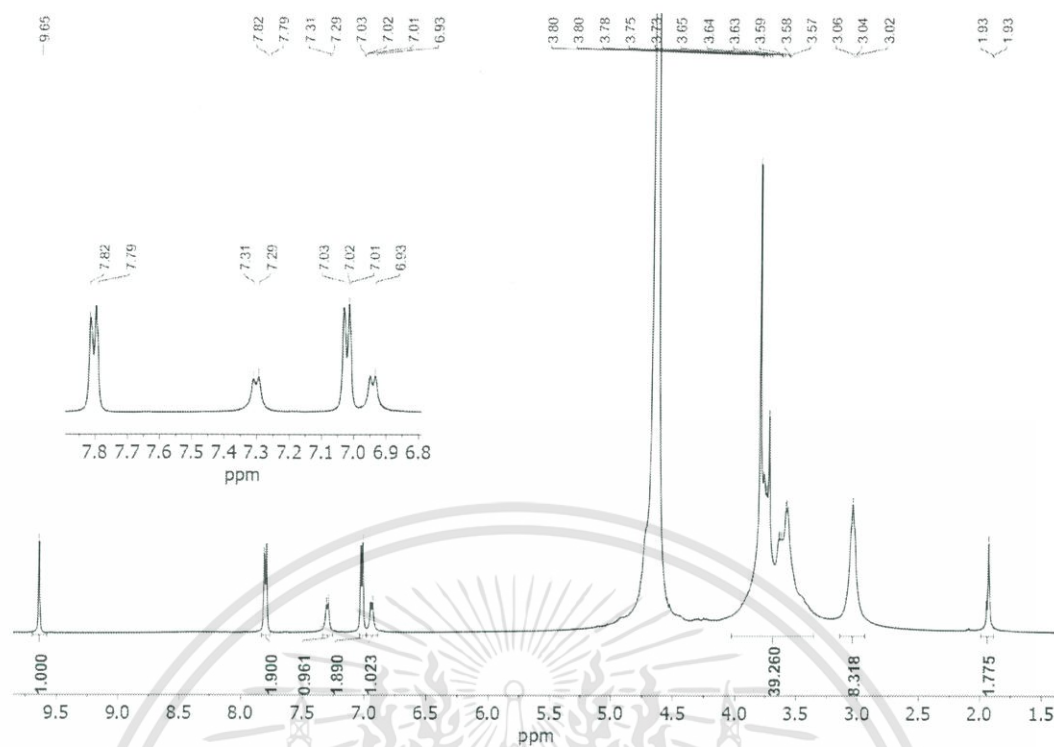
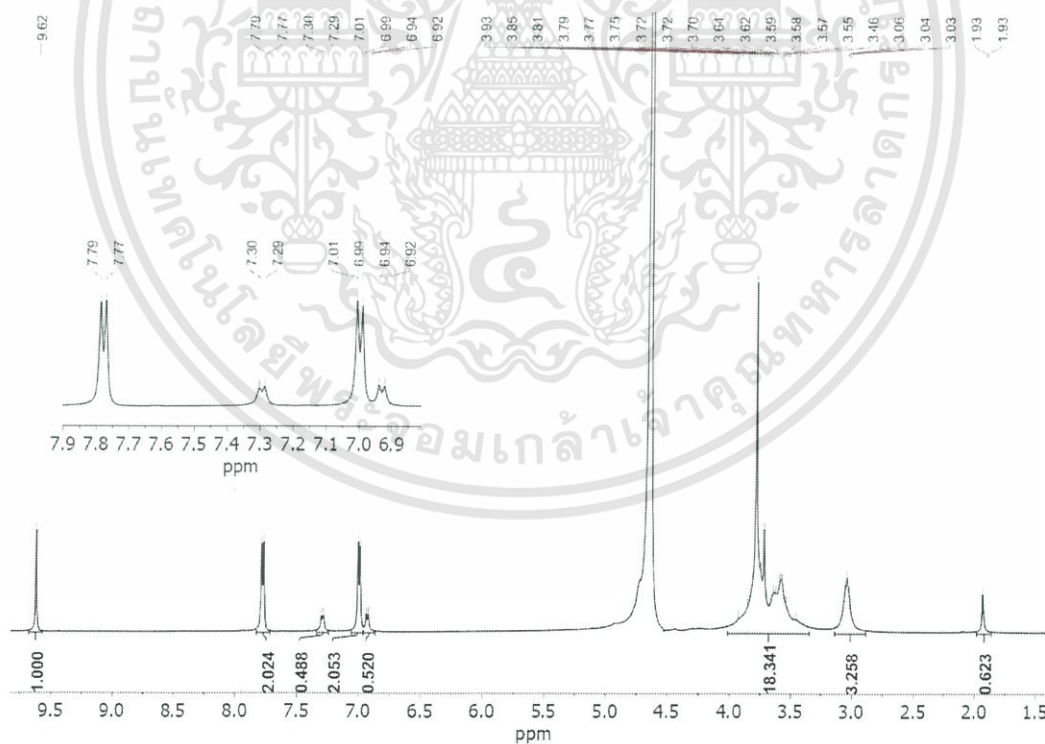
เอกสารนี้เป็นเอกสารที่สงวนไว้สำหรับการใช้งานเพื่อการศึกษาเท่านั้น ไม่อนุญาตให้นำไปใช้ประโยชน์ด้านการค้า
ไม่ว่ากรณีใดๆ ทั้งสิ้น อีกทั้งห้ามมิให้ดัดแปลงเนื้อหาและต้องอ้างอิงถึงเจ้าของเอกสารทุกครั้งที่มีการนำไปใช้



รูปที่ ๗-7 FT-IR spectra ของ CP30

รูปที่ ๗-8 ¹H-NMR spectra ของโคโตซาน

เอกสารนี้เป็นเอกสารที่สงวนไว้สำหรับการใช้งานเพื่อการศึกษาเท่านั้น ไม่อนุญาตให้นำไปใช้ประโยชน์ด้านการค้า ไม่ว่าจะกรณีใดๆ ทั้งสิ้น อีกทั้งห้ามมิให้ดัดแปลงเนื้อหาและต้องอ้างอิงถึงเจ้าของเอกสารทุกครั้งที่มีการนำไปใช้

รูปที่ ก-9 $^1\text{H-NMR}$ spectra ของ CP10รูปที่ ก-10 $^1\text{H-NMR}$ spectra ของ CP20

เอกสารนี้เป็นเอกสารที่สงวนไว้สำหรับการใช้งานเพื่อการศึกษาเท่านั้น ไม่อนุญาตให้นำไปใช้ประโยชน์ด้านการค้า
ไม่ว่ากรณีใดๆ ทั้งสิ้น อีกทั้งห้ามมิให้ดัดแปลงเนื้อหาและต้องอ้างอิงถึงเจ้าของเอกสารทุกครั้งที่มีการนำไปใช้

ตารางที่ ก-1 % ธาตุองค์ประกอบจากการวิเคราะห์ด้วย EA

ตัวอย่างวิเคราะห์	% Element	% Carbon	% Hydrogen	% Nitrogen
CS	ครั้งที่ 1	38.85	6.42	7.26
	ครั้งที่ 2	39.02	6.49	7.16
	เฉลี่ย	38.94	6.46	7.21
CP10	ครั้งที่ 1	42.70	7.11	6.22
	ครั้งที่ 2	42.72	6.82	6.23
	ครั้งที่ 3	42.61	7.27	6.28
	เฉลี่ย	42.68	7.07	6.24
CP20	ครั้งที่ 1	48.82	6.01	5.38
	ครั้งที่ 2	48.58	6.33	5.43
	ครั้งที่ 3	48.81	6.77	5.47
	เฉลี่ย	48.74	6.37	5.43

เอกสารนี้เป็นเอกสารที่สงวนไว้สำหรับการใช้งานเพื่อการศึกษาเท่านั้น ไม่อนุญาตให้นำไปใช้ประโยชน์ด้านการค้า
ไม่ว่ากรณีใดๆ ทั้งสิ้น อีกทั้งห้ามมิให้ดัดแปลงเนื้อหาและต้องอ้างอิงถึงเจ้าของเอกสารทุกครั้งที่มีการนำไปใช้

ภาคผนวก ข

ผลผลิตร้อยละ

ตารางที่ ข-1 ปริมาณสารตั้งต้นที่ใช้สำหรับการสังเคราะห์

อัตราส่วนโมล	ครั้งที่สังเคราะห์	CS (g)	PM (g)	NaBH ₄ (g)
CP10	ครั้งที่ 1	1.0003	0.8413	0.2008
	ครั้งที่ 2	1.0005	0.8417	0.2012
CP15	ครั้งที่ 1	1.0011	1.2526	0.2002
	ครั้งที่ 2	1.0003	1.2671	0.2014
CP20	ครั้งที่ 1	1.0023	1.6821	0.2011
	ครั้งที่ 2	1.0002	1.6812	0.2017
CP25	ครั้งที่ 1	1.0003	2.1008	0.2017
	ครั้งที่ 2	1.0003	2.1068	0.2006
CP30	ครั้งที่ 1	1.0026	2.5214	0.2018
	ครั้งที่ 2	1.0018	2.5244	0.2009

วิธีการคำนวณ

- การคำนวณหาน้ำหนักตามทฤษฎีของอนุพันธ์ CP10 สังเคราะห์ครั้งที่ 1

เนื่องจาก

$$\frac{\text{โมลของ CS}}{1.0003 \text{ g}} = \frac{\text{โมลของ CP}}{W_{\text{CP}}}$$

จะได้

$$\frac{1.0003 \text{ g}}{162 \text{ g/mol}} = \frac{W_{\text{CP}}}{280 \text{ g/mol}}$$

$$W_{\text{CP}} = \frac{1.0003 \text{ g}}{162 \text{ g/mol}} \times 280 \text{ g/mol}$$

ดังนั้น

$$W_{\text{CP}} = 1.7289 \text{ g}$$

- การคำนวณหาผลผลิตร้อยละของอนุพันธ์ CP10 สังเคราะห์ครั้งที่ 1

$$\text{จาก (3.1)} \quad \text{ผลผลิตร้อยละ} = \frac{\text{ผลที่ข้งได้จริง}}{\text{ผลตามทฤษฎี}} \times 100$$

$$\text{จะได้} \quad \text{ผลผลิตร้อยละ} = \frac{0.8103 \text{ g}}{1.7289 \text{ g}} \times 100$$

เอกสารนี้เป็นเอกสารที่สงวนไว้สำหรับการใช้งานเพื่อการศึกษาเท่านั้น ไม่อนุญาตให้นำไปใช้ประโยชน์ด้านการค้า
 ดังนั้น ผลผลิตร้อยละ = 46.87 %
 ไม่ว่าจะกรณีใดๆ ทั้งสิ้น อีกทั้งห้ามมิให้ตีตแบ่ส่งเนื้อหาและต้องอ้างอิงถึงเจ้าของเอกสารทุกครั้งที่มีการนำไปใช้

ตารางที่ ข-2 ปริมาณสารผลิตภัณฑ์ที่ได้จากการสังเคราะห์

อัตราส่วนโมล	ครั้งที่สังเคราะห์	น้ำหนักตาม ทฤษฎี (g)	น้ำหนักจริง (g)	ผลผลิตร้อยละ (%)
CP10	ครั้งที่ 1	1.7289	0.8103	46.87
	ครั้งที่ 2	1.7293	0.9302	53.79
	เฉลี่ย			50.33
CP15	ครั้งที่ 1	1.7303	0.8002	46.24
	ครั้งที่ 2	1.7289	1.1252	65.08
	เฉลี่ย			55.66
CP20	ครั้งที่ 1	1.7324	0.6101	35.21
	ครั้งที่ 2	1.7287	1.7351	100.37
	เฉลี่ย			67.79
CP25	ครั้งที่ 1	1.7289	0.6708	38.80
	ครั้งที่ 2	1.7289	1.6950	98.03
	เฉลี่ย			68.41
CP30	ครั้งที่ 1	1.7329	1.1352	65.51
	ครั้งที่ 2	1.7315	1.2548	72.47
	เฉลี่ย			68.99

เอกสารนี้เป็นเอกสารที่สงวนไว้สำหรับการใช้งานเพื่อการศึกษาเท่านั้น ไม่อนุญาตให้นำไปใช้ประโยชน์ด้านการค้า
ไม่ว่ากรณีใดๆ ทั้งสิ้น อีกทั้งห้ามมิให้ดัดแปลงเนื้อหาและต้องอ้างอิงถึงเจ้าของเอกสารทุกครั้งที่มีการนำไปใช้

ภาคผนวก ค

ร้อยละของอนุพันธ์โคโตซานที่สามารถละลายในตัวทำละลาย

ตารางที่ ค-1 น้ำหนักสารเริ่มต้นการทดสอบการละลาย

ตัวทำละลาย	ความเข้มข้น (%)	CP10 (กรัม)		CP20 (กรัม)	
		1	2	1	2
0.5 % กรดอะซิติกในเอทานอล		0.1003	0.2010	0.1012	0.2014
0.5 % กรดอะซิติกในไอโซโพรพานอล		0.1009	0.2031	0.1002	0.2007

ตารางที่ ค-2 น้ำหนักสารคงเหลือจากการทดสอบการละลาย

ตัวทำละลาย	ความเข้มข้น (%)	CP10 (กรัม)		CP20 (กรัม)	
		1	2	1	2
0.5 % กรดอะซิติกในเอทานอล		0.0208	0.1089	0.0202	0.0184
0.5 % กรดอะซิติกในไอโซโพรพานอล		0.0357	0.1054	0.0013	0.0086

วิธีการคำนวณร้อยละของอนุพันธ์โคโตซานที่สามารถละลายในตัวทำละลาย

- การละลายของ 1 % CP10 ใน 0.5 % กรดอะซิติกในเอทานอล

$$\text{จาก (3.8) } \% \text{ Soluble} = \frac{(\text{น้ำหนักสารเริ่มต้น} - \text{น้ำหนักสารหลังกรอง})}{\text{น้ำหนักสารเริ่มต้น}} \times 100$$

$$\text{จะได้ } \% \text{ Soluble} = \frac{(0.1003 - 0.0208)}{0.1003} \times 100$$

$$\text{ดังนั้น } \% \text{ Soluble} = 79.31 \%$$

ผลการคำนวณร้อยละของอนุพันธ์โคโตซานที่สามารถละลายในตัวทำละลายแสดงดังตารางที่ 4.6

เอกสารนี้เป็นเอกสารที่สงวนไว้สำหรับการใช้งานเพื่อการศึกษาเท่านั้น ไม่อนุญาตให้นำไปใช้ประโยชน์ด้านการค้า
ไม่ว่ากรณีใดๆ ทั้งสิ้น อีกทั้งห้ามมิให้ดัดแปลงเนื้อหาและต้องอ้างอิงถึงเจ้าของเอกสารทุกครั้งที่มีการนำไปใช้